

ზ. არაბიძე

წიაღისეულთა გამდიდრების
გრავიტაციული მეთოდები

„ტექნიკური უნივერსიტეტი”

საქართველოს ტექნიკური უნივერსიტეტი

ზ. არაბიძე

წიაღისეულთა გამდიდრების გრავიტაციული მეთოდები



რეგისტრირებულია სტუ-ს
სარედაქციო-საგამომცემლო
საბჭოს მიერ

თბილისი
2009

სახელმძღვანელოში განხილულია წიაღისეულთა გრავიტაციული გამდიდრების კლასიკური და ოანამედროვე მეთოდები. მათი თეორიული საფუძვლები, პროცესში გამოყენებული გრავიტაციული მანქანა-დანადგარები, გამდიდრების პრაქტიკა და ტექნოლოგიური სქემები.

წინამდებარე სახელმძღვანელო პირველი ორიგინალური ნაშრომია ქართულ ენაზე. იგი შედგენილია პროგრამის მიხედვით და განცუთვნილია საქართველოს ტექნიკური უნივერსიტეტის სამთო-გეოლოგიური ფაკულტეტის სამთო-ტექნოლოგიის სპეციალობის ბაკალავრიატის, მაგისტრატურისა და უმაღლესი პროფესიული განათლების სტუდენტებისათვის. იგი აგრეთვე გარკვეულ დახმარებას გაუწევს გეოლოგიისა და სამთამადნო დარგში მომუშავე ახალგაზრდა სპეციალისტებს.

რეცენზენტი: პროფ. ა. აბშილაგა

© საგამომცემლო სახლი „ტექნიკური უნივერსიტეტი”, 2009

ISBN 978-9941-14-465-3

<http://www.gtu.ge/publishinghouse/>

ეკილა უფლება დაცულია. ამ წიგნის არც ერთი ნაწილი (ინტება ეს ტექსტი, ფოტო, ილუსტრაცია თუ სხვა) არაა არის ფინანსით და საშუალებით (ინტება ეს კლეიტონიული თუ მექანიკური), არ შეიძლება გამოყენებულ ექნას გამომცემლის წერილობით ნებარივას გარეშე.

სააკტორო უფლებების დარღვევა ისჯება კანონით.



შესავალი

ქვეყნის ეკონომიკის განვითარებაში დიდი მნიშვნელობა ენიჭება ბუნებრივი რესურსების ეფექტურ და კომპლექსურ გამოყენებას მრეწველობის სხვადასხვა დარგში.

მრეწველობის ყველა დარგის (მეტალურგია, ქიმიური, მანქანათმშენებლობა, სამშენებლო, ელექტროტექნიკური, სოფლის მეურნეობა და სხვა დარგები) განვითარება განპირობებულია სხვადასხვა მინერალური ნედლეულის გამოყენებითა და მარაგით.

მინერალური ნედლეულის მარაგების გადიდების მნიშვნელოვანი წყაროა ღარიბი და რთული შედგენილობის მაღნების მოპოვება და მათი კომპლექსური გამოყენება. ამ რთული ამოცანის გადაწყვეტის საქმეში პირველსარისხოვანი მნიშვნელობა ენიჭება მინერალური ნედლეულის გამდიდრების ტექნიკისა და ტექნოლოგიების შემდგომ სრულყოფასა და განვითარებას მეცნიერების თანამედროვე მიღწევების საფუძველზე, ურომლისოდაც ამ რთული და მნიშვნელოვანი პრობლემების გადაწყვეტა შეუძლებელია. გრავიტაცია წიაღისეულთა გამდიდრების ერთ-ერთი უძველესი და ფართოდ გავრცელებული მეთოდია.

გრავიტაციული მეთოდით გამდიდრებას ექვემდებარება წიაღისეულთა თითქმის ყველა სახეობა, როგორიცაა: შავი, ფერადი, იშვიათი და კეთილშობილ ლითონთა მაღნები, ნახშირები, სამშენებლო და სხვა არამაღნეული წიაღისეული, რომელთა გამდიდრებისათვის გრავიტაცია, პრაქტიკულად, ეკონომიურად გამართლებული მეთოდია და მას სხვა ალტერნატივა არ გააჩნია.

წინამდებარე წიგნში განხილულია გრავიტაციული მეთოდის წარმოშობისა და განვითარების ისტორია, პრაქტიკაში არსებული გრავიტაციული პროცესების ყველა სახეობა და ახალი მიღწევები გრავიტაციული გამდიდრების თეორიაში, ტექნიკასა და ტექნოლოგიაში.

1. ზოგადი ცნობები გამდიდრების გრავიტაციული მეთოდის არსისა და მისი განვითარების შესახებ

1.1 გამდიდრების გრავიტაციული მეთოდის განვითარების მოკლე ისტორია

გრავიტაცია, როგორც მინერალთა გაყოფის მეთოდი, უძველესი დროიდანაა ცნობილი. ადამიანმა ოქროს გამოყენება ჩვ. წ. ა. 6 ათასი წლის წინ დაიწყო, რაც არქეოლოგიური გათხრებითაა დადასტურებული. ამ პერიოდისათვის გამდიდრების პირველი ხერხი ხელით გარჩევა იყო, რომელიც შეცვალა მორეცხვამ.

ჩვ. წ. ა. VIII ს. შავი ზღვის სამხრეთ აღმოსავლეთი (საქართველოს ტერიტორია) ცნობილი იყო ლითონთა და მაღნეულის სიმდიდრით, ხოლო აქ მცხოვრები ქართული ტომები ძველთაგანვე განთქმული იყვნენ ლითონების მოპოვებისა და გადამუშავების ოსტატობით.

არქეოლოგიური გათხრებით დადგენილია, რომ ჩვ. წ. ა. 2-3 ათასი წლის წინ საქართველოში, ეგვიპტეში, სამხრეთ აღტაისა და ურალის ტერიტორიაზე აწარმოებდნენ ოქროს ქვიშრობების გამდიდრებას მორეცხვით.

ჯერ კიდევ ჰეროდოტეს დროს (ძვ. წ. ა. V ს.) ოქროსშემცველ ქვიშრობების გასამდიდრებლად მცირე ზომის ღარებსა და რაბებს იყენებდნენ.

თუ დასაწყისში მომრეცხი აპარატურა იყო პრიმიტიული, XIV, XV ს. უკვე არსებულ მანქანებს ბევრი საერთო ჰქონდათ თანამედროვე მანქანებთან.

გამდიდრების გრავიტაციული მეთოდის, როგორც მეცნიერულად დასაბუთებული საწარმო პროცესის განვითარება, მე-19 ს. II ნახევრიდან იწყება.

გამდიდრების გრავიტაციული მეთოდის თეორიას საფუძვლად უდევს არქიმედეს (287-219 წ. ჩვ. წ. ა.) „წყლის ამომგდები ძალისა” და ნიუტონის (1673-1727 წწ.) „სითხეში მოძრავ ბურთულის წინააღმდეგობის ძალის” კანონები.

გრავიტაციული გამდიდრების თეორიის ფუძემდებლად ითვლება გამოჩენილი მეცნიერები გ. სტოქსი (ინგლისი, 1850), პ. რიტინგერი (გერმანია, 1867), ა. მონრო (საფრანგეთი, 1888), რ. რიჩარდი (აშშ, 1908), გ. ჩეჩოტი (რუსეთი, 1924), რომლებმაც შექმნეს გრავიტაციული პროცესების თეორიის საფუძვლები.

გამდიდრების გრავიტაციული მეთოდის თეორიისა და პრაქტიკის განვითარებაში დიდი ღვაწლი მიუძღვით მეცნიერებს პ. ლიაშენკოს, ი. ვერხოვსკის, ი. პლაქინის, ი. ფომინს, ვ. კლასენს, ს. მიტროფანოვს, პ. ხანკოქს, ა. ტაგარტს და სხვებს.

1.2 გამდიდრების გრავიტაციული მეთოდის არსი და კლასიფიკაცია

ტექნიკის განვითარების თანამედროვე ეტაპზე ჩამოყალიბებულია გამდიდრების რამდენიმე მეთოდი (ფლოტაციური, მაგნიტური, ელექტრული, სპეციალური და სხვა), რომლებსაც საფუძვლად უდევს წიაღისეულის შემადგენელი მინერალების ფიზიკური და ფიზიკურ-ქიმიური თვისებების სხვადასხვაობა.

ამ თვისებებს მიეკუთვნება: სიმკვრივე; მაგნიტური ამთვისებლობა; მინერალების ზედაპირული ფიზიკურ-ქიმიური თვისებები; ელექტროგამტარებლობა; ფერი და ელვარება; ფორმა; ხახუნისა და გაფართოების კოეფიციენტი; სიმაგრე; დენარიული და სხვა. აღნიშნული თვისებებიდან გამდიდრების გრავიტაციული მეთოდი ემყარება მარგი წიაღისეულის შემადგენელი მინერალების ფორმის, ზომისა და სიმკვრივეების სხვადასხვაობას.

გამყოფ გარემოდ, რომელშიც წარმოებს მინერალურ მარცვალთა დაყოფა გრავიტაციული მეთოდით, შეიძლება იქნას გამოყენებული წყალი, მხიმე სითხე, მინერალური სუსპენზია და ჰაერი.

ნებისმიერ გარემოში სხეულის ვარდნა წარმოებს გრავიტაციული (სიმძიმის) ძალის მოქმედებით, რომელიც სიდიდით ტოლია სხეულის წონისა. სხეულის სიმძიმის ძალის განსაზღვრის დროს აუცილებელია გავითვალისწინოთ არქიმედეს კანონი – სითხეში მოთავსებულ სხეულზე მოქმედებს ამომგდები ძალა, რომელიც სიდიდით ტოლია სითხეში ჩაძირული სხეულის მოცულობის სითხის წონისა. ე. ი. სითხეში მოთავსებული სხეული კარგავს მის მიერ გამოდევნილი სითხის წონის ტოლ წონა.

სითხეში მოთავსებული სხეულის წონა

$$G_0 = G - P_a$$

სადაც $G = V \delta g$ — სხეულის სიმძიმის ძალაა.

$$P_a = V \Delta g \quad \text{—} \text{არქიმედეს ძალა.}$$

$$V \quad \text{—} \text{მინერალის მოცულობა, } m^3.$$

$$\delta \quad \text{და} \quad \Delta \quad \text{—} \text{მინერალისა და სითხის სიმკვრივე, } kg/m^3.$$

გამოსახულებაში ჩავსეათ მათი მნიშვნელობა. მივიღებთ

$$G_0 = V (\delta - \Delta) g,$$

სითხეში მოთავსებულ სხეულზე სიმძიმისა და ამომგდები ძალების მოქმედების დროს შეიძლება ადგილი ჰქონდეს სამ შემთხვევას:

1. როდესაც სიმძიმის ძალა აღემატება ამომგდებ ძალას, სხეული იძირება;

2. როდესაც სიმძიმის ძალა ტოლია ამომგდები ძალის, სხეული წონასწორობაშია და რჩება შეწონილ მდგომარეობაში;

3. როდესაც სიმძიმის ძალა ნაკლებია ამომგდებ ძალაზე, სხეული ტივტივებს სითხის ზედაპირზე.

როდესაც ვადარებთ არქიმედეს ძალას სხეულზე მოქმედ სიმძიმის ძალას, ფაქტობრივად ადგილი აქვს სითხისა და

სხეულის სიმკვრივეთა სიდიდეების შედარებას, ამიტომ ზემოთ განხილულ სამივე

შემთხვევას აღვილი ექნება მაშინ, თუ სათანადოდ დაცული იქნება პირობები:

$$1. \delta > \Delta \quad 2. \delta = \Delta \quad 3. \delta < \Delta$$

აღნიშნულიდან გამომდინარე გამყოფ გარემოში სხეულის ვარდის სიჩქარეზე გავლენას ახდენს მისი სიმკვრივე, სიმსხო, ფორმა, გარემოს წინააღმდეგობისა და სხვა მექანიკური ძალები.

მაშასადამე, გამდიდრების გრავიტაციული მეთოდი ეწოდება მინერალურ მარცვალთა ზომის, ფორმისა და სიმკვრივეების მიხედვით დაყოფის პროცესს, რომელიც განხორციელებულია დენად გარემოში სიმძიმისა და ჰიდროდინამიკური წინააღმდეგობის ძალების მოქმედებით.

ცხრილი 1.1

გრავიტაციული მეთოდების თანამედროვე კლასიფიკაცია

კლასიფიკაციის ნიშანი	გრავიტაციული მეთოდის სახე
გამყოფი გარემო	ჰიდრავლიკური; პნევმატიკური; სუსპენზიური.
პულსირებული ნაკადი	დალექვა (ჰიდრავლიკური და პნევმატიკური); გამდიდრება: ვიბროლარებში, პულსატორებში, პნევმატიკური სეპარაცია.
დახრილ სიბრტყეზე ჩამდინარე წყლის ჭავლი	გამდიდრება: ჭავლურ კონცენტრატორებში, ღარებში, რაბებში, ხრახნულ სეპარატორებზე, საკონცენტრაციო მაგიდებზე.
ძალოვანი ველი	გამდიდრება: გრავიტაციულ ველში; ცენტრიდანულ ველში (ჰიდრო-ციკლონებში და ცენტრიფუგებში).
აღმავალი ნაკადი	კლასიფიკაცია (ჰიდრავლიკური და პნევმატიკური) მორუცხა.

გრავიტაციული გამდიდრების სახეობებია: დალექვა, გამდიდრება მძიმე სუსპენზიებში, საკონცენტრაციო მაგიდებზე, რაბებში და ლარებში, გამდიდრება ჰიდროციკლონებში და სხვა.

გრავიტაციული გამდიდრების თანამედროვე კლასიფიკაცია მოცემულია ცხრილში 1.1.

2. მინერალებისა და გამყოფი გარემოს დახასიათება

2.1 მინერალების ფიზიკური თვისებები

მინერალები რამდენიმე ქიმიური ელემენტის ბუნებრივი ნაერთია. ბუნებაში ისინი გვხვდებიან ერთმანეთთან შეკავშირებული და დედამიწის ქერქში წარმოქმნიან წარადისეულს ან მთის ქანს. დღეისათვის ცნობილია დაახლოებით 3000 მინერალი, რომლებიც ერთმანეთისგან განსხვავდებიან ქიმიური შემადგენლობით, ფიზიკურ-ქიმიური, ფიზიკური და ფიზიკურ-მექანიკური თვისებებით. აღნიშნული თვისებებიდან გამდიდრების გრავიტაციულ პროცესებში გამოყენებულია მინერალების სიმკვრივების, სიმსხოსა და ფორმის სხვადასხვაობა. მინერალების ფიზიკო-ქიმიური მახასიათებლები მოცემულია დანართში.(ცხრ. 1.)

სიმკვრივე – ნივთიერების ერთეულოვნი მოცულობის მასას სიმკვრივე ეწოდება. ე.ი. მინერალის სიმკვრივე არის სიდიდე, რომელიც იზომება მასისა და მოცულობის ფარდობით.

$$\delta = \frac{m}{v}$$

სადაც:

δ - მინერალის სიმკვრივე, $\text{კგ}/\text{მ}^3$;

m - მინერალის მასა, კგ ;

v -მინერალის მოცულობა ფორმების გარეშე, მ^3 .

მინერალის სიმკვირვე დამოკიდებულია მის
შედგენილობაზე.

ზოგიერთი მინერალის სიმკვრივის მნიშვნელობა
მოცუმულია დანართში (ცხრ.1.)

რაც უფრო დიდია გასაყოფი მინერალების სიმკვრივეთა
შორის სხვაობა, მით უფრო მაღალია გრავიტაციული
გამდიდრების ეფექტურობა.

სიმსხო – მინერალის სიმსხო განისაზღვრება მისი
ხაზოვანი ზომებით, როდესაც ხაზოვანი ზომები ერთმანეთს
უახლოვდება, მაშინ მარცვლის ზომას საზღვრავენ სფეროს
„ექვივალენტური დიამეტრით”. d_{v} , რომლის მოცულობა

$$\nu = \frac{\pi d^3}{6}, d_{\text{v}} = \sqrt[3]{\frac{6\nu}{\pi}} = \sqrt[3]{\frac{6m}{\pi\delta}} = 1,24\sqrt[3]{\frac{m}{\delta}}.$$

გრავიტაციული მეთოდით შესაძლებელია გამდიდრდეს
მსხვილმარცვლოვანი ჩაწინეტკლულობის წიაღისეული
მაქსიმალური ზომით ($0.3 - 0.4$)მ და მინიმალური 0.0001
მ.

ფორმა – მარცვლის ფორმა დამოკიდებულია მინერალის
ბუნებაზე. ქვიშრობული საბადოს მაღნის მინერალურ
მარცვალს აქვს დამრგვალებული ფორმა. დანალექი საბადოს
მაღნის მინერალურ მარცვლებს აქვს უსწორმასწორო ფორმა,
ზოგჯერ კრისტალის ფორმის მსგავსი. ნახშირს აქვს
კუთხოვანი ფორმა, ფიქალს-ფირფიტოვანი,
აზბესტს-ნემსისებური, მაგნეტიტს- კუბური. მარცვლის ფორმა
ხასიათდება ფორმის კოეფიციენტით.

$$\varphi = \frac{S_{\text{b}}}{S} = \frac{4,87\nu^{2/3}}{S}$$

საღაც

φ - ფორმის კოეფიციენტია

S_b - სფეროს ზედაპირი

S - უსწორმასწორო ფორმის მარცვლის ზედაპირი.

მარცვლლის ფორმის კოეფიციენტის მნიშვნელობები
მოცემულია ქვემოთ:

სფერული ფორმის მარცვლისათვის $\varphi = 1$

დამრგვალებული ფორმის მარცვლისათვის $\varphi = 0,8-0,9$

კუთხოვანი ფორმის - „ $\varphi = 0,7-0,8$

ფირფიტოვანი ფორმის - „ $\varphi = 0,6-0,7$

ფირფიტოვანი ფორმის მარცვლის ვარდნის სიჩქარე
შედარებით ნაკლებია, ვიდრე დამრგვალებულის, რაც
გრავიტაციული გამდიდრების ერთ-ერთი განმასხვავებელი
ნიშანია.

2.2 გარემოს რეოლოგიური თვისებები

მარგი წიაღისეულის გრავიტაციული გამდიდრების
ეფექტურობა დამოკიდებულია გამყოფი გარემოს რეოლოგიურ
პარამეტრებზე: სიმკვრივე; სიბლანტესა და მდგრადობაზე.

გამყოფი გარემოს სიმკვრივე (Δ) არის მისი მასის (m)
ფარდობა მის მოცულობასთან $\Delta = \frac{m}{v}$.

სიმკვრივესა და „კუთრი წონის“ ცნებებს შორის მჭიდრო
კავშირია, რომელთა ერთმანეთთან

დამოკიდებულება შეიძლება დავადგინოთ ნიუტონის
მეორე კანონიდან

$$G = m g$$

სადაც g სიმძიმის ძალის აჩქარებაა $g=9,81 \text{ N/m}^2$

თუ ამ ტოლობას გავყოფთ V მოცულობაზე, მივიღებთ
დამოკიდებულებას კუთრ წონასა და სიმკვრივეს შორის.

$$\rho = \Delta g$$

სადაც ρ - გარემოს კუთრი წონაა kg/m^3

წყლის სიმკვრივე $\Delta = 1000 \text{ kg/m}^3$, ჰაერის სიმკვრივე Δ
- $1,23 \text{ kg/m}^3$

მარგი წიაღისეულის გამდიდრებადობის შესასწავლად გამოიყენება სხვადასხვა ქიმიური შედგენილობის მძიმე სითხები, (ცხრილში 2.1.)

ცხრილში მოყვანილი მძიმე სითხეებიდან, ორმლებიც კარგად იხსნებიან წყალში შესაძლებელია დამზადდეს სხვადასხვა სიმკვრივის ხსნარი. (ცხრილი 2.2.)

ორგანული მძიმე სითხეები და მარილთა ხსნარები ძვირად ღირებულია, ტოქსიკურია, რეგენერაცია რთულია, ამიტომ მათი გამოიყენება წარმოებაში არარენტაბელურია, ისინი ძირითადად გამოიყენება ლაბორატორიული კვლევისათვის ფრაქციული ანალიზის ჩასატარებლად.

ცხრილი 2.1

მძიმე სითხეების დახასიათება

№	მძიმე სითხე	ქიმიური ფორმულა	სიმკვრივე, კგ/მ³	წყალში ხსნადობა	ხსნარის ფერი
1	ქლოროვანი თუთია	ZnCl ₂	2500	ხსნადი	უფერო
2	ქლოროვანი კალციუმი	CaCl ₂	2500	„ --- „	„ --- „
3	ბრომოფორმი	CHBr ₂	2890	„ --- „	„ --- „
4	ტულეს სითხე	HgI ₂ +KI	3170	„ --- „	„ --- „
5	რომბახის სითხე	BaI ₂ +HgJ ₂	3500	„ --- „	ყვითელი
6	იოდოვანი მეთილინი	CH ₂ I ₂	3320	უხსნადი	უფერო
7	კლერიჩის სითხე	CH ₂ (COOTi) ₂ HCOON ₂	4250	ხსნადი	ყვითელი

ცხრილი 2.2.

სხვადასხვა სიმკვრივის ZnCl₂ -ს და ტულეს წყალზენარები

წყალზენარის სიმკვრივე, კგ/მ ³	წონითი შემცველობა, %		წყალზენარის სიმკვრივე, კგ/მ ³	მოცულობითი შემცველობა, %	
	ქლოროვანი თუთა	წყალი		ტულეს სითხე	წყალი
1300	31	69	1500	25	75
1400	39	61	2100	50	50
1500	46	54	2700	75	25
1600	52	48	3170	100	-
1700	58	48			
1800	60	40			
2000	72	28			
2500	100	-			

წიაღისეულის გამდიდრების პრაქტიკაში მძიმე გარემოდ გამოიყენება მინერალური სუსპენზია. სუსპენზია ორფაზოვანი სისტემაა. იგი წარმოადგენს წყლისა და წვრილად დაფქვილი მინერალური მარცვლების მექანიკურ ნარევს.

წყალში შეტივტივებულ მყარ მარცვლებს დამამძიმებელი, ანუ სუსპენზოდი ეწოდება.

დამამძიმებლად შეიძლება გამოყენებულ იქნას: ფეროსილიციუმი, გალენიტი, მაგნეტიტი, ბარიტი, კვარცი და სხვა.

სუსპენზიის სიმკვრივე ერთეულოვანი მოცულობის სუსპენზიის წონას სიმკვრივე ეწოდება. სუსპენზიის სიმკვრივე დამოკიდებულია დამამძიმებლის სიმკვრივეზე და მის მოცულობით კონცენტრაციაზე. თუ სუსპენზიაში დამამძიმებლის სიმკვრივეს აღვნიშნავთ - δ-თი მის მოცულობით კონცენტრაციას C-თი, მაშინ სუსპენზიის სიმკვრივე

$$\Delta_b = C\delta + \Delta (1-C) = C(\delta - \Delta) + \Delta$$

$$C = \frac{\Delta_b - \Delta}{\delta - \Delta} \quad 100\%$$

Δ- სუფთა წყლის სიმკვრივეა $\Delta = 1000$ კგ/მ³

სუსპენზიის სიბლანტე სითხის თვისებას გაუწიოს წინააღმდეგობა მოსაზღვრე შრეების ურთიერთგადაადგილებას, სიბლანტე ეწოდება. განასხვავებენ დინამიურ სიბლანტეს, რომელიც ტოლია დინამიური სიბლანტის ფარდობისა წყლის სიმკვრივესთან.

$$\nu = \frac{\mu}{\Delta}$$

სუსპენზიის სიბლანტეზე გავლენას ახდენს არა მარტო სითხის ფენების ურთიერთგადაადგილების დროს წარმოშობილი ხახუნის ძალები, რომლებიც განპირობებულია ძოლებულათა ურთიერთმიზიდულობის ძალებით, არამედ ასევე სუსპენზიაში შეტივტივებული დამამბიმებლის მარცვლების ურთიერთმოქმედი ძალები.

რაც უფრო დიდია დამამბიმებლის მოცულობითი კონცენტრაცია სუსპენზიაში, მით მცირეა მყარ მარცვლებს შორის მანძილი და დიდია შესაბამისად ურთიერთმოქმედი ძალები. დამამბიმებლის დიდი მოცულობითი კონცენტრაციის დროს მარცვლები ისე უახლოვდება ერთიმეორეს, რომ წარმოქმნან ერთ მთლიან აგრეგატს და სუსპენზია კარგავს დენადობის თვისებას. სუსპენზიის სიბლანტე ძირითადად დამოკიდებულია დამამბიმებლის მოცულობით კონცენტრაციაზე და მის გრანულომეტრულ შედეგებით.

პრაქტიკაში მინერალური სუსპენზიის სიბლანტის საანგარიშოდ გამოიყენება აინშტაინისა და ვანდას ემპირიული ფორმულები

$$\mu = \mu_0 (1+2,5C)$$

$$\mu = \mu_0 (1+2.5 C + 7.349 C^2 + 16 \cdot 2 C^3 + ..)$$

სადაც μ_0 – სუფთა წყლის სიბლანტეა. $\mu_0 = 0,001$ პა.წმ.
2.5 – აინშტაინის მუდმივა

C – დამამძიმებლის მოცულობითი კონცენტრაციაა სუსპენზიაში.

აინშტაინის ფორმულა გამოიყენება, როდესაც $C \leq 3 \div 5 \%$, ხოლო ვანდას – როდესაც $C \leq 40(50) \%$

აინშტაინისა და ვანდას ფორმულებით შესაძლებელია განისაზღვროს სუსპენზიის სიბლანტის მიახლოებითი მნიშვნელობა.

სუსპენზიის სიბლანტის აპსოლუტური სიღიდე, როგორც წესი, არ აღემატება $0.01 - 0.15 \text{პა.წმ.}$,

რაც შეესაბამება 40 -მდე დამამძიმებლის მოცულობით კონცენტრაციას.

სუსპენზიის მდგრადობა სუსპენზიის თვისებას, შეინარჩუნოს ნებისმიერ შრეში მუდმივი სიმკვრივე, მდგრადობა ეწოდება.

სუსპენზია მდგრადობის მიხედვით იყოფა სამ ჯგუფად:

არამდგრადი (უხეშდისპერსიული სუსპენზია),

მდგრადი (კოლოიდური სუსპენზია),

სტაბილური (სუსპენზიის მდგრადობა შენარჩუნებულია სტაბილიზაციით).

გამდიდრების პრაქტიკაში ცნობილია სუსპენზიის სტაბილურობის შემდევი ხერხი:

1. სუსპენზიის განუწყვეტელი არევა,

2. აღმავალი ნაკადის წარმოქმნა,

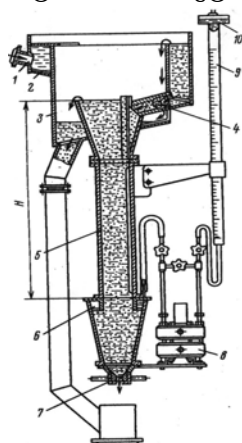
3. მასტაბილიზირებელი კოლოიდური ნივთიერებების დამატება,

4. მექანიკურად მდგრადი სუსპენზოიდის გამოყენება.

2.3 რეოლოგიური პარამეტრების განსაზღვრის მეთოდები

გამყოფი გარემოს რეოლოგიურ პარამეტრებს მიეკუთვნება სიმკვრივე, სიბლანტე და მდგრადობა; მათი განსაზღვრის ამა

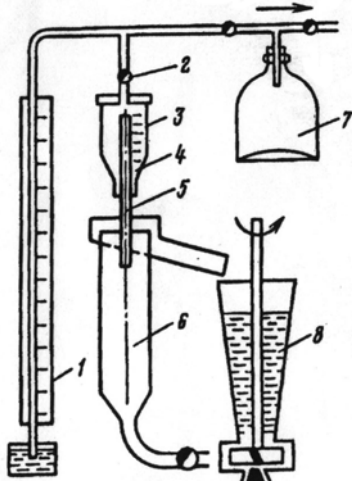
თუ იმ მეთოდის შერჩევა დამოკიდებულია მათ ფიზიკო-მექანიკურ თვისებებზე. მძიმე სითხეების სიმკვრივეს საზღვრავენ არეომეტრით. პულპისა და სუსპენზიის სიმკვრივის გაზომვისათვის გამოიყენება სხვადასხვა კონსტრუქციის ავტომატური სიმკვრივმზომები: წონითი, აერომეტრული, პიეზომეტრული, გიდროსტატიკური, მანომეტრული, ელექტრომაგნიტური და რადიომეტრული. ნახშირგამამდიდრებულ ფაბრიკებში ფართოდ გამოიყენება РПСМ ტიპის მანომეტრული სიმკვრივმზომი (ნახ. 2.1)



**ნახ. 2.1 მანომეტრული
სიმკვრივმზომი ტიპი РПСМ**

- 1, 4 – მილებელი;
- 2 – ჰაერგამანაწილებელი;
- 3 – შემკრები; 5 – გამზომი მილი;
- 6 – რგოლური კამერა; 7 – გადანადენის ნაცმი; 8 – დიფანომეტრი;
- 9 – კომპენსატორის მილი;
- 10 – ჰიდრავლიკური კომპენსატორი.

სუსპენზიის განსაზღვრა ჩვეულებრივი ვისკოზიმეტრის საშუალებით შეუძლებელია დამამძიმებლის მარცვლების დალექვის გამო. გამდიდრების პარაქტიკაში გამოიყენება სხვადასხვა კონსტრუქციის ვისკოზიმეტრი: კაპილარული, როტაციული, ელექტრომექანიკური. აღნიშნული ვისკოზიმეტრებიდან ყველაზე უფრო გამოიყენება მეხანობრის კაპილარული ვისკოზიმეტრი (ნახ. 2.2).



ნახ. 2.2 მეზანობრის კაპილარული ვისკოზიმეტრი
 1 – მანომეტრი; 2 – სამსვლიანი ონკანი;
 3 – ვისკოზიმეტრის რეზერვუარი;
 4 – სუსპენზიის დონის მზომი;
 5 – კაპილარული მილი;
 6, 7 – რეზერვუარი; 8 – ჭუმფი.

სუსპენზიის სიბლანტის განსაზღვრა შესაძლებელია აგრეთვე მარტივი, ამრევ მექანიზმიანი კაპილარული ვისკოზიმეტრით (ნახ.2.3.), რომელიც წარმოადგენს 100 სმ³ ტევადობის ცილინდრულ ჭურჭელს, კაპილარული მილით. ცილინდრულ მილში ისხმება გამოსაკვლევი სუსპენზია, იმისათვის, რომ თავიდან ავიცილოთ დამამბიმებლის მარცვლების დალექვა, წარმოებს სუსპენზიის განუწყვეტელი არევა.

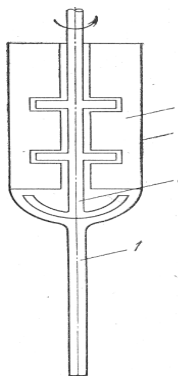
ცდის ჩატარების მეთოდიკა მდგომარეობს შემდეგში: ცილინდრულ მილში ათავსებენ სუფთა წყალს, და ინიშნავენ კაპილარული მილიდან წყლის გამოდინების დროს. ანალოგიურად ცდას იმეორებენ სუსპენზიისათვის. სუსპენზიის სიბლანტე იანგარიშება ფორმულით:

$$\mu_v = \mu_0 \frac{\Delta_s t_s}{\Delta_{\text{წყ}} t_{\text{წყ}}}$$

μ_0 – წყლის სიბლანტეა. $\mu_0 = 0,001$ პა.წმ.

Δ_s , $\Delta_{\text{წყ}}$ – სუსპენზიისა და წყლის სიმკვრივე კგ/მ³;

t_s , $t_{\text{წყ}}$ – სუსპენზიისა და წყლის გამოდინების დრო, წმ.



**ნაზ. 2.3 კაპილარული
ვისკოზიმეტრი**
1—კაპილარი; 2—რეზერვუარი;
3—ამრევი; 4—ამრიდი.

2.4 სუსპენზიის მომზადება

როგორც აღვნიშნეთ, სუსპენზია ორფაზოვანი სისტემაა, რომლის ძირითად ფაზას წარმოადგენს დამამძიმებელი. დამამძიმებლის მომზადების ტექნოლოგიური სქემის სირთულე დამოკიდებულია შერჩეული მასალის სახეობაზე და მის საწყის ზომაზე. დამამძიმებლად შეიძლება გამოყენებულ იქნას მთელი რიგი ბუნებრივი მძიმე მინერალები და აგრეთვე სხვადასხვა წარმოების ნარჩენები. დამამძიმებელი უნდა აკმაყოფილებდეს შემდეგ ძირითად მოთხოვნებს:

1. დამამძიმებლის ხვედრითი წონა, მინიმუმ, 2-ჯერ უნდა აღემატებოდეს სუსპენზიის სიმკვრივეს.

დამამძიმებლის მაქსიმალური მოცულობითი კონცენტრაცია სუსპენზიაში არ უნდა აღემატებოდეს 40-42 %-ს. თუ დამამძიმებლის კონცენტრაცია 40%-ზე მეტია, მაშინ სუსპენზია კარგავს დენადობის თვისებას და გამდიდრების ტექნოლოგიური პროცესებისადმი გამოუსადეგარია.

2.დამამბიმებელი პრაქტიკულად არ უნდა იხსნებოდეს წყალში. ქიმიურად ინერტიული უნდა იყოს და ახასიათებდეს მექანიკური მდგრადობა.

3.დამამბიმებელი უნდა იყოს შედარებით იაფი. ადვილი უნდა იყოს დამამბიმებლის რეაქციაცია ანუ აღდგენა, თუ დამამბიმებლად გამოიყენება ფეროსილიციუმი, რომლის ნატეხის ზომა 200-300 მმ-ს აღწევს. მაშინ მომზადების ტექნოლოგიურ სქემაში გათვალისწინებული უნდა იყოს ორსტადიური დამსხვრევა 15 მმ-მდე და წმინდა დაფქვა საკონტროლო კლასიფიკაციით. თუ დამამბიმებლად გამოიყენებულია მაგნეტიტი, რომელიც წარმოადგენს რკინის მამდიდრებელი ფაბრიკის კონცენტრატს, მაშინ ასეთი მასალა წარმოადგენს მზა სუსპენზოიდს.

მოცემული სიმკვრივის სუსპენზიის მოსამზადებლად აუცილებელია გაანგარიშებული იქნეს სუსპენზოიდისა და წყლის რაოდენობა. 1 მ⁻³ სუსპენზიის დასამზადებლად საჭირო სუსპენზოიდის და წყლის რაოდენობა გაიანგარიშება შემდეგი ფორმულებით:

სუსპენზიდის რაოდენობა

$$T = \frac{\delta(\Delta - 1)}{\delta - 1}$$

წყლის რაოდენობა

$$W = 1000 - \frac{T}{\delta}$$

სადაც: T-არის სუსპენზოიდის რაოდენობა კგ.

δ - სუსპენზოიდის კუთრი წონა კგ/მ³;

Δ - სუსპენზიის სიმკვრივე კგ/ მ⁻³.

სუსპენზიდის მოცულობითი კონცენტრაცია

განისაზღვრება შემდეგი ფორმულით

$$C = \frac{\Delta - 1000}{\delta - 1000} \cdot 100 \%$$

სუსპენზიაში სუსპენზოიდის და წყლის წონითი
რაოდენობა გაიანგარიშება აგრეთვე შემდეგი ემპირიული
ფორმულებით:

სუსპენზოიდის რაოდენობა

$$T = W_b \delta C$$

წყლის რაოდენობა

$$W = W_b (1-C)$$

სადაც W_3 -არის სუსპენზიის რაოდენობა გ³.

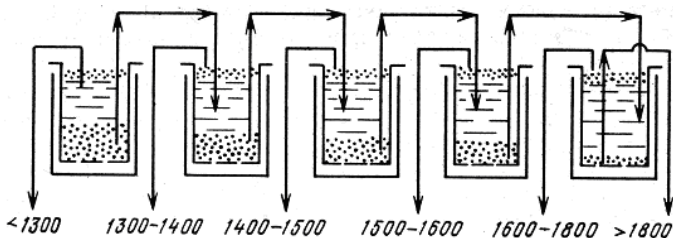
3. წიაღისეულთა გრავიტაციული
გამდიდრების ტექნოლოგიური მაჩვენებლების
განსაზღვრის მეთოდები და ეფექტურობა

3.1. წიაღისეულთა ფრაქტციული ანალიზი

წიაღისეულთა გრავიტაციული გამდიდრების
ტექნოლოგიური მაჩვენებლების თეორიული მნიშვნელობები
განისაზღვრება ფრაქციული ანალიზის შედეგების საფუძვლზე.
ფრაქციული ანალიზი ეწოდება წიაღისეულთა სხვადასხვა
სიმკვრივის ფრაქციებად დაყოფის პროცესს: ფრაქციული
ანალიზისათვის აიღება სინჯი, რომლის წონა დამოკიდებულია
მასალის სახეობაზე და სინჯში მაქსიმალური ნატეხის ზომაზე.
საანალიზო სინჯს მორეცხავენ შლამების მოცილების მიზნით,
კიდევ მორიცხავენ და ამტრაქტობის სხვადასხვა კუთრი წონის მიზნე

მძიმე სითხეში. ნახშირების ფრაქციული ანალიზისათვის გამოიყენება $ZnCl_2$ -ის მარილის წყალხსნარი, ხოლო მაღნების ფრაქციული ანალიზისათვის რორბახის და ტულეს მარილთა ხსნარები.

ფრაქციული ანალიზის ჩასატარებლად საანალიზო სინჯს ათავსებენ პერფორირებულ ფსკერიან ჭურჭელში, რომელსაც ათავსებენ თანმიმდევრულად სხვადასხვა კუთრ წონის მქონე მძიმე სითხეში. ნახშირების ფრაქციული ანალიზის ჩასატარებლად ამზადებენ 1300; 1400; 1500; 1600; 1800 კგ/მ³ კუთრი წონის $ZnCl_2$ -ის მარილთა წყალხსნარს. პირველ რიგში საანალიზო სინჯს ათავსებენ 1300 კგ/მ³ სიმკვრივის სითხეში. მინერალები, რომელთა კუთრი წონა მცირეა სითხის სიმკვრივეზე, ატივტივდება, ხოლო მინერალები, რომელთა კუთრი წონაც აღემატება 1300-ს ჩაიძირება. ატივტივებულ ფრაქციას ამოიღებენ, მორეცხავენ ჯერ ცხელი, მერე ცივი წყლით, გააშრობენ, შეკვეცვენ და სინჯის ნაწილს გადასცემენ ქიმიურ ლაბორატორიას. ზემოთ აღნიშნული ფრაქციული ანალიზის ჩატარების პროცესი სქემატურად გამოისახება შემდეგი სახით (ნახ. 3.1).



ნახ. 3.1. მძიმე სითხეში ნახშირის განშრევების სქემა.

ფრაქციული ანალიზის შედეგები შეიტანება სპეციალური ფორმის ცხრილში 3.1.

ცხრილი 3.1.

ფრაქციული ანალიზის შედეგები

ფრაქციის სიმკვრივე, $\beta\delta/\theta^3$	γ , %	A^c , %	γA^c	მსუბუქი ფრაქცია			მძიმე ფრაქცია		
				$\Sigma\gamma$, %	$\Sigma\gamma A^c$	A_{bs}^c , %	$\Sigma\gamma$, %	$\Sigma\gamma A^c$	A_{bs}^c , %
1	2	3	4	5	6	7	8	9	10
-1300	55, 9	4,8	268,3	55,9	268,3	4,8	100,0	2306,0	23,0
1300- 1400	9,4	10,1	94,9	65,3	365,6	5,6	44,1	2033	46,1
1400- 1500	7,6	18,6	141,3	72,9	503	6,9	34,7	1940	55,9
1500- 1600	3,3	30,0	99	76,2	601,9	7,9	27,1	1797	66,3
1600-1800	3,1	45,9	142,2	79,3	745,4	9,4	23,8	1699	71,4
-1800	20, 7	75,2	1556,6	100	2300	23	20,7	1557	75,2
	100	23							

მე-5 გრაფა ივსება მსუბუქი ფრაქციის გამოსავალთა (გრაფა 2) თანმიმდევრული შეჯამებით.

$$\Sigma\gamma_{1300-1400} = 55,9 + 9,4 = 65,3$$

$$\Sigma\gamma_{1400-1500} = 65,3 + 7,6 = 72,9$$

მე-6 გრაფა ივსება მსუბუქი ფრაქციის გამოსავლისა და ნაცრიანობის ნამრავლთა თანმიმდევრული შეჯამებით.

მე-7 გრაფა ივსება შეჯამებული მსუბუქი ფრაქციის საშუალო ნაცრიანობის გათვლით

$$A_{bs}^c = \frac{\Sigma\gamma A^c}{\Sigma\gamma} \%$$

ანალოგიურად გაითვლება მძიმე ფრაქციის პარამეტრები. ფრაქციული ანალიზის შედეგების საშუალებით განისაზღვრება გრავიტაციული გამდიდრების ტექნოლოგიური მაჩვენებლების თეორიული მნიშვნელობები (ცხრ.3.2). დავუშვათ, კონცენტრატული ფრაქციის გამყოფი სიმკვრივეა 1500 კგ/მ^3 , მაშინ კონცენტრატული ფრაქცია იქნება ნაკლები 1500 კგ/მ^3 , შუალედ პროდუქტიული ფრაქცია სიმკვრივით $1500-1800 \text{ კგ/მ}^3$, ხოლო კუდური ფრაქცია მეტი 1800 კგ/მ^3

ცხრილი 3.2

გამდიდრების პროდუქტთა თეორიული ბალანსი

გამდიდრების პროდუქტები	გამოსავალი $\gamma \%$	ნაცრიანობა $A^c \%$
კონცენტრატი	72,9	6,9
შუალედური პროდუქტი	6,4	37,6
კუდები	20,7	75,2
საწყ. ნახშირი	100.0	23

3.2 წიაღისეულთა გამდიდრების შეფასება

გამდიდრების პროდუქტების ტექნოლოგიური მაჩვენებლების თეორიული მნიშვნელობების საფუძველზე ანუ ფრაქციული ანალიზის შედეგების საშუალებით განისაზღვრება ნახშირების გამდიდრების კატეგორია. ნახშირები გამდიდრებადობის მიხედვით იყოფა ოთხ კატეგორიად.

I. — თუ ფრაქციული ანალიზიდან შუალედი პროდუქტის გამოსავალი მცირეა $4 \text{ \%}-ზე$, ასეთი ნახშირები მიეკუთვნება ადვილად გასამდიდრებელ ნახშირებს.

II. — თუ შუალედი პროდუქტის გამოსავალი ცვალებადობს $4-10 \text{ \%}$ მდე, მაშინ ასეთი ნახშირები მიეკუთვნება გამდიდრებადობის ნახშირებს.

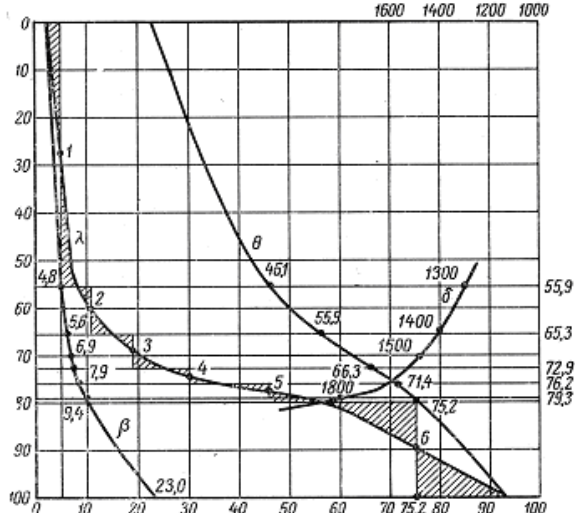
III. — თუ შუალედი პროდუქტის გამოსავალი ცვალებადობს 10-17 % მდე, მაშინ ასეთი ნახშირები მიეკუთვნება ძნელად გასამდიდრებელ ნახშირებს.

IV. — თუ შუალედი პროდუქტის გამოსავალი აღემატება 17%-ს, მაშინ ასეთი ნახშირები მიეკუთვნება ძალიან ძნელად გასამდიდრებელ ნახშირებს.

ჩვენს მიერ განხილულ მაგალითში შუალედური პროდუქტის გამოსავალი 6,4 %-ია. ე. ი. აღნიშნული ნახშირი მიეკუთვნება საშუალო გამამდიდრებადობის კატეგორიას.

ფრაქციული ანალიზის შედეგების გრაფიკულ გამოსახულებას გამდიდრებადობის მრუდები ეწოდება. გამდიდრებადობის მრუდებს აგებენ მართკუთხა კოორდინატთა სისტემაში მასშტაბით $200X200$ მმ, ორდინატზე გადაიზომება გამოსავალი ზემოდან ქვემოთ, ხოლო აბსცისაზე—ფრაქციის ნაცრიანობა-მასშტაბით — 1 მმ შეესაბამება 0,50 ნაცრიანობას.

გამდიდრებადობის მრუდები (სურ. 3.2.) აიგება ფრაქციული ანალიზის შედეგების საფუძვლზე. (ცხრ. 3.1)



ნახ. 3.2 გამდიდრებადობის მრუდები.

λ - გასამდიდრებელი მასალის მრუდი. β - მსუბუქი ფრაქციის მრუდი. Θ - მძიმე ფრაქციის მრუდი. δ - სიმკვრივის მრუდი.

საწყისი მასალის მრუდი აიგება ჯამურ გამოსავალსა და ელემნტარული ფრაქციის ნაცრიანობას შორის, რომელიც აღინიშნება λ ასოთი. მსუბუქი ფრაქციის მრუდი აიგება ჯამურ გამოსავალსა და მსუბუქი ფრაქციის საშუალო ნაცრიანობას შორის, აღინიშნება β -თი. მძიმე ფრაქციის მრუდი აიგება მძიმე ფრაქციის ჯამურ გამოსავალსა და საშუალო ნაცრიანობას შორის, აღინიშნება Θ -თი.

სიმკვრივის მრუდი აიგება ჯამურ გამოსავალსა და ფრაქციის სიმკვრივებს შორის, აღინიშნება δ -თი.

გამდიდრების მრუდების საშუალებით განისაზღვრება გრავიტაციული გამდიდრების ტექნოლოგიური მაჩვენებლების თეორიული მნიშვნელობები.

3.4. გრავიტაციული პროცესების ეფექტურობა

გრავიტაციული მეთოდით გამდიდრების ყველა აპარატურისათვის ტექნოლოგიური ეფექტურობის კრიტერიუმს წარმოადგენს წიაღისეულის სიმკვრივების მიხედვით დაყოფის სიზუსტე. პრაქტიკულად წიაღისეულის სიმკვრივეების მიხედვით დაყოფის სიზუსტე განისაზღვრება გამდიდრების პროდუქტების ფრაქციული ანალიზის შედეგების საფუძველზე.

გამდიდრების პროდუქტების ურთიერთდანაგვიანება თვალსაჩინო წარმოდგენას იძლევა გამამდიდრებელი აპარატურის დაყოფის ხარისხზე, მაგრამ შეფასების ასეთი ხერხი აძნელებს სხვადასხვა მეთოდით ან სხვადასხვა რეჟიმით მომუშავე გამამდიდრებელი აპარატურის ტექნოლოგიური ეფექტურობის შედარებას.

გრავიტაციული გამდიდრების პროცესში წიაღისეულთა სიმკვრივეების მიხედვით დაყოფის ეფექტურობა განისაზღვრება ჰენკოკ-ლუიკენის ფორმულით.

ჰენკოკ-ლუიკენის ფორმულა

$$E = \frac{\gamma_{\delta}(\beta_{\delta} - \alpha)}{\alpha(100 - \alpha)} \cdot 100$$

სადაც

E — გამდიდრების პროცესის ეფექტურობა, %;

γ — კონცენტრატის გამოსავალი, %;

α — საწყის მასალაში სასარგებლო კომპონენტის შემცველობა, %;

β — კონცენტრატში სასარგებლო კომპონენტის შემცველობა, %.

გარდა აღნიშნული ფორმულებისა დაყოფის ეფექტურობა განისაზღვრება გრაფიკულად. გამდიდრების პროდუქტებში სხვადასხვა სიმკვრივის ფრაქციების განაწილების ტრომპ-გერას მრუდის საშუალებით (ნახ. 3.3) რომელიც აიგება გამდიდრების პროდუქტების (კონცენტრატის $\gamma_1 = 54.4\%$ და კუდები $\gamma_2 = 45.6\%$) ფრაქციული ანალიზის შედეგების საფუძველზე (ცხრ. 3.3)

ცხრილი 3.3

გამდიდრების პროდუქტების ფრაქციული ანალიზის შედეგები

ფრაქციის სიმკვრივე, δ^3/δ^3	ფრაქციის საშუალო სიმკვრივე, ნალ. δ^3/δ^3	გამოსავალი $\gamma \%$	კონცენტრატი $\gamma = 54.4\%$		კუდები $\gamma_2 = 45.6\%$ %	
			კონცენტრატი γ_{δ} %	ამოქრეცვა, $\varepsilon \%$	კუდების ფრაქციის გამოსავალი, γ_{δ} %	ამოქრეცვა, $\varepsilon \%$
1	2	3	4	5	6	7
1200- 1300	1250	34.99	64.22	99.86	0.10	0.14
1300- 1400	1350	17.30	31.63	99.48	0.20.	0.52

ცხრილი 3.3 - გაგრძელება

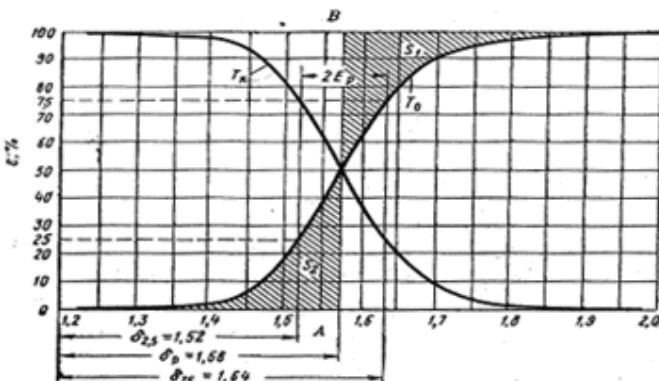
1	2	3	4	5	6	7
1400-1500	1450	1.96	3.43	95.41	0.20	4.59
1500-1600	1550	0.46	0.52	60.87	0.40	39.13
1600-1800	1700	0.98	0.20	11.20	1.93	89.80
1800-2200	2000	44.31	-	-	97.17	100.00
		100.0			100.0	-

კონცენტრატში და კუდებში ცალკეული ფრაქციის ამოკრეფა (გრაფიკა 5 და 7) განისაზღვრება შესაბამისი ფორმულებით

$$\varepsilon_{\text{გ}} = (\gamma_{\text{გ}} \cdot \gamma_1) / \gamma \% ; \quad \varepsilon_{\text{გ}} = (\gamma_{\text{გ}} \cdot \gamma_2) / \gamma \% ;$$

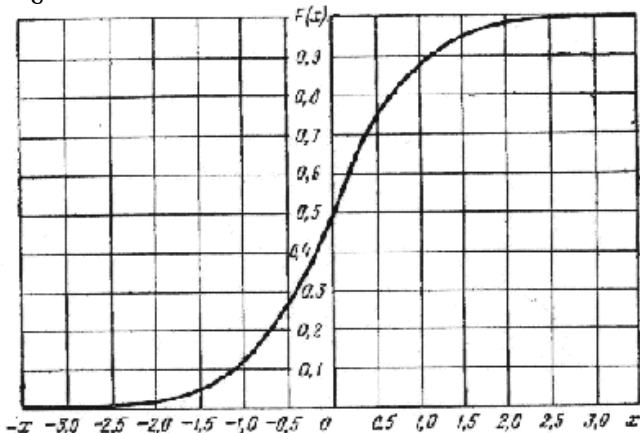
$$\text{მაგალითად: } \varepsilon_{\text{გ}} \text{ 1200-1300} = \frac{64.22 \cdot 54.4}{34.99} = 99.86\% ;$$

$$\varepsilon_{\text{გ}} \text{ 1200-1300} = \frac{0.1 \cdot 45.6}{34.99} = 0.14\%$$



ნახ. 3.3 გამდიდრების პროცესტებში ფრაქციების განაწილების მრუდი.

ტრომპის განაწილების მრუდის შესწავლის საფუძველზე ფრანგმა მკვლევარმა გერამ დააღინა აღნიშნული მრუდის მსგავსება გაუსის ალბათობის ინტეგრალურ მრუდთან (ნახ. 3.4) და შემოიღო ცნება „საშუალო საალბათო გადახრა“ ედ, ხოლო მკვლევარებმა ბელუგუმ (საფრანგეთი) — დაყოფის ცდომილება „, რომელთა საშუალებით შესაძლებელია წიაღისეულთა გამდიდრებისა და მისი დაყოფის ეფექტურობის დახასიათება.



ნახ. 3.4 გაუსის ინტეგრალური მრუდი

საშუალო საალბათო გადახრა და დაყოფის ცდომილება (პროცესის არასრულყოფილების კოეფიციენტი) განისაზღვრება დაყოფის მრუდის საშუალებით. (ნახ.3.3)

საშუალო საალბათო გადახრა ე და

$$E_{\text{დ}} = (\delta_{75} - \delta_{25}) / 2$$

დაყოფის ცდომილება „

$$J = E_{\text{დ}} / (\delta_{\text{დ}} - \Delta)$$

სადაც δ_{75} და δ_{25} — სიმკვრივის ის მნიშვნელობებია, რომელთაც შეესაბამება ფრაქციის 75 და 25 % ამოკრეფა.

$\delta_{\text{დ}}$ — დაყოფის (ზღვრული) სიმკვრივე, რომელსაც შეესაბამება ფრაქციის 50% ამოკრეფა.

Δ — თხევადი ფაზის სიმკვრივე. წყლისათვის $\Delta = 1000 \text{ კგ/მ}^3$

გამდიდრების ეფექტურობა მით უფრო მაღალია, რაც უფრო მცირეა $E_{\text{დ}}$ და ა მნიშვნელობები. იდეალური დაყოფის დროს ტრომპის განაწილების მრუდი მიიღებს ვერტიკალურ სწორსაზოგან ფორმას. მაშინ $E_{\text{დ}} = 0$ ე.ი. ფრაქცია, რომლის სიმკვრივე ნაკლებია დაყოფის ზღვრულ $\delta_{\text{დ}}$ სიმკვრივეზე გადავა მსუბუქ პროდუქტში, ხოლო $\delta_{\text{დ}}$ სიმკვრივეზე მეტი მძიმეში.

4. გამდიდრების გრავიტაციული პროცესების თეორიული საფუძვლები

გამდიდრების გრავიტაციული პროცესების თეორიული საფუძვლები ემყარება გარემოში განსაზღვრული ზომისა და სიმკვრივის მინერალურ მარცვალთა მოძრაობის კანონზომიერებებს, რომლებსაც საფუძვლად უდევს სტატისტიკური-ალბათობის, კლასიკური მექანიკის, პიდრაცლიკისა და ფიზიკის პიდროდინამიკური თეორიის კანონები.

4.1. მინერალურ მარცვალთა თავისუფალი ვარდნა

უსაზღვრო გარემოში ცალკეულ მარცვალთა ვარდნას თავისუფალი ეწოდება. როდესაც გარემოში ვარდნილ მარცვლეულთა შორის დაშორება $10-20$ -ჯერ აღემატება მარცვლის დიამეტრს, პრაქტიკულად ეს პირობა დაკმაყოფილებულია, როდესაც სითხისა და მყარის წონითი ფარდობა აღემატება 8 -ს ე.ი. $8 / \text{მყ} \geq 8 : 1$

ნებისმიერ გარემოში ვარდნილი მინერალურ მარცვალთა ვარდნის სიჩქარე განისაზღვრება მასზე მოქმედი სიმძიმის, ამომგდები (არქიმედეს) და სითხის ჰიდროდინამიკური ძალების თანაფარდობით.

$$\text{სიმძიმის ძალა} - G = V \delta g$$

სადაც V - მარცვლის მოცულობაა, მ^3 ;

δ - მარცვლის სიმკვრივე, $\text{კგ}/\text{მ}^3$;

g - თავისუფალი ვარდნის აჩქარება, $g = 9.81 \text{ მ}/\text{წ}^2$.

სფერული ფორმის მარცვლისათვის სიმძიმის ძალა,

$$G = \frac{\pi d^3}{6} \delta g$$

არქიმედეს ძალა - R

$$R = \frac{\pi d^3}{6} \Delta g$$

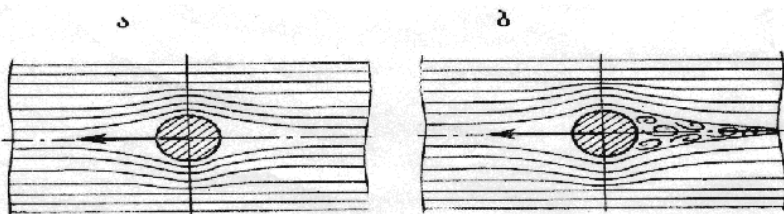
სადაც d - სფერული ფორმის მარცვლის დიამეტრია, მ^3 ;

Δ - სითხის სიმკვრივე, $\text{კგ}/\text{მ}^3$.

გრავიტაციული ძალა - G_0

$$G_0 = G - R = \frac{\pi d^3}{6} (\delta - \Delta) g$$

ჰიდროდინამიკური წინააღმდეგობის ძალა F
დამოკიდებულია ვარდნილი მინერალების ზედაპირზე სითხის გარშემოდინების რეჟიმზე. განასხვავებენ სითხის მოძრაობის ლამინალურ და ტურბოლენტურ რეჟიმს. (ნახ. 4.1. ა.ბ.)



ნახ.4.1. სითხის მოძრაობის რეჟიმი

ა - ლამინარული;

ბ - ტურბოლენტური.

ლამინალურ რეჟიმში მოძრავ მარცვლის ზედაპირზე სითხის შრის ფენები მდორედ იშლება და ერთდება მარცვლის წინა და უკანა ნაწილში (ნახ. 4.1.ა.) ამ შემთხვევაში ადგილი აქვს სითხის სიბლანტურ წინააღმდეგობის ძალებს, რომელიც განპირობებულია ხახუნის ძალებით და წარმოიქმნება სითხის ფენების სხვადასხვა სიჩქარით მოძრაობის შედეგად.

ლამინალურ რეჟიმში მოძრავ სხეულებზე მოქმედი სიბლანტური წინააღმდეგობა შესწავლილი იქნა ინგლისელი ფიზიკოსის გ. სტოქსის მიერ.

სტოქსის კანონიდან გამომდინარე სითხის სიბლანტური წინააღმდეგობის ძალა F_u

$$F_u = 3\pi\mu\nu d$$

სადაც

μ – სითხის დინამიკური სიბლანტეა, პა. წმ;

ν – მარცვლის მოძრაობის სიჩქარე, მ/წმ;

d – მარცვლის დიამეტრი, მ.

ექსპერიმენტალურად დადგენილია, რომ სიბლანტურ წინააღმდეგობას ადგილი აქვს ბლანტ არეში 0.1 მმ-ზე მცირე ზომის მარცვალთა მოძრაობის დროს.

ტურბულენტურ რეჟიმში მოძრავ მინერალურ მარცვლის უკანა მხარეს წარმოიქმნება გრიგალები, რომლებიც წარიტაცება სითხის მიერ და წარმოიქმნება შემცირებული წნევების სივრცე (ნახ. 4.1. ბ.)

წნევათა სხვადასხვაობა მარცვლის წინა და უკანა ნაწილში განაპირობებს დინამიკური წინააღმდეგობის ძალის წარმოქმნას. დინამიკური წინააღმდეგობა შესწავლილი იქნა ნიუტონის მიერ.

ნიუტონის კანონიდან გამომდინარე დინამიკური წინააღმდეგობის ძალაა E_{φ}

$$E_{\varphi} = KS \frac{1}{2} \nu^2 \Delta$$

სადაც K – პროპორციულობის კოეფიციენტია. რიტინგერის მიხედვით, $K = 1/2$;

S – მარცვლის გეგმილის ფართია. სფერული ფორმის მარცვლისათვის, $S = \frac{\pi d^2}{4}$;

მაშინ

$$F_{\text{ღ}} = \frac{\pi}{16} \nu^2 d^2 \Delta$$

ექსპერიმენტალურად დადგენილია, რომ როდესაც სითხეში მოძრაობები 2-მმ-ზე დიდი ზომის მარცვლები წარმოიქმნება დინამიკური წინააღმდეგობა.

სითხის დინების სიჩქარული რეჟიმები შეისწავლა ინგლისელმა მეცნიერმა რეინოლდსმა, რომლის საპატივცემულოდ შემოღებული იქნა რეინოლდსის პარამეტრი - Re

$$Re = \frac{\nu d \Delta}{\mu}$$

რეინოლდსის პარამეტრის სიდიდის მნიშვნელობა განსაზღვრავს სითხის დინების სიჩქარული რეჟიმის ხასიათს.

როდესაც $Re < 1$ სითხის ნაკადის დინება ლამინარულია;

$Re > 1000$ ტურბოლენტური;

$1 < Re < 1000$ ნაკადი მოძრაობს გარდამავალ რეჟიმში.

გარდამავალ რეჟიმში მინერალურ მარცვალთა ($0.1 - 2$ მმ) მოძრაობის დროს ადგილი აქვს სიბლანტურ და დინამიკურ წინააღმდეგობის ძალების მოქმედებას, რომლის სიდიდე ალენის მიხედვით

$$F_s = \frac{10}{\sqrt{Re}} \cdot F_{\text{ღ}} = \Psi_s \nu^2 d^2 \Delta$$

$$\Psi_s = \frac{10}{\sqrt{Re}} \cdot \frac{\pi}{16} = \frac{5\pi}{8\sqrt{Re}}$$

ჰიდროდინამიკური წინააღმდეგობა ზოგადი სახით გამოისახება შემდეგი ფორმულით

$$F = \psi \nu^2 d^2 \Delta$$

სადაც

ψ — პიდროდინამიკური წინააღმდეგობის კოეფიციენტია

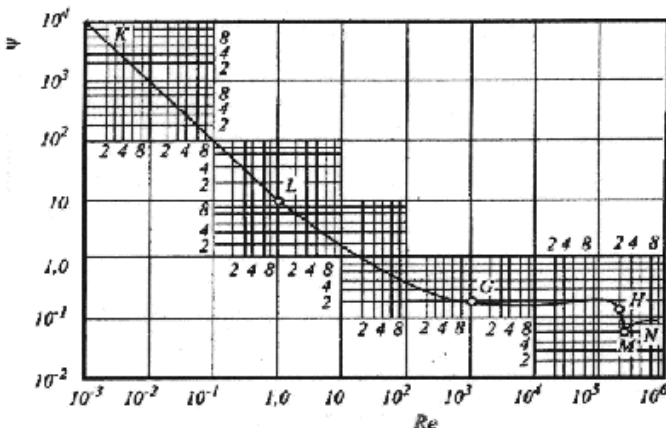
როდესაც $F_\varphi > F_u$; $\psi = \psi_\varphi = \pi/16$ დინამიკური წინააღმდეგობის კოეფიციენტი;

როდესაც $F_\varphi < F_u$; $\psi = \psi_u = 3\pi/\text{Re}$ სიბლანტური წინააღმდეგობის კოეფიციენტი;

როდესაც $F_\varphi \approx F_u$; $\psi = \psi_s = \frac{5\pi}{8\sqrt{\text{Re}}}$

წინააღმდეგობის კოეფიციენტი სიბლანტის და დინამიკური წინააღმდეგობის გათვალისწინებით.

ინგლისელმა მეცნიერმა რეინოლდსმა და რელეიმ შესძლეს დაემყარებინათ ორ წინააღმდეგობებს შორის კავშირი (ნახ. 4.2.).



ნახ. 4.2 წინააღმდეგობის ψ კოეფიციენტსა და Re -ს შორის დამოკიდებულება

მინერალურ მარცვალთა ლამინალურ რეჟიმში ($\text{Re} < 1$) მოძრაობის დროს წინააღმდეგობის კოეფიციენტი $\psi = 3\pi/\text{Re}$, გარდამავალ რეჟიმში ($1 < \text{Re} < 10^3$) მოძრაობის

დროს $\psi = 5\pi/8\sqrt{\text{Re}}$, ხოლო ტურბულენტურ რეჟიმში ($\text{Re} > 10^3$) მოძრაობის დროს $\psi = \pi/16$.

სითხეში ვარდნილი მინერალური მარცვალი მოძრაობს გრავიტაციული ძალის მოქმედებით, თავდაპირველად მოძრაობს აჩქარებულად, როდესაც სიმძიმის ძალა გაუწონასწორდება სითხის ჰიდროდინამიკურ წინააღმდეგობას, აჩქარება გაუტოლდება ნულს და მარცვალი იწყებს მუდმივი სიჩქარით ვარდნას, რომელსაც ვარდნის საბოლოო სიჩქარეს უწოდებენ. მაშასადამე, 0.1 მმ-ზე მცირე ზომის სფერული მარცვლისათვის სამართლიანია ტოლობა

$$\frac{\pi d^3}{6}(\delta - \Delta)g = 3\pi\mu vd$$

ლამინარული რეჟიმისათვის ($\text{Re} \prec 1$, $d \prec 0.1$ მმ) წყალში მარცვლის თავისუფალი ვარდნის საბოლოო სიჩქარე განისაზღვრება სტოქსის ფორმულით

$$v = \frac{g}{18} d^2 \frac{(\delta - \Delta)}{\mu}$$

$$\text{წყლისათვის} - \Delta = 1000 \text{ კგ/მ}^3, \mu = 0.001 \text{ პა.წმ.}$$

$$v = 545d^2(\delta - 1000)$$

$$\text{ჰაერისათვის} - \Delta = 1.23 \text{ კგ/მ}^3, \mu = 0.000018 \text{ პა.წმ.}$$

$$v = 30278d^2(\delta - 1.23)$$

გარდამავალი რეჟიმისათვის ($1 \prec \text{Re} \prec 10^3$, $d = 0.1 - 0.2$ მმ) მარცვლის თავისუფალი ვარდნის საბოლოო სიჩქარე ანალოგიურად განისაზღვრება $G = F$,

$$\frac{\pi d^3}{6}(\delta - \Delta)g = \frac{5\pi}{8\sqrt{\text{Re}}} v^2 d^2 \Delta$$

$$v = 0.89d^3 \sqrt{\frac{(\delta - \Delta)^2}{\mu \Delta}} - \text{ალენის ფორმულა.}$$

ტურბულენტური რეჟიმისათვის ($R \succ 10^3$, $d \succ 2$ მმ) $G = F$

$$\frac{\pi d^3}{6}(\delta - \Delta)g = \frac{\pi}{16}v^2d^2\Delta$$

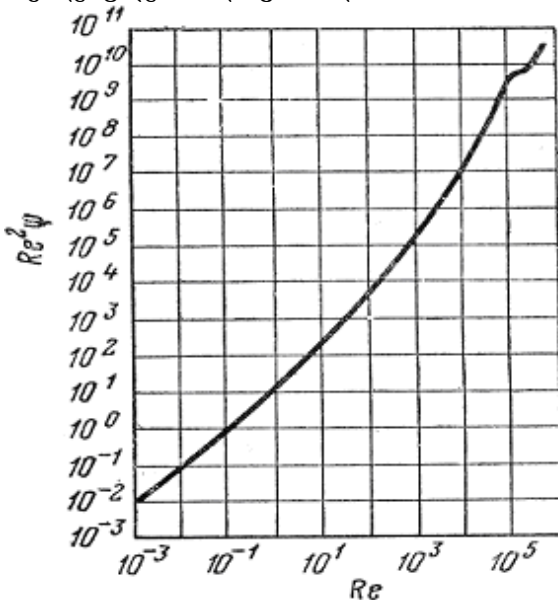
$$v = 1.63\sqrt{d(\delta - \Delta)g/\Delta} - \text{რიტინგერის ფორმულა}$$

სტოქსის, რიტინგერისა და ალენის ფორმულები გამოიყენება განსაზღვრული ზომის მინერალურ მარცვალთა ვარდნის საბოლოო სიჩქარის საანგარიშოდ.

ნებისმიერი ზომისა და სიმკვრივის მინერალურ მარცვალთა საბოლოო სიჩქარის საანგარიშოთ ლიაშენკომ შემოგვთავაზა, რეინოლსის პარამეტრიდან გამომდინარე უნივერსალური მეთოდი, რომელიც ითვალისწინებს ორივე სახის წინააღმდეგობას.

$$v = \text{Re } \mu / d\Delta$$

Re -ს მნიშვნელობა განისაზღვრება $\text{Re}^2\psi$ -სა და Re -ს დამოკიდებულებას დიაგრამიდან (ნახ. 4.3.)



ნახ. 4.3 რეინოლსის რიცხვს და $\text{Re}^2\psi$ პარამეტრს შორის დამოკიდებულების დიაგრამა

მაშასადამე, ვარდნის სიჩქარე დამოკიდებულია რეინოლდსის რიცხვის მნიშვნელობაზე, გამყოფი გარემოს სიბლანტესა და სიმკვრივეზე და ვარდნილი მარცვლის დიამეტრზე.

თავისუფალი ვარდნის სიჩქარეზე გავლენას ახდენს მარცვალთა ზომა, სიმკვრივე, ფორმა, სითხის ტემპერატურა და სხვა.

როგორც ექსპერიმენტებმა გვიჩვენა, ერთი და იგივე ზომის და სიმკვრივის მარცვალები ხასიათდება სხვადასხვა ვარდნის სიჩქარეებით.

თუ სფერული ფორმის მარცვლის სიჩქარეს აღვნიშნავთ $V_{\text{სფ}}$. მაშინ ოთხკუთხა ფორმის მქონე მარცვლების ვარდნის სიჩქარე ტოლია.

$$V_{\text{ოთხ.}} = 0,87 V_{\text{სფ}}$$

წაგრძელებული ფორმის მარცვლებისათვის

$$V_{\text{ტაგ.}} = 0,77 V_{\text{სფ}}$$

სითხის ტემპერატურა თავისუფალი ვარდნის სიჩქარეზე გავლენას ახდენს იმ შემთხვევაში, როდესაც მარცვალი მოძრაობს ლამინალურ რეჟიმში, თუ რეინოლდსის რიცხვის მნიშვნელობა მეტია 200-ზე, ამ შემთხვევაში სითხის ტემპერატურა არავითარ გავლენას არ ახდენს.

4.2 თანაბრად ვარდნილი მარცვლები და თანაბარვარდნის კოეფიციენტი

თანაბარვარდნილი მარცვლები ეწოდებათ ერთნაირი ვარდნის სიჩქარის მქონე სხვადასხვა სიმკვრივისა და ზომის მინერალურ მარცვლებს, ხოლო მსუბუქი და მძიმე მინერალურ მარცვალთა დიამეტრთა ფარდობას თანაბარვარდნის კოეფიციენტი e , განმარტების თანახმად

$$e = \frac{d_{\text{მს}}}{d_{\text{მძ}}} ; \quad v_{\text{მს}} = v_{\text{მძ}} ;$$

სხვადასხვა ზომის მინერალურ მარცვალთა
 თანაბარვარდნის კოეფიციენტი განისაზღვრება შესაბამისი
 გარღნის საბოლოო სიჩქარის ფორმულის გამოყენებით,
 $d \prec 0.1$ მმ-ზე მცირე ზომის მინერალურ მარცვალთა
 თანაბარვარდნის კოეფიციენტი განისაზღვრება სტოქსის
 ფორმულით $\nu = 545d^2\delta - \Delta$ ამ შემთხვევაში მარცვლები
 მოძრაობები ლამინალურ რეჟიმში $Re \prec 1$

$$e = \frac{d_1}{d_2} = \sqrt{\frac{K_2(\delta_2 - \Delta)}{K_1(\delta_1 - \Delta)}} = \sqrt{\frac{\delta_2 - 1000}{\delta_1 - 1000}}$$

გარდამავალი რეჟიმისათვის $(d = 0.1 - 2 \text{ მმ})$
 $1 \prec Re \prec 10^3$) გამოიყენება ალენის ფორმულა

$$e = \frac{d_1}{d_2} = \frac{K_2}{K_1} \sqrt[3]{\left(\frac{\delta_2 - \Delta}{\delta_1 - \Delta} \right)^2} = \sqrt[3]{\left(\frac{\delta_2 - 1000}{\delta_1 - 1000} \right)^2}$$

ტურბოლენტური რეჟიმისათვის ($d \succ 2 \text{ მმ}$ $Re \succ 10^3$)
 გამოიყენება რიტინგერის ფორმულა
 $e = \frac{d_1}{d_2} = \frac{K_2(\delta_2 - \Delta)}{K_1(\delta_1 - \Delta)} = \frac{\delta_2 - 1000}{\delta_1 - 1000}$

სადაც

K_1 და K_2 – მსუბუქი და მძიმე მინერალების ფორმისა
 და გარემოს რეოლოგიური პარამეტრების გავლენის
 კოეფიციენტია $K_1 \approx K_2$.

d_1 და d_2 მსუბუქი და მძიმე მინერალების მარცვალთა
 დიამეტრია, მ.

თანაბარვარდნის კოეფიციენტის გამოყენებით
 განისაზღვრება სამანქანო კლასის ზომები გრავიტაციული
 გამდიდრებისათვის.

4.3 ვარდნილ მარცვალთა მუდმივ სიჩქარემდე მისაღწევად საჭირო დრო

სითხეში ვარდნილი მარცვალი თავდაპირველად მოძრაობს აჩქარებულად, განსაზღვრული დროის შემდეგ მისი აჩქარება გაუტოლდება ნულს და მარცვალი იწყებს მოძრაობას მუდმივი სიჩქარით.

სითხეში სფერული მარცვლის მოძრაობის
დიფერენციალურ განტოლებას შემდეგი სახე აქვს:

$$m \frac{dv}{dt} = G_0 - P$$

სადაც

$$m - \text{მარცვლის მასაა, } m = \pi \delta d^3 / 6 ;$$

$$G_0 - \text{მარცვლის წონაა სითხეში, } G_0 = \pi d^3 g(\delta - \Delta) / 6 ;$$

$$P - \text{სითხის წინააღმდეგობის ძალაა, } P = \psi V^2 d^2 \Delta .$$

თუ შევიტანო გამოსახულებაში G_0 და P -ს შესაბამის მნიშვნელობებს და გავყოფთ ტოლობის ორივე მხარეს მასაზე $m = \pi \delta d^3 / 6$ -ზე, მივიღებთ:

$$\frac{dV}{dt} = g \frac{\delta - \Delta}{\delta} - \frac{6 \psi V^2 \Delta}{d \pi \delta}$$

საწყის მდგომარეობაში, როდესაც სიჩქარე $V = 0$, მარცვალი მოძრაობს საწყისი აჩქარებით $g_0 = g(\delta - \Delta) / \delta$, ე.ი. მარცვლის საწყისი აჩქარება დამოკიდებულია მხოლოდ მინერალისა და სითხის სიმკვრივეზე

$$\frac{dV}{dt} = g_0 - \frac{6 \psi V^2 \Delta}{d \pi \delta} .$$

საწყის მომენტში, როცა სითხეში სხეულის მოძრაობის სიჩქარე $V = 0$, მაშინ $P = 0$ და სხეულის აჩქარება $dV/dt = g_0$

როდესაც მარცვლის მოძრაობის სიჩქარე V გაზდება მუდმივი V_0 , ამ შემთხვევაში აჩქარებაა გაუტოლდება ნულს $dV/dt = 0$, ე.ი.

$$g_0 - \frac{6\psi V^2 \Delta}{d\pi\delta} = 0$$

აქედან მარცვლის მოძრაობის სიჩქარე

$$V_0 = \sqrt{\frac{g_0 \pi \delta d}{6\psi \Delta}}$$

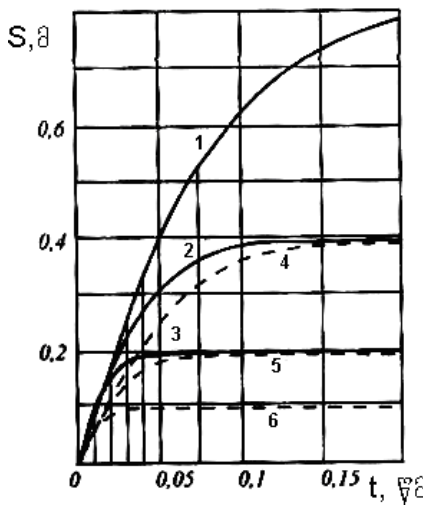
თუ აღნიშნულ გამოსახულებას გამოვსახვთ ინტეგრალით ზღვრებში, როცა ვარდნის ხანგრძლივობა იცვლება $0 \div t$ – მდე, ხოლო მოძრაობის სიჩქარე $0 \div V_0$ და განვსაზღვრავთ t – ს მიმართ, მივიღებთ მარცვლის მუდმივ სიჩქარემდე მისაღწევად საჭირო დროის საანგარიშო ფორმულას:

$$t = \frac{2,5V_0}{g_0},$$

ხოლო, t დროის განმავლობაში მარცვლის მიერ განვლილი გზა:

$$S = \frac{1,8V_0^2}{g_0}.$$

მაშასადამე, მუდმივ სიჩქარემდე მისაღწევად მარცვლის მიერ განვლილი გზის სიდიდე დამოკიდებულია ვარდნის საწყის სიჩქარეზე, ე.ი. მის ზომაზე და სიძკვრივეზე (ნახ. 4.4).



ნახ. 4.4. სხვადასხვა
სიმსხოსა და სიმკვრივის
მარცვლის გარღნის სიჩქარის
ცვლილება დროის მიხედვით

$$\delta = 7,5 \text{ - } \text{მრუდი } 1,2,3;$$

$$\delta = 2,65 \text{ - } \text{მრუდი } 4,5,6.$$

1 - $d = 10 \text{ მმ}$; 2 - $d = 4 \text{ მმ}$;

3 - $d = 1 \text{ მმ}$; 4 - $d = 16 \text{ მმ}$;

5 - $d = 4 \text{ მმ}$; 6 - $d = 1 \text{ მმ}$.

მაგ. განვსაზღვროთ 0,01 მმ-იანი კვარცის
მარცვლებისათვის საბოლოო გარღნის სიჩქარის მიღწევისათვის
საჭირო დრო.

$$\text{მოც. } \delta = 2650 \text{ კგ/მ}^3$$

$$d = 0,01 \text{ მმ} = 0,00001 \text{ მ}$$

$$V = 0,545 \cdot \frac{\delta - 1000}{0,001} = 0,545 \cdot \frac{2650 - 1000}{0,001} = 0,08 \text{ მ/მ}$$

$$g = \frac{\delta - \Delta}{\delta} \quad g = \frac{1650}{2650} \cdot 9,81 = 6,7$$

$$t = \frac{2,5 \cdot 0,8}{6,7} = 0,3 \text{ მ}$$

4.4. მინერალურ მარცვალთა შეზღუდული ვარდნა

მინერალურ მარცვალთა ერთობლივ მოძრაობას, რომელთა შორის დაშორება 10-20-ჯერ მცირეა მათ დიამეტრზე – შეზღუდული ეწოდება.

პრაქტიკულად შეზღუდული ვარდნა განხორციელებულია გრავიტაციული გამდიდრების ნებისმიერ პროცესში, როდესაც სითხის და მყარის წონითი ფარდობა (ს:მყ < 8:1) 8-ზე მცირეა.

მინერალურ მარცვალთა შეზღუდული ვარდნა შესწავლილი იქნა გერმანელი მეცნიერის რ. რიჩარდის მიერ. ექსპერიმენტების შედეგების საფუძველზე იგი ასკვნის, რომ მარცვალთა შეზღუდული ვარდნა ანალოგიურია თავისუფალი ვარდნისა იმ გარემოში, რომლის სიმკვრივესაც უკავია შუალედი მდგომარეობა მყარ სხეულსა და სითხის სიმკვირვეებს შორის.

რიჩარდის მიხედვით

$$\nu_{\text{მ}} = k \sqrt{d(\delta - \Delta)}$$

სადაც k – რიტინგერის ფორმულის რიცხვითი კოეფიციენტია;

d – მარცვალთ დიამეტრი, მ;

δ – მარცვლის სიმკვრივე, $\text{კგ}/\text{მ}^3$;

Δ – სითხის საშუალო სიმკვრივე, $\text{კგ}/\text{მ}^3$;

$$\Delta_{\text{ს}} = (\delta + \Delta)/2$$

სადაც Δ – წყლის სიმკვრივეა, $\text{კგ}/\text{მ}^3$;

პროფ. ლიაშენკომ მინერალურ მარცვალთა შეზღუდული მოძრაობის კანონზომიერების თეორიული და ექსპერიმენტული შესწავლის საფუძველზე შეადგინა შეზღუდული ვარდნის საანგარიშო ემპირიული ფორმულა

$$\nu_{\text{მ}} = \nu_0 \sqrt{\theta^n}$$

სადაც ν_0 – თავისუფალი ვარდნის სიჩქარე, $\text{მ}/\sqrt{\text{მ}}$;

θ – მასალის გაფხვიერების კოეფიციენტი;

$$n - \text{სარისხის მაჩვენებელი } n = 5 \div 7.5 .$$

$$\theta = (\nu - \nu_1) / \nu$$

სადაც ν – მყარი და თხევადი ფაზის მიერ დაკავებული მოცულობა, მ³;

$$\nu_1 - \text{მყარი ფაზის მოცულობა, მ}^3;$$

პროფ. ვ. ოლევსკის მიხედვით შეზღუდული ვარდნის სიჩქარე

$$\nu = \nu_0 \left(1 - \frac{T}{T_0} \right)$$

სადაც T და T_0 – არის პულპაში მყარის წონითი შემცველობა.

შეზღუდული მოძრაობის სიჩქარე დამოკიდებულია პულპაში მყარის კონცენტრაციაზე, რაც უფრო მეტია კონცენტრაცია, მით მცირეა შეზღუდული ვარდნის სიჩქარე.

4.5 მინერალურ მარცვალთა დალექვის ჰიპოთეზები.

მინერალურ მარცვლათა დალექვის პროცესის განმარტებისათვის არსებობს შემდეგი ჰიპოთეზები: სიჩქარული, სტატიკური და ენერგეტიკული.

სიჩქარული ჰიპოთეზა ჩამოყალიბებული იქნა რიტინგერის მიერ, რომლის მიხედვით წყლის პულსირებულ ნაკადში განხორციელებულია მასალის ფრაქციებად დაყოფა. რიტინგერის ჰიპოთეზის მიხედვით თანაბარი ზომის სხვადასხვა სიმკვრივის ($\delta_1 < \delta_2$) მინერალების მარცვლები განლაგდება ცხავის ზედაპირზე, საგების ქვედა შრეში—მძიმე მინერალები, ხოლო მსუბუქი მინერალის მარცვლები— საგების ზედა შრეში $V_{\text{ა}} > V_{\text{ა}} .$ სიჩქარული ჰიპოთეზის მიხედვით დალექვის პროცესში შესაძლებელია მხოლოდ ვიწროდ კლასიფიცირებული მასალის ფრაქციებად დაყოფა. კლასს, რომლის ზედა ზღვარის შეფარდება ქვედა ზღვართან

არ აღემატება თანაბარი ვარდნის კოეფიციენტს, ვიწრო კლასი ეწოდება.

პრაქტიკაში ძირითადად მდიდრდება ფართო კლასიფიკაციის სკალით მომზადებული მასალა. ამ შემთხვევაში მასალის ფრაქციებად განშრევებაზე დიდ გავლენას ადგენს სხვადასხვა სიჩქარით ვარდნილი მინერალურ მარცვალთა მასიური მოძრაობით გამოწვეული ურთიერთ ხახუნის ძალები. ამიტომ თავისუფალი ვარდნის სიჩქარეზე დაყრდნობით, მასალის განშრევების პროცესის მექანიზმის ახსნა არასრულყოფილია.

დალექვის სიჩქარულმა ჰიპოთეზამ უკანასკნელ წლებში დიდი განვითარება პოვა და საბოლოოდ ჩამოყალიბებული იქნა შემდეგნაირად, რომ მინერალების მარცვალთა ვარდნის სხვადასხვა სიჩქარეების მიხედვით მასალის ფრაქციებად განშრევებაზე გავლენას ახდენს მარცვლების ზომა, ფორმა და გარემოს წინააღმდეგობის ძალები. ამ დებულებიდან გამომდინარე დალექვის პროცესში სფერული ფორმის მარცვლების მოძრაობის დიფერენციალურ განტოლებას შემდეგი სახე აქვს.

$$m \frac{dV}{dt} = G - P_a \pm P \pm P_m$$

სადაც

m -მარცვლის მასაა, კგ.;

$\frac{dV}{dt}$ - მარცვლის აჩქარებაა, მ/წ²;

G - მარცვლის წონაა, კგ;

P_a -ამომდგები ძალა, ნ.

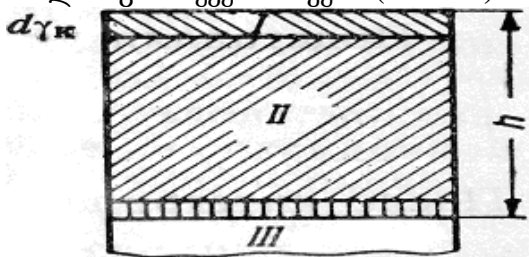
P -გარემოს წინააღმდეგობის ძალა, ნ.

P_g -მარცვლთა ურთიერთმოქმედი მექ. ძალა, ნ.

განტოლებიდან ჩანს, რომ მარცვალი მოძრაობს ცვლადი აჩქარებით, რომლის სიდიდე დამოკიდებულია მარცვლის სიმკვრივეზე, ზომაზე და სიჩქარეზე.

დალექვის სტატიკური პიპოთეზა. სტატიკური პიპოთეზის მიხედვით დალექვა განიხილება, როგორც მასიური პროცესი, რომლის მიმდინარეობა იცვლება დროის მიხედვით, ვინოგრადოვის მიხედვით დალექვის პროცესის ტექნოლოგიური პარამეტრები დამოკიდებულია პროცესის კინეტიკაზე.

ვინოგრადოვი დალექვის კინეტიკის განსაზღვრისათვის აწარმოებდა ნახშირების დალექვას სხვადასხვა ხანგრძლივობით და იღებდა სინჯებს ფრაქციული ანალიზისათვის. როგორც გამოკვლევებმა გვიჩვენა, განსაზღვრული დროის შემდეგ სალექ განყოფილებაში წარმოიქმნება სამი შრე. ქვედა მძიმე ფრაქციის შრე, ზედა მსუბუქი ფრაქციის შრე და შუა შუალედური ფრაქციის შრე. თითოეულ შრეთა შორის მოთავსებულია გარდამავალი შრეები. დალექვის ხანგრძლივობის ზრდასთან ერთად იზრდება საბოლოო პროდუქტის შრეთა სისქე, მაგრამ მთლიანად არ ისპობა შერეული შრე, რაც აიხსნება მარცვალთა ურთიერთქმედებით. ვინოგრადოვმა შეადგინა დალექვის პროცესში დროის მიხედვით მასალის განშრევების სქემა (ნახ 4.5)



ნახ. 4.5. დალექვის პროცესში მასალის განშრევების სქემა.

h – საგების სიმაღლე; I – კონცენტრატის შრის სისქე
II – გამყოფი ზონა; III- სალექი ცხავი

დავუშვათ დალექვის t დროის შემდეგ სალექ განყოფილებაში წარმოქმნილი კონცენტრატის ფრაქციის შრის სისქე აღვნიშნოთ γ_j , მასში მსუბუქი ფრაქციის შემცველობა

აღვნიშნოთ F_δ -თი, საწყის მასალაში მსუბუქი ფრაქციის შემცველობა— F_u , მაშინ კონცენტრატული ფრაქციის შრეში გადასული მსუბუქი ფრაქციის რაოდენობა

$$F = (F_\delta - F_u) \gamma_\delta.$$

გამყოფი ზონიდან კონცენტრატულ ფრაქციის შრეში დროის ერთეულში გადასული მსუბუქი ფრაქციის რაოდენობა აღვნიშნოთ F'

$$F' dt = (F_\delta - F_u) d\gamma_\delta$$

$$\text{აქედან: } d\gamma_\delta = \frac{F' dt}{F_\delta - F_u}$$

F' -ის განსაზღვრისათვის ვინოგრადოვმა გამოიყენა მასათა ურთიერთქმედების კანონი, რომელიც მოცემული შემთხვევისათვის ჩამოაყალიბა შემდეგი სახით: გამყოფი შრიდან კონცენტრაციულ ფრაქციულ შრეში გადასული მსუბუქი ფრაქციის რაოდენობა პროპორციულია გამყოფ შრეში დარჩენილი იგივე ფრაქციის რაოდენობისა.

$$\frac{dF_\delta}{dt} = K F_\delta$$

სადაც F_δ —გამყოფ ზონაში მსუბუქი ფრაქციის შემცველობაა.

K-პროპორციულობის კოეფიციენტი, აღნიშნული გამოსახულების ინტეგრირებით მივიღებთ

$$\ln F_\delta = Kt + C$$

ინტეგრალის მუდმივა განისაზღვრება საწყისი პირობიდან, როცა $t = 0$ მაშინ,

$$F_\delta = F_u$$

$$C = \ln F_u$$

ჩავსვათ C -ს მნიშვნელობა განტოლებაში, მივიღებთ

$$\ln \frac{F_\delta}{F_u} = -Kt$$

აქედან

$$F_u = F \cdot e^{-kt}$$

განტოლება გამოსახავს დალექვის t დროის შემდეგ გაყოფის ზონაში დარჩენილი მსუბუქი ფრაქციის რაოდენობას. იგივე დროში კონცენტრატული ფრაქციის შრეში გადასული მსუბუქი ფრაქციის რაოდენობა

$$F_{\delta} = F_b - F_{\delta}$$

$$F_{\delta} = F_b - F_b e^{-kt}$$

დროის ერთეულში გადასული მსუბუქი ფრაქციის სიდიდე

$$F' = \frac{dF_{\delta}}{dt} = K F_b e^{-kt}$$

შევიტანოთ F' მნიშვნელობა მივიღებთ

$$d\gamma_k = \frac{K F_u e^{-kt}}{F_k - F_b} dt$$

ამოსახულების ინტეგრირებით მივიღებთ

$$\gamma_{\delta} = \frac{F_b}{F_{\delta} - F_b} e^{-kt} + C$$

ინტეგრალის მუდმივა განვსაზღვროთ საწყისი პირობიდან $t=t_1$ ე.რ. დალექვის პროცესის დასაწყისში კონცენტრატის შრე არ არის წარმოქმნილი, $\gamma_{\delta}=0$

$$\text{მაშინ } e = - \frac{F_b}{F_{\delta} - F_b} e^{-kt_1}$$

ჩავსვათ C მნიშვნელობა და მივიღებთ კონცენტრატის ფრაქციის რაოდენობის საანგარიშო ფორმულას

$$\gamma_{\delta} = \frac{F_b}{F_{\delta} - F_b} (e^{-k t_1} - e^{-kt})$$

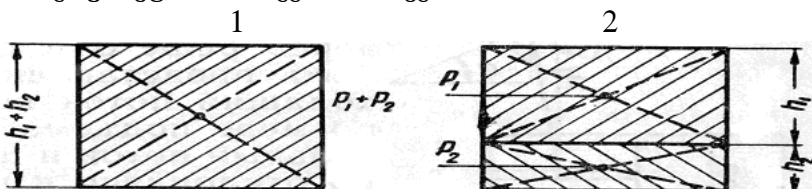
ანალოგიურად მიიღება მძიმე ფრაქციის საანგარიშო ფორმულა.

ამრიგად, როგორც ფორმულიდან ჩანს, დალექვის პროცესში წარმოქმნილი კონცენტრატის რაოდენობა დამოკიდებულია არა მარტო საწყის მასალაში

კონცენტრატული ფრაქციის რაოდენობაზე, არამედ აგრეთვე დალექვის პროცესის ხანგრძლივობაზე.

დალექვის ენერგეტიკული ჰიპოთეზა. დალექვის ენერგეტიკული ჰიპოთეზა ჩამოაყალიბა მაიერმა, რომლის მიხედვით დალექვის პროცესში მასალის ფრაქციებად დაყოფა განპირობებულია მარცვალთა პოტენციალური ენერგიების სხვადასხვაობით.

დავუშვათ, დასალექი მასალა შედგება P_1 წონის მსუბუქი და P_2 წონის მძიმე მინერალების ნარევისაგან. ნარევის საერთო სიმაღლე აღვნიშნოთ $h_1 + h_2$, h_1 და h_2 მსუბუქი და მძიმე ფრაქციათა შრეების სისქეა. (ნახ. 4.6)



ნახ. 4.6 დალექვის პროცესში მასალის განშრევების სქემა.

1- განშრევებამდე 2- განშრევებული

დალექვის პროცესში წარმოებს მასალის განშრევება ფრაქციებად. განშრევებამდე მასალის პოტენციალური ენერგია ტოლია

$$E_1 = (P_1 + P_2) \frac{h_1 + h_2}{2}$$

განშრევებული მასალის პოტენციალური ენერგია იქნება

$$E_2 = P_1 \frac{h_2}{2} + P_1 (h_2 + \frac{h_1}{2})$$

განშრევებამდე და განშრევების შემდეგ პოტენციალური ენერგიების სხვაობა განსაზღვრავს დაყოფის პროცესს

$$\Delta E = E_1 - E_2 = 0,5 \cdot (P_2 h_1 - P_1 h_2)$$

მაიერის მიხედვით, რაც მეტია მინერალების სიმკვრივეებს შორის სხვაობა, მით მეტია პოტენციალურ

ენერგიათა სხვაობა და უფრო ეფექტურია განშრევება, განხილულ პიპოთეზებიდან პრაქტიკულად ყველაზე მეტი გავრცელება ჰქონა სიჩქარულმა პიპოთეზამ, რომელიც სხვა პიპოთეზებთან შედარებით სრულყოფილად ასახავს დალექვის პროცესს.

5. კლასიფიკაცია

5.1. კლასიფიკაციის პროცესის არსი და მისი გამოყენების სფერო

გამყოფ გარემოში მინერალურ მარცვლათა სიმსხოს მიხედვით დაყოფის პროცესს კლასიფიკაცია ეწოდება. წიაღისეულთა გამდიდრების პრაქტიკაში გამყოფ გარემოდ გამოიყენება წყალი ან ჰაერი, შესაბამისად – კლასიფიკაცია შეიძლება იყოს ჰიდრავლიკური ან პნევმატიკური.

სითხეში მინერალურ მარცვალთა სიმსხოს მიხედვით დაყოფის პროცესს ჰიდრავლიკური კლასიფიკაცია ეწოდება, ხოლო ჰაერის გარემოში – პნევმატიკური.

ჰიდრავლიკური კლასიფიკაციის პროცესში მასალის სიმსხოს მიხედვით დაყოფა განხორციელებულია სითხეში მარცვალთა ვარდნის სიჩქარეების სხვადასხვაობის საფუძველზე, ხოლო პნევმატიკური კლასიფიკაციის პროცესში კი – ჰაერის გარემოში.

კლასიფიკაცია, როგორც მინერალური ნედლეულის გადამუშავების ტექნოლოგიური პროცესი შეიძლება იყოს დამოუკიდებელი, მოსამზადებელი და დამხმარე.

კლასიფიკაცია დამოუკიდებულია, როდესაც დაყოფის პროცესში წარმოადგენენ საბოლოო სასაქონლო პროცესს.

კლასიფიკაციის პროცესი მოსამზადებელია, როდესაც მასალის სიმსხოს მიხედვით მომზადება წარმოებს

გრავიტაციული, ფლოტაციური, ელექტრო მაგნიტური და სხვა გამდიდრების წინ.

კლასიფიკაცია დამხმარეა, როდესაც წარმოებს გამდიდრების პროდუქტების გაუწყლოება, ე. ი. წყლისა და მყარის განცალკევება.

საკლასიფიკაციო მასალის ზომა არ უნდა აღემატებოდეს მაღნების შემთხვევაში 4-6 მმ, ხოლო ნახშირებისათვის 6-13 მმ.

კლასიფიკაციის პროცესში გამოყენებულ აპარატებს კლასიფიკატორები ეწოდება.

კლასიფიკაციის პროცესში ორი პროდუქტი გამოიყოფა: შედარებით მსხვილი ფრაქცია – სილები და წვრილი – გადანადენი.

მამდიდრებულ ფაბრიკებში გამოყენებული კლასიფიკატორები ამა თუ იმ ნიშნის მიხედვით შეგვიძლია დავყოთ შემდეგ ძირითად ჯგუფებად:

1. გამყოფი გარემოს სახეობის მიხედვით:
 - ა. ჰიდრავლიკური
 - ბ. პნევმატიკური
2. გამყოფი გელის სახეობის მიხედვით:
 - ა. გრავიტაციული
 - ბ. ცენტრიდანული
3. გამყოფი პროდუქტების განტვირთვის სახეობის მიხედვით:
 - ა. თვითდინებადი
 - ბ. მექანიკური

კლასიფიკატორების მუშაობა ხასიათდება; გაყოფის ეფექტურობით %; გადანადენში მზა კლასის (0.074 მმ) შემცველობით %; გადანადენში მყარის შემცველობით გრ/ლ; კუთრი წარმადობით $\text{მ}^3/\text{სთ.მ}^2$; და სხვა მაჩვენებლებით.

5.2 სედიმენტაცია

სედიმენტაცია (ლათ. დალექტა) – წმინდადისპერსიული მასალის სიმსხოს განსაზღვრის ანალიზის მეთოდია. სედიმენტაციური ანალიზისათვის გამოიყენება საბანინის ხელსაწყო (ნახ. 5.1)

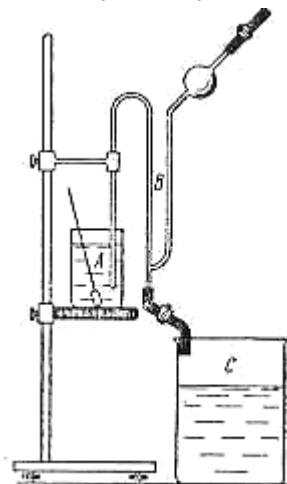
დაგრადუირებულ ჭურჭელში მოათავსებენ გამოსაკვლევ მასალას წყალთან ერთად განზავებით 1:10 ან 1:15, რომელშიც ჩაშვებულია სიფონი განსაზღვრულ სიმაღლეზე.

სტოქსის ფორმულით განისაზღვრება სხვადასხვა ზომის მარცვლების თავისუფალი ვარდნის სიჩქარეები

$$V_0 = 545d^2(\delta - 1)$$

შემდეგ თითოეული $d_1, d_2 \dots d_n$ ზომის მარცვლებისათვის გამოითვლება დალექტის ხანგრძლივობა.

$$t_1 = h/V_1, \quad t_2 = h/V_2, \quad t_3 = h/V_3.$$



ნახ. 5.1. საბანინის ხელსაწყო.

t_1, t_2, t_3 და ა. შ. განსაზღვრული დროის შემდეგ h სიღრმიდან გადმოისხმება პულპა, რომელიც ცალ-ცალკე გამოშრება, აიწონება და განისაზღვრება ცალკეული კლასის % რაოდენობა.

5.3. გრავიტაციული ველით გამყოფი ჰიდრავლიკური კლასიფიკატორები.

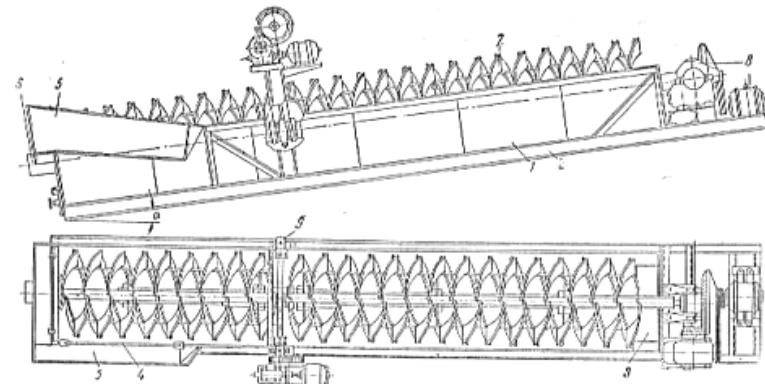
გრავიტაციული ველით გამყოფი ჰიდრავლიკური კლასიფიკატორები სილების განტვირთვის მიხედვით ორი სახისაა:

1. მექანიკური განტვირთვის (სპირალური, საფხეკებიანი, ფიალიანი, ლარტყებიანი, ელევატორული (ბაგერ-ზუმფი), და რადიალური შემსქელებელი);

2. თვითდინებითი განტვირთვის სხვადასხვა კონსტრუქციის მექანიკური სალექარები (კონუსური, პირამიდალური, ერთკამერიანი და მრავალკამერიანი).

გრავიტაციული ველით გამყოფ ჰიდრავლიკურ კლასიფიკატორებში მიწერალურ მარცვალთა სიმსხოს მიხედვით დაყოფა განხორციელებულია წყალში სიმძიმის ძალის მოქმედებით. მსხვილმარცვლოვანი მასალა (სილები) დაილექტა, ხოლო ატივტივებული წვრილმარცვლოვანი მასალა ნაკადით გადაიტანება გადანადენში. გრავიტაციულ კლასიფიკატორებში დაყოფის ეფექტურობა მცირეა და შეადგენს 35-65 %. მრავალი კონსტრუქციის გრავიტაციული კლასიფიკატორებიდან საწარმოო მნიშვნელობა შეინარჩუნა სპირალურმა, კონუსურმა და მრავალკამერიანმა ჰიდრავლიკურმა, კლასიფიკატორებმა, რომლებიც გამოირჩევა კონსტრუქციის სიმარტივით და დიდი წარმადობით. დანარჩენი ტიპის კლასიფიკატორები შემორჩენილია ძველ და არარეკონსტრირებულ მამდიდრებელ ფაბრიკებში.

სპირალური კლასიფიკატორი (სურ. 5.2) წარმოადგენს 12-18⁰ გუთხით დახრილ ნახევრად ცილინდრული ფორმის ვარცლს, რომლის ცენტრალურ ნაწილში მოთავსებულია ლილვი. მასზე დამაგრებულია რამდენიმე სექციისაგან შემდგარი სპირალი. მუშაობის პრინციპი შემდეგში მდგომარეობს:



ნახ. 5.2. სპირალური კლასიფიკატორი 1-KCH

1—კლასიფიკატორის კორპუსი; 2—სპირალი; 3—სილების განმტკირთი ღარი; 4—გადანადგის ზღურბლი; 5—სპირალის ამწე მექანიზმი.

კლასიფიკატორს საკლასიფიკაციო მასალა წყალთან ერთად მიეწოდება მისი სიგრძის $1/3$ ნაწილზე. სპირალის ბრუნვის შედეგად საკლასიფიკაციო ზონაში წარმოიქმნება აღმავალი ჭავლი, რომლის საშუალებით წარმოებს მასალის სიშესხვის მიხედვით დაყოფა. წვრილი მარცვლები, რომელთა შეზღუდული ვარდნის სიჩქარე ნაკლებია კლასიფიკატორში წარმოქმნილი აღმავალი ჭავლის სიჩქარეზე, ატივტივდება და კლასიფიკატორიდან გამოიყოფა გადანადენის სახით, ხოლო მძიმე მარცვლები, რომელთა შეზღუდული ვარდნის სიჩქარე მეტია კლასიფიკატორში წარმოქმნილი აღმავალი ჭავლის სიჩქარეზე, დაილექტბა კლასიფიკატორის ვარცლში და სპირალების ბრუნვის შედეგად გადაადგილდება ზედა განმტკირთი თავისკენ. სპირალური კლასიფიკატორები შეიძლება იყოს ერთი ან ორ სპირალიანი. სახეობის მიხედვით გამოყოფენ ჩაყვინთულ და ჩაუყვინთავ სპირალიან კლასიფიკატორებს. ჩაყვინთულ სპირალიანი კლასიფიკატორი გამოიყენება იმ შემთხვევაში, თუ საჭიროა, მიღებულ იქნას გადანადენი, წმინდა კლასის (-0.074 მმ) დიდი შემცველობით.

ჩაუყვინთავი სპირალიანი კლასიფიკატორები გამოიყენება უხეში კლასიფიკაციისათვის და გაუწყლოების პროცესში.

სპირალური კლასიფიკატორების მწარმოებლობა გადანადენის მიხედვით იანგარიშება შემდეგი ემპირიული ფორმულით:

$$\text{ჩაყვინთულ } \text{სპირალიანის \ } Q = m k_1 k_2 (75D^2 + 10D) \text{ ტ დღ}$$

ჩაუყვინთავ სპირალიანის

$$Q = m k_1 k_2 (94D^2 + 16D) \text{ ტ დღ}$$

სადაც

Q – გადანადენში გადასული მყარი მასალის წონითი რაოდენობაა m - სპირალების რიცხვია. $m = 1$ ან 2 -ს.

K_1 - საკლასიფიკაციო მასალის სიმკვრივის შემასწორებელი კოეფიციენტია

$$K_1 = 1 + 0.005(\delta - 2700)$$

K_2 – გადანადენში 0.074 მმ-ანი კლასის შემცველობის შემასწორებელი კოეფიციენტია

$K_2 = 1.41 + 0.025(65 - \beta 74)$ ჩაუყვინთავ სპირალიანი კლასიფიკატორებისათვის, ხოლო ჩაყვინთულ სპირალიანი კლასიფიკატორებისათვის $K_2 = 0.054(101.8 - \beta 74)$

D – კლასიფიკატორის სპირალის დიამეტრია, მ;

$\beta 74$ – გადანადენში საანგარიშო კლასის შემცველობაა, %-;

δ – საკლასიფიკაციო მასალის სიმკრივეა, $\text{კგ}/\text{მ}^3$

თუ ცნობილია გადანადენში გადასული მყარი მასალის წონითი რაოდენობა, შეგვიძლია ვიანგარიშოთ კლასიფიკატორის დიამეტრი.

– ჩაყვინთულისათვის:

$$D = \left[0,115 \sqrt{\frac{Q}{m k_1 k_2}} - 0,07 \right] \text{ მ}$$

ჩაუყვინთავისათვის:

$$D = \left[0,103 \sqrt{\frac{Q}{mk_1 k_2}} - 0,08 \right] \partial$$

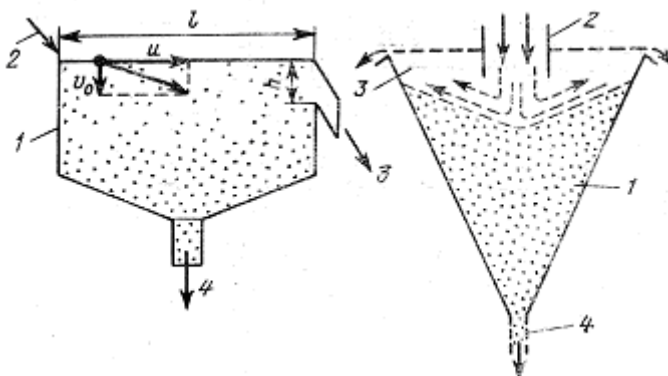
კლასიფიკატორის მწარმოებლობა სილების მიხედვით
იანგარიშება ფორმულით

$$Q = 135 \text{ mm } D^3 \text{ K1 } \text{ ტ/დღ.}$$

სადაც

1 - სპირალის ბრუნთა რიცხვია, ბრ/წთ.

მექანიკური სალექარები სხვადასხვა კონსტრუქციისაა,
(ნახ. 5.3) მზადდება ერთი ან მრავალ სექციური.



ნახ.5.3 ჰორიზონტალურ ნაკადიანი ჰიდრაულიკური

კლასიფიკატორების სქემა

1-კორპუსი; 2-კვება; 3-გადანადენი; 4-სილები.

აღნიშნული კონსტრუქციის კლასიფიკატორებში პულპის ნაკადი მოძრაობს ჰორიზონტალურად, რაც წარმოადგენს მათ საერთო თვისებას.

სალექარის სიგრძე განისაზღვრება შემდეგი
ფორმულით:

$$L = \frac{Q}{B(V_0 - U)} \partial$$

სადაც Q – პულპის რაოდენობა, მ3/წმ;

B - კლასიფიკატორის სიგანე, მ-ში;

V_0 - მარცვლების ვარდნის სიჩქარე, მ/წმ;

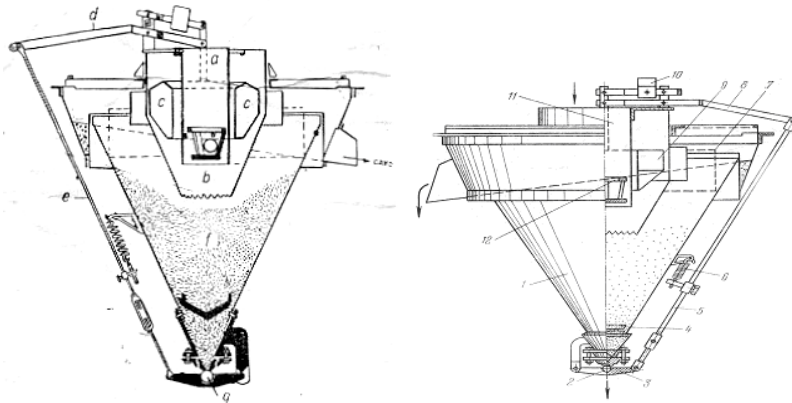
U - აღმაგალი ნაკადის სიჩქარე, მ/წმ.

$$U = 0,0782 \frac{V}{H}$$

V - პულპის მოძრაობის სიჩქარე, მ/.

ნებისმიერი კონსტრუქციის სალექარები დაბალი უზექტურობის გამო გამოიყენება მხოლოდ გაუწყლოებისა ან გაუშლამების პროცესში.

გრავიტაციული გამდიდრების პრაქტიკაში კლასიფიკაციის პროცესში აღნიშნული ტიპის კლასიფიკატორებიდან უფრო გავრცელებულია სილის KK II (ნახ.5.4.) და შლამის KKIII (ნახ.5.5) ტიპის კონუსური კლასიფიკატორები

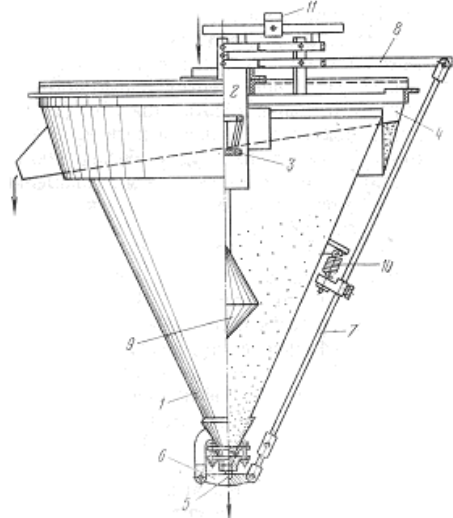


ნახ.5.4. კონუსური კლასიფიკატორი KKII

1—კორპუსი; 2—ბურთულას სარქელი; 3,5,8—დამჭიმი ბერკეტი;

4—დიაფრაგმა; 6—ზამბარა; 7—რედუქციული რგოლი; 9—ტივტივა;

10—საპირწონე; 11—ჩამტვირთი მილი; 12—გამანაწილებელი.



ნახ.5.5 შლამის კონუსური კლასიფიკატორი KKS

1—კორპუსი; 2—ჩამტვირთი მილი; 3—გამანაწილებელი; 4—გადნადენის რგოლური ლარი; 5—ბურთულას სარქველი; 6,7,8—დამჭიმი ბერკეტი; 9—ტივტივა; 10—ზამბარა; 11—საპირწონე.

5.4 ცენტრიდანული ველით გამყოფი პიდრავლიკური კლასიფიკატორები

ცენტრიდანული ველით გამყოფი კლასიფიკატორებს მიეკუთვნება: პიდროციკლონები და ცენტრიდანული, რომლებმიდაც გრავიტაციული აჩქარების ნაცვლად წარმოიქმნება ცენტრიდანული აჩქარება $\frac{V^2}{R} = \omega^2 R$, რომლის საშუალებით განხორციელებულია მინერალურ მარცვალთა სიმსხოს მიხედვით დაყოფა. ცენტრიდანული და გრავიტაციულ აჩქარებათა ფარდობას უწოდებენ დაყოფის ფაქტორს F და

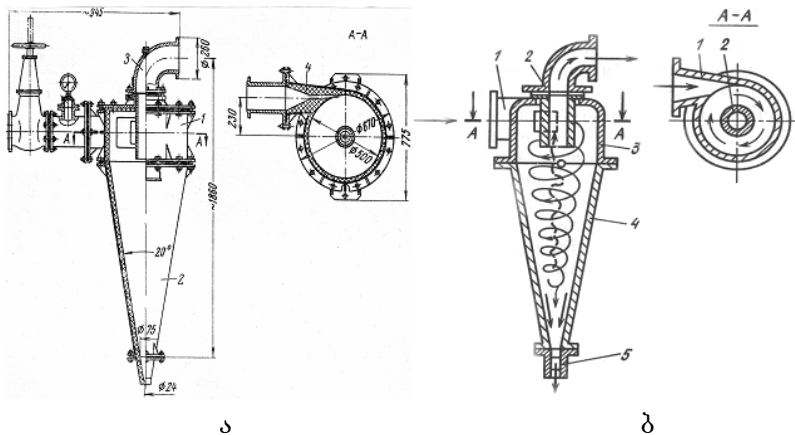
$$F = \frac{V^2}{Rg} = \left(\frac{\pi Rn}{30} \right)^2$$

ჰიდროციკლონი (ნახ.5.6.) შედგება ცილინდრული და კონუსური ნაწილისაგან.

ცილინდრულ ნაწილში ტანგეციალურად მიერთებულია მკებავი მილი, რომელსაც პულპა მიეწოდება $0.03-0.25$ მპა წნევით. პულპის მოძრაობის სიჩქარის გაზრდის მიზნით მკებავი მილი შეერთების ადგილას შევიწროებულია. ცილინდრულ ნაწილში პულპა მოძრაობს რთულ ტრაექტორიაზე, ამ დროს წარმოქმნილი ცენტრიდანული ძალით განხორციელებულია მასალის სიშსხოს მიხედვით დაყოფა. მსხვილი მარცვლები, რომელთა მიერ განვითარებული ცენტრიდანული ძალა დიდია, გაიტყორცნება პერიფერიისაკენ და კონუსის ქვედა ნაწილიდან განიტვირთება. ხოლო წვრილი მარცვლები თავს იყრის ცენტრალურ ნაწილში და განიტვირთება გადანადენის მიღყელიდან (ნახ.5.6. ბ) მამდიდრებელ ფაბრიკებში ჰიდროციკლონები გამოიყენება კლასიფიკაცია-დემლამაცია-გაუწყლოებისათვის.

ჰიდროციკლონების ცილინდრული ნაწილის დიამეტრი და მიწოდებული პულპის წნევა დამოკიდებულია მის დანიშნულებაზე. დემლამაცია-გაუწყლოებისათვის გამოიყენება ჰიდროციკლონები დაამეტრით $150 - 500$ მმ, ხოლო მიწოდებული პულპის წნევა ცვალებადობს 0.15 -დან 0.25 მპა.

კლასიფიკაციისათვის გამოიყენებულ ჰიდროციკლონებში მიწოდებული პულპის წნევა ცვალებადობს $0.03 - 0.1$ მპა-მდე, ხოლო ჰიდროციკლონის დიამეტრი $350-1000$ მმ-დე.



ნახ.5.6. ა-ჰიდროციკლონის საერთო ზედი. ბ-მუშაობის სქემა.

ა) 1-ცილინდრული ნაწილი; 2-კონუსური ნაწილი; 3-გადანადენის მილყელი; ბ) 1-ძველავი მილი; 2-გადანადენის მილყელი; 3,4-კორპუსი; 5-სილების ნაცმი.

ჰიდროციკლონების მოცულობითი მწარმოებლობა

$$V = 0..93 \cdot 10^4 K_\alpha K_D K_b K_3 \sqrt{10H} \text{ მ}^3/\text{სთ}$$

სადაც

K_D -ჰიდროციკლონის დიამეტრის შემასწორებელი კოეფიციენტია

როდესაც D 0.15; 0.25; 0.35; 0.5; 0.7; 1; 1.4; 2.

K_D 1.28; 1.14; 1.06; 1; 0.95; 0.91; 0.88; 0.86.

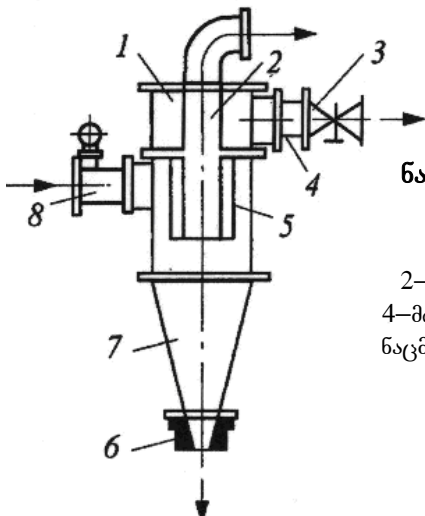
K_α -კონუსურობის შემასწორებელი კოეფიციენტია, $\alpha=20^\circ$, $K_\alpha = 1$

$d_{გვ}, d_{გა}$ - ძველავი და გადანადენი მილის დიამეტრია სმ-ში. $d_{გვ}=(0.08 \div 0.25)$ დ; $d_{გა}=(0.7 \div 0.4)$ დ; $d_{ხილ}= (0.15 \div 0.8)$

$d_{გა}$

g - თავისუფალი ვარდნის აჩქარებაა $g = 9,81 \text{ მ}/\text{წ}^2$
H-მიწოდებული პულპის წნევაა მ.პა

გამამდიდრებელ ფაბრიკებში გამოყენებული
ჰიდროციკლონები რამდენიმე სახისაა: ორპროდუქტიანი,
სამპროდუქტიანი, შეწყვილებული, ცილინდრულ-კონუსური
ჰიდროციკლონები და ტურბო ციკლონები.(ნახ. 5.7.)



ნახ. 5.7. სამპროდუქტიანი ჰიდროციკლონი

1—ცილინდრული ნაწილი;
2—გადანადენის ნაცმი; 3—ქურო;
4—მილი; 5—შუალედური ფრაქციის
ნაცმი; 6—სილის ნაცმი; 7—კონუსი;
8—მკვებავი მილყელი.

გამამდიდრებელ ფაბრიკებში ძირითადად გამოიყენება ორპროდუქტიანი ჰიდროციკლონები კონუსურობის კუთხით $\alpha = 10 - 140^{\circ}$. ასეთი ჰიდროციკლონები იდგმება როგორც ცალკე, ასევე ბატარეის სახით.

ჰიდროციკლონების ბატარეა გამოიყენება იმ შემთხვევაში, როდესაც მიწოდებული პულპის დებიტი დიდია.

ბატარეაში ჰიდროციკლონები შეიძლება ჩართული იყოს, როგორც მიმდევრობით, ისე პარალელურად. პარალელურად ჩართვის დროს წრიულად განლაგებულ ჰიდროციკლონებს პულპა მიეწოდება ერთი საერთო გამანაწილებელი მილის საშუალებით. ამ შემთხვევაში თითოეული ჰიდროციკლონის დიამეტრი ტოლია და პულპა მიეწოდება ერთანაირი წნევით.

როცა საჭიროა მოიღებულ იქნას სუფთა გადანადენი, აწარმოებენ ჰიდროციკლონების მიმდევრობით ჩართვას. ასეთი ჩართვის დროს პირველი საფეხურის ჰიდროციკლონისაგან

მიღებული გადანადენი მიეწოდება უფრო მცირე დიამეტრის მეორე პილოციკლონს.

ჰიდროციკლონის გადანადენში გადასული მარცვლის
ნომინალური ზომა

$$d_6 = 15 \sqrt{\frac{Dd_3\beta}{KDd_1\sqrt{H}(\delta-1)}}$$

სადაც

▫ ჰიდროციკლონის დიამეტრია, მ,

d_1, d_3 — სილებისა და გადანადენის ნაცმის

დიამეტრი, მ,

β — მყარის შემცველობა კვებაში, %,

δ — მყარის სიმკვრივე, ტ/მ³.

ჰიდროციკლონის ცილინდრული ნაწილის დიამეტრი

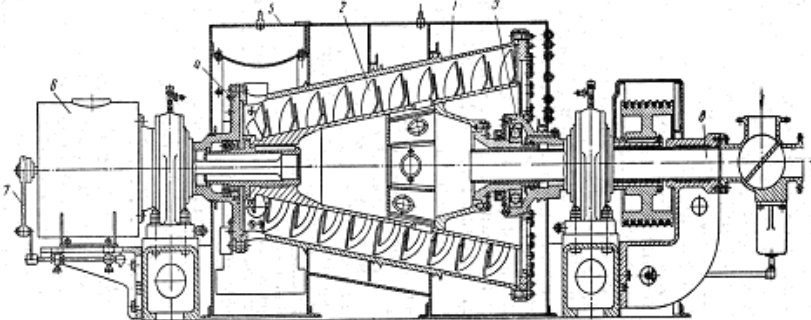
$$D = \frac{0,01 \left(\frac{d_{\text{სილ}}}{d_{\text{გად}}} \right) \sqrt{H_u} (\rho - \rho_0) (d_{\text{ას}})^2}{T_u}$$

სადაც d_1, d_3 — ჰიდროციკლონის სილების და გადანადენის ნომინალური მარცვლის ზომათა ფარდობა აიღება 0,3–0,6-ის ტოლი.

ცენტრიფუგები (ნახ. 5.8) ფართოდ გამოიყენება გამამდიდრებულ ფაბრიკებში მასალის კლასიფიკაცია — გაუწყლოებისათვის. იგი შედგება კონუსური ფორმის მქონე როტორისაგან, რომლის შიგნითაც მოთავსებულია შეკვეთის მარტინი. როტორი და შეკვეთი ბრუნავს ერთი და იგივე მიმართულებით, მაგრამ ბრუნვის სიჩქარე რამდენადმე ჩამორჩება როტორის ბრუნვის სიჩქარეს. როტორის ღრუ კონუსურ ნაწილში მოთავსებულია წრიული ფანჯრები. საკვალიფიკაციო პულპა ცენტრიფუგას მიეწოდება ცენტრალური მილის საშუალებით.

როტორის მიერ განვითარებული ცენტრიდანული ძალის საშუალებით პულპა გაიტყორცნება პერიფერიისაკენ. როტორის

შიგა ზედაპირზე დალექილი მასალა შნეკის საშუალებით განიტვირთება სპეციალური ფანჯრიდან.



ნახ.5.8. დამლექი ცენტრიფუგა.

1—კონუსური როტორი; 2—შეცეკი; 3,4—პოჭოჭიკი; 5—კორპუსი;
6—პლანეტარული რედუქტორი; 7—ძველავი მილი.

კლასიფიკაციის პროცესის ეფექტურობა შეიძლება განისაზღვროს შემდეგი ფორმულით

$$E = \frac{10000(\beta - \alpha)(\alpha - \theta)}{\alpha(100 - \alpha)(\beta - \theta)} \%$$

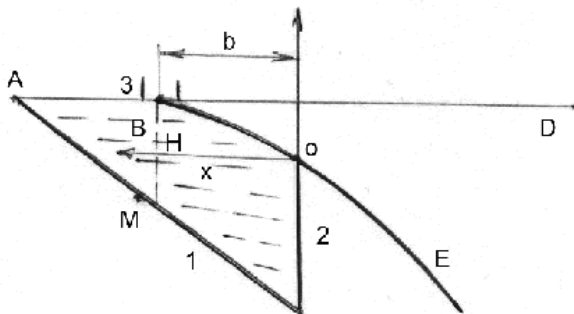
სადაც α, β და θ — საანგარიშო კლასის (-74 მკმ) შეცველობაა საწყის მასალაში, გადანადენში და სილებში.

მექანიკური კლასიფიკარორების ეფექტურობა საშუალოდ $43 \div 45\%-ია.$

5.5. კლასიფიკატორის გადანადენში მასალის სიმსხოს განსაზღვრა

კლასიფიკატორში მასალის სიმსხოს მიხედვით დაყოფის პროცესი შეგვიძლია წარმოვადგინოთ შემდეგი სახით (ნახ.5.9.). მასალა B წერტილიდან O-საკენ მოძრაობს, პორიზონტალური და ასევე ვერტიკალური ცვალებადი სიდიდის სიჩქარით, რაც განპირობებულია სითხის დაწნევით. ამ ორი სიჩქარის ტოლქმედი მიმართულია პორიზონტისადმი

განსაზღვრული კუთხით. მარცვლები, რომელთა ზომა რამდენიმე მიკრონს არ აღემატება, არ იძირება პულპაში და მოძრაობები პულპის სარკისებური ზედაპირის AD სიახლოვეს BOE ტრაექტორით. დიდი ზომის მარცვლები სწრაფად იძირება პულპაში MB ტრაექტორით. შუალედი ზომის მარცვლების მოძრაობის ტრაექტორია გამოისახება BO მრუდით, რომელიც პულპას ყოფს ორ ნაწილად, მარცვლები, რომელთა მოძრაობის ტრაექტორია მოთავსებულია BO მრუდის ზემოთ, გადადიან გადანადენში, ხოლო მარცვლები, რომელთა მოძრაობის ტრაექტორია მოთავსებულია BO-ს ქვემოთ, ილექტა კლასიფიკატორში და წარმოადგენს სილის ფრაქციას.



ნახ.5.9 კლასიფიკატორიდან პულპის გადანადენის სქემა.

- 1— კლასიფიკატორის ვარცლი, 2— გადანადენის ზღურბლი,
- 3— პულპის მიწოდებელი მილი.

გადანადენში მარცვლის სიმსხოს განსაზღვრისათვის საჭიროა შემოვილოთ შემდეგი დაშვებები:

- 1) მასალის მოძრაობის ჰორიზონტალური სიჩქარე გავუტოლოთ პულპის მოძრაობის ჰორიზონტალურ სიჩქარეს.
- 2) მარცვლის მოძრაობის ვერტიკალური სიჩქარე მივიღოთ ტოლი ამავე მარცვლების შეზღუდული ვარდნის სიჩქარისა, რომელიც დამოკიდებულია მარცვლების ზომაზე და მყარის პროცენტულ შემცველობაზე. გაანგარიშება წარმოებს შემდეგი თანმიმდევრობით:

1) განისაზღვრება პულპის ხვედრითი დებიტი

$$q = \frac{V}{B}$$

V – პულპის დებიტია, $\text{მ}^3/\text{წ}\cdot\text{მ};$

B – კლასიფიკატორის სიგანეა, $\text{მ}.$

2) გამოითვლება პულპის ნაკადის პორიზონტალური სიჩქარე

$$V = \frac{q}{0,85H}$$

3) იანგარიშება კლასიფიკატორში სითხის დაწინევა.

$$H = 0,6 \sqrt[3]{q^2}$$

4) განისაზღვრება დრო, რომელიც საჭიროა მასალის B -დან 0 -მდე გადაადგილებისათვის

$$t = \frac{b}{V}$$

5) განისაზღვრული t დრო გაუტოლდება იმ დროს, რომელიც საჭიროა მასალის B -დან 0 -მდე ჩამირვისათვის და შესაბამისად განისაზღვრება შეზღუდული ვარდნის სიჩქარე

$$\omega_{\text{შებ}} = \frac{H}{t}$$

6) შეზღუდული ვარდნის სიჩქარის მიხედვით განისაზღვრება თავისუფალი ვარდნის სიჩქარე

$$\omega_{\text{შებ}} = \omega_{\text{შებ}} - \left(1 - \frac{T}{T_{\text{შებ}}} \right)$$

$$\omega_{\text{თავ}} = \frac{\omega_{\text{შებ}}}{1 - \frac{T}{T_{\text{შებ}}}}$$

T – მყარის პროცენტული შემცველობაა პულპაში.

$T_{\text{შებ}}$ – მყარის ზღვრული პროცენტული შემცველობაა პულპის კუბური ფორმის ნაწილში.

$$T_{\text{ჯ}^3} = \frac{100 \cdot \delta}{(\delta - 1) + \frac{6}{\pi}}$$

δ- მყარი მასალის სიმკვრივეა ტ/მ³

კლასიფიკატორის გადანადენში გადასული მყარი მასალის სიმსხო განისაზღვრება ფორმულით:

$$d = \sqrt{\frac{\omega_{\text{თაგ}}}{5450 (\delta - 1)}}$$

5.6. პნევმატიკური კლასიფიკაცია

ჰაერის გარემოში მინერალურ მარცვალთა სიმსხოს მიხედვით დაყოფას, პნევმატიკური კლასიფიკაცია ანუ ასპირაცია ეწოდება.

პნევმატიკური კლასიფიკაცია გამოიყენება არატენტეგადი წიაღისეულის მშრალი წესით გამდიდრების დროს, ან როდესაც წიაღისეული უნდა გამდიდრდეს მხოლოდ მშრალი წესით, რადგან დასველება ცვლის მინერალების ფიზიკო-ქიმიურ თვისებებს.

პნევმატიკური კლასიფიკაციის პროცესში მინერალების სიმსხოს მიხედვით დაყოფა განხორციელებულია გრავიტაციულ ან ცენტრიდანული ველით.

გრავიტაციული ველით დამყოფი კლასიფიკატორები მუშაობენ ჰაერის ნაკადის მიწოდების ჰორიზონტალური, ვერტიკალური და კომბინირებული პრინციპით.

ცენტრიდანული კლასიფიკატორის (ნახ. 5.10.) კორპუსის (1) ცილინდრული ნაწილი ბოლოვდება კონუსური კამერით(8), საიდანაც განიტვირთება მტგერი.

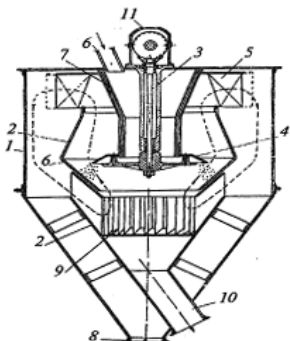
ნახ. 5.10. ცენტრიდანული

კლასიფიკატორი.

1,2 – გარე და შიგა კორპუსი;

3–ლილვი; 4–დისკი; 5–

ცენტრილიატორის ბორბალი; 6–მიმღები
ლარი; 7–მიმღები ძაბრი; 8–მტკერის
განმტვირთი ხვრელი; 9–ჟალუზი; 10–
კლასიფიცირებული მასალის
განმტვირთი ხვრელი; 11–ამძრავი.



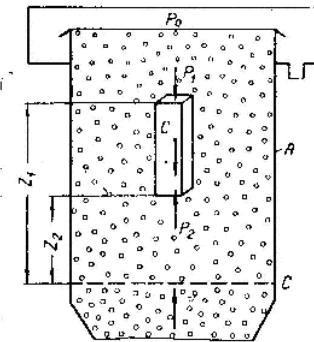
კორპუსის შინით მოთავსებულია ორმაგი კონუსური კამერა (2). კორპუსის ზედა ნაწილში ჰაერის ნაკადის წარმოსაქმნელად დამონტაჟებულია ცენტრილატორის მუშა თვალი (5), კონუსური კამერის შიგნით დამონტაჟებულია ლილვი (3), რომელზედაც დამაგრებულია დისკო (4). საკლასიფიკაციო მასალა ღარის (6) და ძაბრის (7) საშუალებით მიეწოდება მბრუნავ დისკოს. მასალა ცენტრიდანული ძალით გაიტყორცნება ჰერიფერიაზე. მსხვილმარცვლოვანი მასალა კორპუსზე დაჯახების შემდეგ ჩაცურდება განმტვირთ კამერაში (10), ხოლო წვრილმარცვლოვანი მასალა, რომელთა ვარდნის სიჩქარე ნაკლებია ჰაერის აღმავალი ჭავლის სიჩქარეზე, წარიტაცება ჰაერის ნაკადის მიერ და განიტვირთება მტკერის სახით.

6. მძიმე გარემოში გამდიდრება

6.1. მძიმე გარემოში გამდიდრების არსი და გამოყენების სფერო

მძიმე გარემოში მინერალურ მარცვალთა სიმკვრივეების მიხედვით ფრაქციებად დაყოფის პროცესს – მძიმე გარემოში გამდიდრება ეწოდება. თუ სხვადასხვა სიმკვრივის მარცვალთა ნარევს მოვათავსებთ გარემოში, რომლის სიმკვრივეს უკავია შუალედი მდგომარეობა მსუბუქ და მძიმე მინერალთა შორის, მაშინ იწარმოებს მოცემული ნარევის დაყოფა შემადგენელ კომპონენტებად, მინერალები, რომელთა კუთრი წონა აღემატება მძიმე გარემოს სიმკვრივეს, ჩაიძირება, ხოლო უფრო მსუბუქი—ატივტივდება. მძიმე გარემოდ გამოყენებულია: ერთგაროვანი ორგანული სითხეები, მძიმე ლითონის მარილთა წყალხსნარები და მძიმე სუსპენზიები.

დამამძიმებლის მოცულობითი კონცენტრაცია სუსპენზიაში არ უნდა აღემატებოდეს 40-42%-ს. მეტი კონცენტრაციის შემთხვევაში სუსპენზის სიბლანტე მკვეთრად მატულობს და ტექნოლოგიური პროცესებისათვის გამოუსადეგარი ხდება. სუსპენზიაში შეიძლება გავამდიდროთ მხოლოდ მსხვილმარცვლოვანი მასალა. მაღნების–5-შე-ზე უფრო მსხვილი კლასი, ნახშირები–10 მმ-ზე უფრო მსხვილი კლასი, ცენტრიდანული ველის გამოყენება საშუალებას გვაძლევს, შევამციროთ გასამდიდრებელი მასალის ქვედა ზღვარი. მძიმე სუსპენზიაში მინერალთა დაყოფის არსი განისაზღვრება სითხის ჰიდროდინამიკური წონასწორობის პირობიდან (ნახ.6.1.)



ნახ. 6.1. სითხეში მყარი სხეულის პიდროდინამიკური წონასწორობა

დავუშვათ, მიღვ ქვემოდან ეწოდება სითხე V სიჩქარით, თუ აღმავალი ნაკადის V სიჩქარე მეტია სითხეში მოთავსებული მყარი მარცვლების ვარდნის სიჩქარეზე, ამ შემთხვევაში მყარი ნაწილაკები იქნებიან შეტივტივებულ მდგომარეობაში. მყარი მასალის დიდი მოცულბითი კონცენტრაციის დროს შეგვიძლია მივიღოთ, რომ სითხე ერთგვაროვანია და მარცვლებიც მოძრაობენ იგივე V სიჩქარით. ერთგვაროვანი სითხეებისათვის სამართლიანია ბერნულის განტოლება.

$$\frac{P}{\gamma} + Z + \frac{V^2}{2g} = const$$

სადაც $\frac{P}{\gamma}$ - ნაკადის პიეზომეტრული სიმაღლეა. გამოსახავს გარკვეული სიმაღლის ნაკადის დაწნევის ძალას;

Z -z. სიმაღლეზე მყოფი სხეულის პოტენციალური ენერგიაა;

$$\frac{V^2}{2g} - V \quad \text{სიჩქარით} \quad \text{მოძრავი} \quad \text{ნაკადის} \quad \text{კინეტიკური}$$

ენერგიაა.

თუ მივიღებთ, რომ ნაკადის მოძრაობის სიჩქარე
მუდმოვია $V = \text{const}$, მაშინ გამოსახულება $\frac{V^2}{2g} = \text{const}$ და

$$\text{შესაბამისად } \frac{P}{\gamma} + Z = \text{const}$$

ამრიგად, მუდმივი სიჩქარის მქონე დამყარებული ნაკადის დინამიური წონასწორობა ტოლფასოვანია მშვიდი არის დინამიური წონასწორობისა.

სუსპენზიის მოცულობაში პირობითად გამოვყოთ ერთეულოვანი ფართის მქონე პრიზმა, რომლის განივი კვეთი $F=1$; გამოყოფილ პრიზმაზე ყოველი მხრიდან მოქმედებს სითხის წნევა. ძალები, რომლებიც მოქმედებენ პრიზმის ღრძის პერპენდიკულარულად, ერთმანეთს აბათილებს. პრიზმის მოძრაობა განპირობებულია 1 და 2 ძალების ტოლქმედით, რომელიც მათი სხვაობის ტოლია. რადგანაც სითხე წარმოადგენს დამყარებულ ნაკადს, შეგვიძლია დავწეროთ

$$\frac{P_1}{\gamma} + Z_1 = \text{const}$$

$$\frac{P_2}{\gamma} + Z_2 = \text{const}$$

$$\text{ამრიგად } \frac{P_1}{\gamma} + Z_1 = \frac{P_2}{\gamma} + Z_2$$

$$a \cdot h = P_2 - P_1 = \gamma (Z_1 - Z_2) = \gamma \cdot h$$

$$h = \text{პრიზმის სიმაღლე}.$$

$$\text{როგორც ვიცით, პრიზმის წონა } G = Y \cdot F \cdot h = Y h$$

ამრიგად, პრიზმაზე მოქმედი ტოლქმედი ძალის მნიშვნელობა პრიზმის წონის ტოლია. ეს უკანასკნელი სამართლიანია დამყარებული ნაკადისათვის. თუ პრიზმაში მოვათავსებთ მყარ სხეულს, რომლის სიმკვრივე ტოლია სუსპენზიის სიმკვრივისა, სხეული იქნება შეტივტივებულ

მდგომარეობაში თუ სხეულის სიმკვრივე $\gamma_1 > \gamma_{\text{სუს}}$ ამ შემთხვევაში სხეულის წონა h ($\gamma_1 - \gamma$) სიდიდით მეტია ტოლქმედი ძალის სიდიდეზე და სხეული იწყებს ჩაძირვას სითხეში, ხოლო, თუ სხეულის სიმკვრივე ნაკლებია სუსპენზიის სიმკვრივეზე, ატივტივდება.

მინერალურ სუსპენზიაში წიაღისეულთა გამდიდრება ხასიათდება მაღალი ეფექტურობით, რაც განპირობებულია იმით, რომ მძიმე გარემოში არქიმედეს კანონის თანახმად ჩაძირული სხეულის წონის დანაკარგი მეტია, ვიდრე წყლის გარემოში, ხოლო ვარდნილი სხეულის სიმძიმის ძალის აჩქარება მცირეა. მძიმე გარემოში გამდიდრების პროცესში გამოყენებულ მოწყობილობას სუსპენზიური სეპარატორი ეწოდება.

6.2 სუსპენზიური სეპარატორები

წიაღისეულთა მძიმე გარემოში გამდიდრების პროცესში გამოიყენება სხვადასხვა კონსტრუქციის სუსპენზიური სეპარატორები.

სუსპენზიური სეპარატორები კონსტრუქციული ნიშნის მიხედვით იყოფა რამდენიმე ჯგუფად.

1. სეპარატორის მდგომარეობის მიხედვით: მოძრავი, უძრავი.

2.აბაზანის ფორმის მიხედვით: პირამიდალური, დოლური, კონუსური, ვარცლისებური.

3.მძიმე ფრაქციის განმტკირთი მოწყობილობის სახეობის მიხედვით: ერლიფტური, შნეკური, ელევატორის თვლიანი.

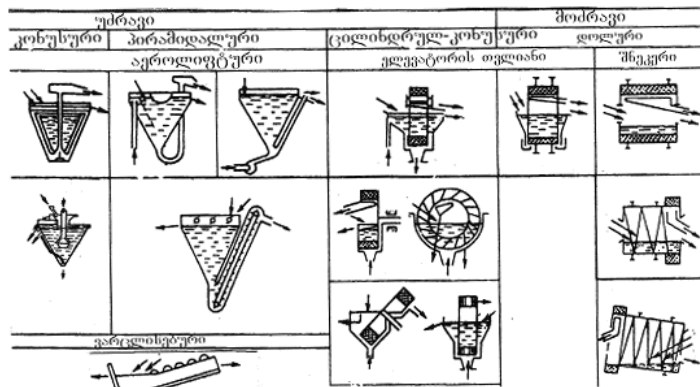
4. აბაზანაში სუსპენზიის მოწოდების მიმართულებით: პორიზონტალური, ვერტიკალური, და კომბინირებული მიწოდების.

5.გამოყოფილი პროდუქტის რაოდენობის მიხედვით: სამ პროდუქტიანი და ორპროდუქტიანი.

6.მინერალურ მარცვალთა გამყოფი ველის მიხედვით: ცენტრიდანული და გრავიტაციული.

სუსპენზიური სეპარატორების კლასიფიკაცია და სქემატური ნახატები მოცემულია ნახ. 6.2.

გრავიტაციული ველით გამყოფ სუსპენზიურ სეპარატორებში გასამდიდრებლი მასალის მაქსიმალური ზომა ნახშირებისათვის 300 მმ-ია, ხოლო მაღნებისათვის—150. ქვედა ზღვარი ნახშირებისათვის 6-10 მმ-ია, ხოლო მაღნებისათვის—3-5 მმ. ნახშირებისა და მაღნების წრილი კლასის გასამდიდრებლად გამოიყენება ცენტრიდანული ველით გამყოფი სუსპენზიური სეპარატორები —ჰიდროციკლონები და ცენტრიფუგები.

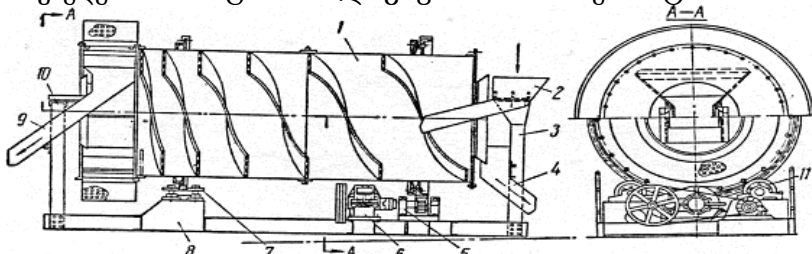


ნახ. 6.2. სუსპენზიური სეპარატორების კლასიფიკაცია

დოლური სუსპენზიური სეპარატორები ორი სახისაა: სპირალური სეპარატორი CBC ტიპის (ნახ. 6.3.) და დოლური სეპარატორი ელევატორული განტვირთვით СБЭ ტიპის. (ნახ. 6.4.)

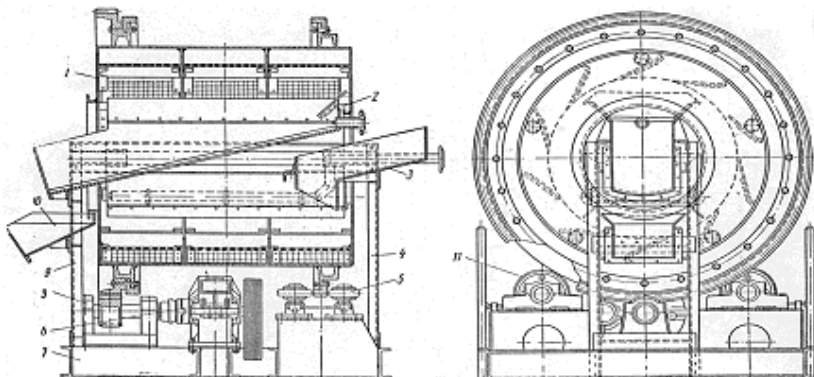
CBC გამოიყენება ფერადი, შავი და არალითონური მაღნების გამდიდრებისათვის: შედგება დოლისაგან (1), რომელიც დამონტაჟებულია საყრდენ გორგოლაჭებზე (7, 11). დოლის შიგნით დამონტაჟებულია სპირალი, რომლის საშუალებითაც წარმოებს მძიმე ფრაქციის გადაადგილება.

გასამდიდრებელი მასალა სეპარატორს მიეწოდება ჩამტვირთი ღარიდან (2). მსუბუქი ფრაქცია სეპარატორიდან განიტვირთება გადანადენის სახით ღარიდან (4). მძიმე ფრაქცია ელევატორის საშუალებით განიტვირთება ღარიდან (9). ღოლი ასრულებს ბრუნვით მოძრაობას. ამძრავი მექანიზმის საშუალებით. სეპარატორის მოქმედების პრინციპი შემდეგში მდგომარეობს: გასამდიდრებელი მასალა სუსპენზიასთან ერთად მიეწოდება სეპარატორს ჩამტვირთი ღარის საშუალებით. მინერალები, რომელთა კუთრი წონაც აღემატება სუსპენზიის კუთრ წონას, ჩაიძირება, ხოლო მინერალები, რომელთა კუთრი წონაც მცირეა სუსპენზიის კუთრ წონაზე, ატივტივდება და განიტვირთება გადანადენის სახით ღარიდან. ჩაიძირული მძიმე ფრაქცია ღოლის შიგა ზედაპირზე დამონტაჟებული სპირალების საშუალებით გადაადგილდება ელევატორამდე, რომლის საშუალებით განიტვირთება ღარიდან. СБС ტიპის ღოლური სეპარატორის მოქმედების პრინციპი ანალოგიურია СБС სეპარატორისა.



ნახ. 6.3. ღოლური სუსპენზიური სეპარატორი СБС

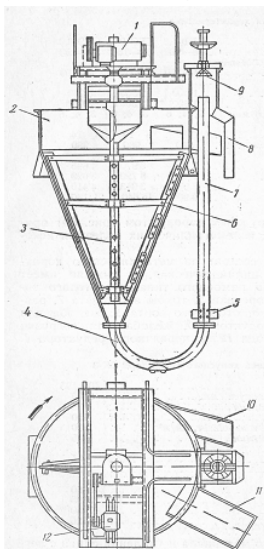
1. ღოლი;
2. ჩამტვირთი ღარი;
- 3, 10 – საყრდენი;
4. მსუბუქი ფრაქციის განმტვირთი ღარი;
5. ქბილანა;
6. ამძრავი;
7. საყრდენი გორგოლაჭი.



ნახ. 6.4 დოლური სუსპენზიური სეპარატორი СБЭ

1. დოლი; 2. მბიძე ფრაქციის განმტვირთი ღარი; 3. ჩამტვირთი ღარი; 4,9. საყრდენები; 5,11 საყრდენი კორგოლაჭები; 6. ამძრავი; 7. სადგარი; 8. კბილანები; 10. მსუბუქი ფრაქციის განმტვირთი ღარი.

კონუსური სეპარატორი СК-3 . გამოიყენება ლითონური და არალითონური მაღალების გასამდიდრებლად. (ნახ. 6.5.)



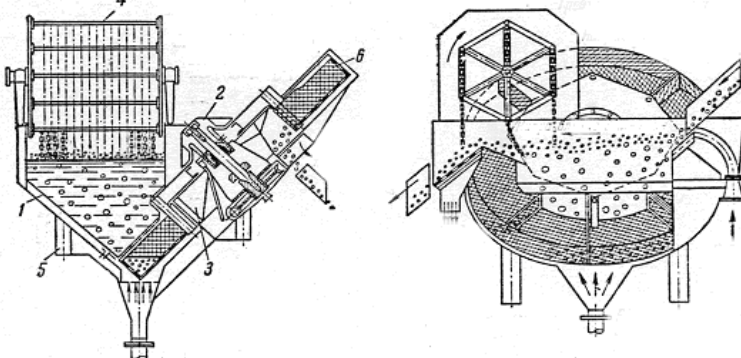
ნახ. 6.5 კონუსური სეპარატორი СК-3

- 1-რედუქტორი; 2-კორპუსი; 3-ლილვი; 4-მუხლა ლილვი; 5-ფრევევანა; 6-ამრევი; 7-ერლიფტის მილი; 8-ერლიფტის განმტვირთი კამერა; 9-ამრევლი ფარი; 10-მსუბუქი ფრაქციის განმტვირთი ღარი; 11-მასალის ჩამტვირთი ღარი; 12-ამძრავი.

სეპარატორის კორპუსი (2) შედგება ცილინდრული და კონუსური ნაწილისაგან. სეპარატორის ცილინდრულ ნაწილში მიეწოდება გასამდიდრებელი მასალა. კონუსურ ნაწილში დამონტაჟებულია

სუსპენზიის ამრევი მექანიზმი (6), რომელიც ასრულებს ბრუნვით მოძრაობას ამძრავი მექანიზმის (12) საშუალებით. სეპარატორიდან მძიმე ფრაქცია განიტვირთება (7) ერლიფტით. ერლიფტი სეპარატორთან დაკავშირებულია მუხლა მიღის (4) საშუალებით. ერლიფტი წარმოადგენს ვერტიკალურ მიღს (7), რომლის ქვედა ბოლოში დამონტაჟებულია მფრქვევანა (5), რომელსაც მიეწოდება შეკუმშული ჰაერი.

ელევატორის თვლიანი სეპარატორი (ნახ. 6.6.) CK ტიპის გამოიყენება ქვანახშირის გასამდიდრებლად. სეპარატორი შედგება პირამიდალური კორპუსისაგან (1), რომელიც დამონტაჟებულია საყრდენებზე. სეპარატორიდან მძიმე ფრაქციის განტვირთვა განხორციელებულია ელევატორული თვალის (3) საშუალებით. მსუბუქი ფრაქცია გამოიყოფა გადანადენის სახით.



ნახ. 6.6 ელევატორის თვლიანი სეპარატორი CK-1

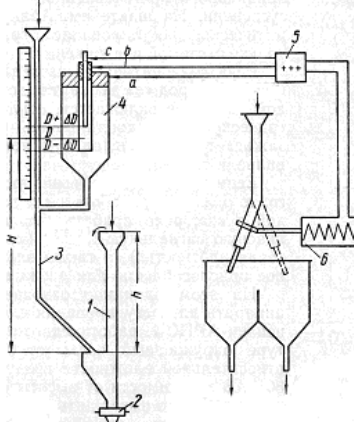
- 1— აბაზანა; 2— თვალის ამძრავი; 3— ელევატორის თვალი;
- 4— მსუბუქი ფრაქციის განმტვირთი მოწყობილობა.

6.3. სუსპენზიის სიმკვრივის ავტომატური რეგულატორი

სასარგებლო წიაღისეულთა მძიმე გარემოში გამდიდრების ეფექტურობა ძირითადად დამოკიდებულია

სუსპენზიის სიმკვრივის მუდმივობაზე, სუსპენზიის სიმკვრივის კონტროლი და რეგულირება განხორციელებულია სხვადასხვა მეთოდით: 1. სუსპენზიის განუწყვეტელი აწონით. 2. არეომეტრიული მეთოდით, 3. ჰიდროსტატიკური მეთოდით, 4. პიეზომეტრული მეთოდით, 5. ელ. მაგნიტური ხერხით, 6. რადიოიზოტოპული გამოსხივებით.

სუსპენზიის სიმკვრივის ავტომატური რეგულატორი (ნახ. 6.7.) შედგება დენსიმეტრისაგან (1), რომელსაც ბოლო ნაწილში უკეთდება ნაციმი (2) მანომეტრისაგან (3), დეტექტორული მილაკისაგან (4), ელექტროგადამწოდისაგან (5) და ელექტრომაგნიტური სისტემისაგან (6).



ნახ.6.7. სიმკრივის ავტომატური რეგულატორის სქემა

სუსპენზიის სიმკვრივის ავტომატური რეგულირების მოქმედების პრინციპი შემდეგში მდგომარეობს. სუსპენზიურ სეპარატორიდან მუშა სუსპენზიის ნაწილი განუწყვეტლივ მიეწოდება ცილინდრულ ჭურჭელს (1), ცილინდრულ ჭურჭელს უკავშირდება მანომეტრის მილი, რომელშიდაც

განუწყვეტლივ მიეწოდება სუფთა წყალი სიმკვრივით 1000 კგ/მ³.

დენსიმეტრში სუსპენზიისა და წყლის სვეტი გაწონასწორებულია ნახაზზე ნაჩვენები H –ის მნიშვნელობის დროს. აღნიშნულ მდგომარეობაში წრედი შეპროცესი გადამწოდის a და b კონტაქტებს შორის. ასეთ შემთხვევაში ანთებულია თეთრი ნათურა, რაც მაჩვენებელია, რომ სუსპენზია კონდიციურია, ხოლო როდესაც მანომეტრის ჩვენება D+ΔD გადამწოდის abc კონტაქტები ჩაირთვება და აინთება წითელი ნათურა, ეს მაჩვენებელია, რომ სუსპენზიის სიმკვრივე კონდიციურ მნიშვნელობას აღემატება. ასეთ შემთხვევაში ჩაირთვება ელ. მაგნიტური სისტემა (6) და წყალი მიეწოდება სუსპენზიის ავზს, ხოლო როდესაც მანომეტრის ჩვენება არის D-ΔD, ასეთ შემთხვევაში გაითიშება abc კონტაქტები და აინთება მწვანე ნათურა, ე.ი. სუსპენზიის სიმკვრივე კონდიციურზე მცირეა. აღნიშნულ შემთხვევაში ემატება კონდიციური სუსპენზია.

6.4. სუსპენზიის რეგენერაცია

განშრევების პროცესში სუსპენზია ნაგვიანდება გასამდიდრებელი მასალის წვრილმარცვლოვანი ფრაქციით, რაც იწვევს სიბლანტის გაზრდას და დაყოფის ეფექტურობის შემცირებას.

აგრეთვე განშრევების პროცესში სუსპენზიის გარკვეული რაოდენობა მიჰყვება მძიმე და მსუბუქ ფრაქციას.

სუსპენზიის თვისებების შენარჩუნებისა და სუსპენზიის ხარჯის შემცირების მიზნით აწარმოებენ სუსპენზიის აღდგენას –რეგენერაციას.

სუსპენზიის რეგენერაცია ითვალისწინებს სუსპენზოიდის გამოყოფას გამდიდრების პროდუქტებიდან.

გამდიდრების პროცესში სუსპენზიის რეგენერაცია წარმოადგენს ყველაზე საპასუხისმგებლო და რთულ ოპერაციას.

განზავებულ და მუშა სუსპენზიიდან დამამძიმებლის გამოყოფა წარმოებს რამდენიმე მეთოდით, რაც დამოკიდებულია დამამძიმებლის ფიზიკურ და ფიზიკურ-ქიმიურ თვისებებზე. სუსპენზიის რეგენერაცია შეიძლება განვახორციელოთ მაგნიტური მეთოდით (მაგნიტური თვისებების მქონე დამამძიმებლის გამოყენებისას), ჰიდრავლიკური კლასიფიკაციით და ფლოტაციური მეთოდით.

ზემოთ ჩამოთვლილი ერთი რომელიმე მეთოდით გამოყოფილ დამამძიმებელს საჭირო რაოდენობის წყალს ურევენ იმ ანგარიშით, რომ მიიღონ მოცემული სიმკვრივის სუსპენზია. ამის შემდეგ მომზადებულ სუსპენზიას უმატებენ მუშა სუსპენზიას, რომელიც ცირკულირებს პროცესში.

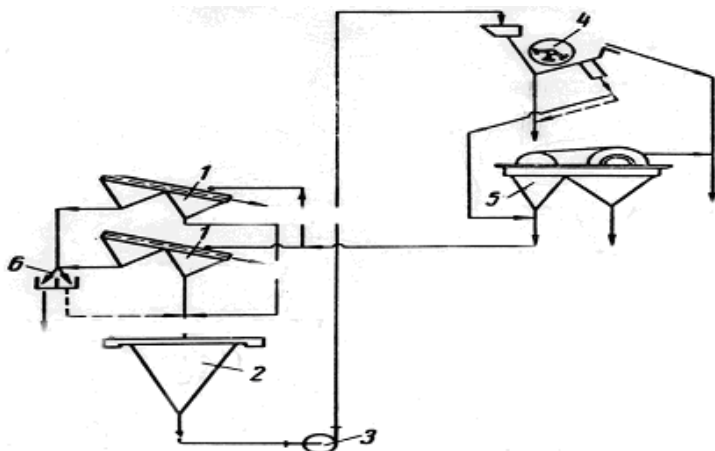
დამამძიმებლის რეგენერაციის პროცესში ადგილი აქვს დანაკარგებს, ისინი დამოკიდებულია დამამძიმებლის ხარისხზე, რეგენერაციის ხერხსა და რეგენერაციის პროცესის ავტომატიზაციის სრულყოფაზე. დანაკარგთა შევსება წარმოებს ახლად დამზადებული დამამძიმებლის პროცესში შეყვანით.

დამამძიმებლის ხარისხს და მის საცრულ შედგენილობას გადამწყვეტი მნიშვნელობაა აქვს მძიმე სუსპენზიაში გამდიდრების შედეგებზე.

მაგნეტიზური სუსპენზიის რეგენერაცია განხორციელებულია მაგნიტური მეთოდით, რადგან მაგნეტიზის

— Fe_3O_4 მინერალები ხასიათდება ძლიერმაგნიტური ამოვისებლობით.

მაგნეტიტური სუსპენზიის რეგენერაციის სქემა მოცემულია ნახ. 6.8. სუსპენზიური სეპარატორიდან მსუბუქი და მძიმე ფრაქცია მიეწოდება გამაუწყლოებელ ცხრილს. ცხრილის პირველ განყოფილებაში წარმოებს სუსპენზიის დრენაჟი, საიდანაც გამოიყოფა კონდიციური სუსპენზია, რომელიც უერთდება მუშა სუსპენზიას სეპარატორში.



ნახ. 6.8. მაგნეტიტური სუსპენზიის რეგენერაციის სქემა.

1— ცხრილი; 2— ზუმფი; 3— ტუბა; 4— დოლური მაგნიტური სეპარატორი; 5— ლენტური მაგნიტური სეპარატორი; 6— გამანაწილებელი ღარი.

ცხრილის მეორე განყოფილებაში წყლის საშუალებით წარმოებს მძიმე და მსუბუქი ფრაქციის მორეცხვა, საიდანაც გამოიყოფა განზავებული, არაკონდიციური სუსპენზია, რომელიც ტუბოს საშუალებით მიეწოდება რეგენერაციის პირველ სტადიაზე დოლურ მაგნიტურ სეპარატორს.

სეპარატორიდან არამაგნიტური ფრაქცია – შლამიანი წყალი მიეწოდება რეგენერაციის მეორე სტადიაზე, ლენტურ მაგნიტურ სეპარატორს. რეგენერაციით მიღებული მაგნიტური ფრაქცია–სუსპენზოიდი გამოიყენება კონდიციური სუსპენზიის მოსამზადებლად.

7. დალექვა

7.1. დალექვის პროცესის არსი და გამოყენების სფერო

წყლის პულსირებულ ნაკადში მინერალურ მარცვალთა სიმკვრივეების მიხედვით ფრაქციებად დაყოფის პროცესს დალექვა ეწოდება. დალექვის პროცესში წყლის პულსირებულ (აღმავალ–დაღმავალი) ნაკადში წარმოებს მინერალურ მარცვალთა განშრევება. წყალის აღმავალი–დაღმავალი ჭავლის მოქმედებით საგები, რომელიც შედგება გასამდიდრებელი მასალისაგან, პერიოდულად გაფართოება და შემჭიდროვდება. რის შედეგადაც მძიმე მინერალები კონცენტრირდება საგების ქვედა შრეში, მსუბუქი მინერალები– საგების ზედა შრეში. ხოლო შუალედური სიმკვრივის მინერალები–საგების შუა შრეში. დავუშვათ, სალექი მანქანის ცხავის ზედაპირზე მოთავსებულია სხვადასხვა სიმკვრივის მინერალთა თანაბარი ზომის მარცვლები. მსუბუქი მინერალის თავისუფალი ვარდნის სიჩქარე აღვნიშნოთ $V_{\text{ა}}$ მძიმე მინერალის თავისუფალი ვარდნის სიჩქარე $V_{\text{ბ}}$. წყლის აღმავალი ჭავლის სიჩქარე $W_{\text{ა}}$. ხოლო დაღმავალის $W_{\text{და}}$. დალექვის სინუსოიდალური ციკლის დროს $W_{\text{ალ}} = W_{\text{და}}$, და შესაბამისად, მოქმედების დროც

ერთმანეთის ტოლია და უდრის $\frac{t}{2}$. აღმავალ ნაკადში მძიმე

მინერალების მოძრაობის ფარდობითი სიჩქარე ტოლი იქნება $W_{\text{დ}} - V_{\text{გ}}$,

მინერალების მიერ გავლილი მანძილი აღმავალი ჭავლის

მოქმედების დროს $h_1 = (w_{\text{დ}} - V_{\text{გ}}) \frac{t}{2}$, ხოლო მსუბუქი

მინერალის $h_2 = (w_{\text{დ}} - V_{\text{გ}}) \frac{t}{2}$, ამ ტოლობებიდან $h_2 > h_1$,

რადგან $V_{\text{გ}} > V_{\text{დ}}$.

ამრიგად, აღმავალი ჭავლის მოქმედებით მძიმე

მინერალთა მარცვლები ცხავის ზედაპირიდან ატივტივდება მცირე სიმაღლეზე ვიდრე მსუბუქი მინერალის მარცვლები.

დაღმავალ ჭავლში მძიმე მინერალის მარცვალთა მოძრაობის

ფარდობითი სიჩქარე ტოლი იქნება $W_{\text{დაღ}} + V_{\text{გ}}$. ხოლო მსუბუქი მინერალის მარცვალთა $W_{\text{დაღ}} + V_{\text{გ}}$. ცხავის

ზედაპირზე მძიმე და მსუბუქი მინერალის მარცვალთა დალექვის საჭირო დრო

$$t_1 = \frac{h_1}{W_{\text{დაღ}} + V_{\text{გ}}}$$

$$t_2 = \frac{h_2}{W_{\text{დაღ}} + V_{\text{გ}}}$$

აღნიშნული ტოლობების შედარებით მივიღებთ, რომ $t_1 < t_2$.

ამრიგად, დალექვის ერთი ციკლის დროს მძიმე მინერალის მარცვლები მოთავსდება ქვედა შრეში ცხავის ზედაპირზე, ხოლო მსუბუქი მინერალის მარცვლები—ზედა შრეში.

გამდიდრების პრაქტიკაში დალექვის პროცესი გამოიყენება მსხვილმარცვლოვანი მასალის გასამდიდრებლად. დალექვით გასამდიდრებელი მასალის სიმსხო მაღანებისათვის—50-0,25 მმ. ხოლო ნახშირებისათვის—100-0,5

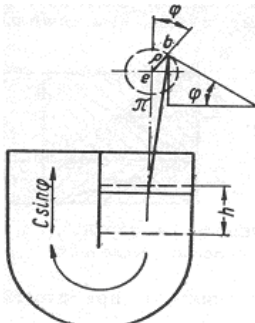
მმ. უფრო მსხვილი ან წვრილი მასალის გამდიდრება დალექვით არაეფექტურია.

7.2. ნაკადის კინემატიკური სტრუქტურა

დალექვის პროცესში მასალის სხვადასხვა სიმკვრივის ფრაქციებად დაყოფა წარმოებს წყლის პულსირებულ ნაკადში.

სალექ განყოფილებაში წყლის აღმავალი ნაკადი დეფორმირდება ჰორიზონტალური ნაკადის მოქმედებით და გადაიხრება მისი დინების მიმართულებით, რაც განაპირობებს სალექ განყოფილებაში განშრევებული მასალის გადაადგილებას.

განვიხილოთ დგუშიანი სალექი მანქანის კინემატიკური სქემა. (ნახ. 7.1.)



ნახ.7.1 სალექი მანქანის კინემატიკური სქემა

როგორც ნახაზიდან ჩანს, ექსცენტრისიტეტი $\rho=ob$, დგუშის სვლის სიგრძე $h=2\rho$

φ არის ექსცენტრისიტეტის შემობრუნების კუთხე. მრუდხარას მუდმივი წრიული სიჩქარე აღვნიშნოთ C-თი. რომლის ვერტიკალური გეგმილი მიმართულია აღმავალი ნაკადის სიჩქარის საწინააღმდეგოდ და ტოლია

$$U = C \sin \varphi$$

$$C = \frac{\pi \rho n}{30} = \frac{\pi hn}{60}$$

სადაც n – სვლათა რიცხვია წთ-ში.

დგუშის მოძრაობის საშუალო სიჩქარე

$$V = \frac{2hn}{60}$$

ამ ორი ფორმულიდან მივიღებთ, რომ

$$\frac{C}{V} = \frac{\pi}{2}$$

საიდანაც $C = 1,57 V$

ამრიგად მოძრაობის წრიული სიჩქარე 1,57-ჯერ აღემატება დგუშის მოძრაობის საშუალო სიჩქარეს. წყლის აღმავალი ნაკადის მაქსიმალური სიჩქარე

$$U_{max} = -\beta C \sin \varphi$$

მინუს ნიშანი გვიჩვენებს, რომ აღმავალი ნაკადის მიმართულება დგუშის მოძრაობის მიმართულების საწინააღმდეგოა.

β - წინააღმდეგობის კოეფიციენტია.

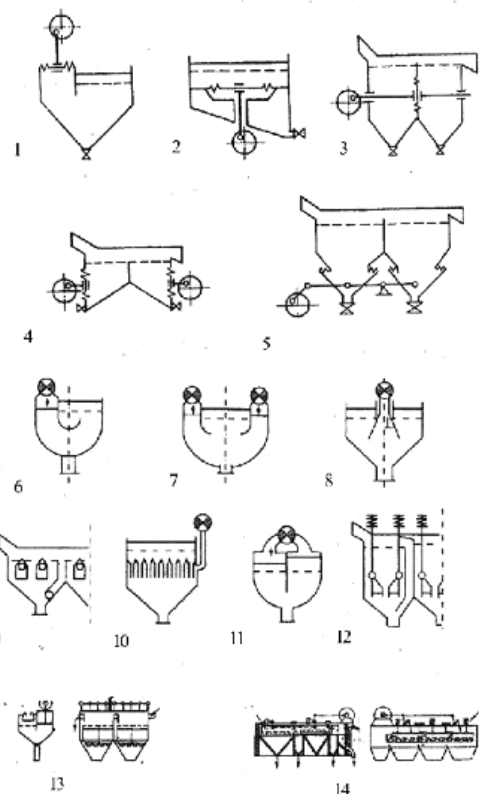
დგუშიანი სალექი მანქანებისათვის $\beta < 1$ ხოლო დიაფრაგმულისათვის $\beta = 1$.

φ- არის ექსცენტრისიტეტის შემობრუნების კუთხე.

C – მრუდზარის წრიული სიჩქარეა

7.3. სალექი მანქანები

სასარგებლო წიაღისეულის დალექების პროცესში გამოიყენება სხვადსხვა კონსტრუქციის სალექი მანქანები, რომელთა კლასიფიკაცია განხორციელებულია მათი კონსტრუქციული ძირითადი ნიშნის მიხედვით (ნახ.7.2.).



ნახ. 7.2. სალექტო

მანქანების სქემები:

1.2.3.4.5— დიაფრაგმული;
6.7.8.9.10.11.12— უდგუშო; 13—
დგუშიანი; 14—მოძრავცხავიანი

1. გამყოფი გარემოს სახეობის მიხედვით:

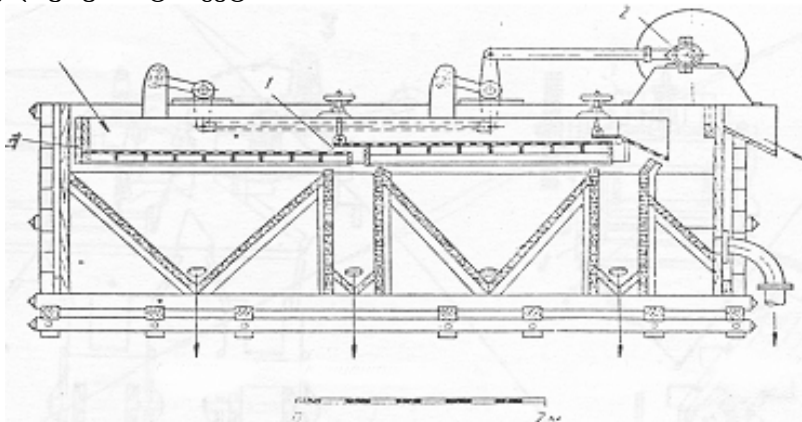
ჰიდრაულიკური და პნევმატიკური.

2. პულსაციის წარმომქმნელი მექანიზმის სახეობის მიხედვით: მოძრავ ცხრილიანი; დიაფრაგმული და უდგუშო (ჰიდრო და პნევმო პულსატორი)
3. გამდიდრების პროდუქტების განტვირთვის სახეობის მიხედვით: შიბერული, უშიბერო და როტორული.
4. კამერათა რიცხვის მიხედვით: ერთკამერიანი; ორკამერიანი, სამკამერიანი და მრავალკამერიანი.
5. პულსაციის წარმომქმნელი მექანიზმის (დგუშის, დიაფრაგმის, საპაერო კამერის) განლაგების მიხედვით:

- დგუშიანი სალექი მანქანები დგუშის გვერდითი და ცხავქვეშა განლაგებით;
- დიაფრაგმული სალექი მანქანები, დიაფრაგმის ვერტიკალური და ჰორიზონტალური განლაგებით;
- უდგუშო სალექი მანქანები საპარო კამერის გვერდითი, ცენტრალური, ცხავქვეშა და ცხრილზედა განლაგებით.

აღნიშნული კონსტრუქციის სალექი მანქანებიდან თანამედროვე გამამდიდრებულ ფაბრიკებში ძირითადად გამოიყენება უდგუშო სალექი მანქანები, რომლებიც ხასიათდება მარტივი კონსტრუქციით, მუშაობის პროცესში რეგულირებით და მაღალი ეფექტურობით.

მოძრავ ცხავიან სალექ მანქანაში (ნახ. 7.3.) ცხავი (1) მრუდხანა-ბარბაცა მექანიზმის (2) საშუალებით მოძრაობის ელიფსური ტრაექტორიით.



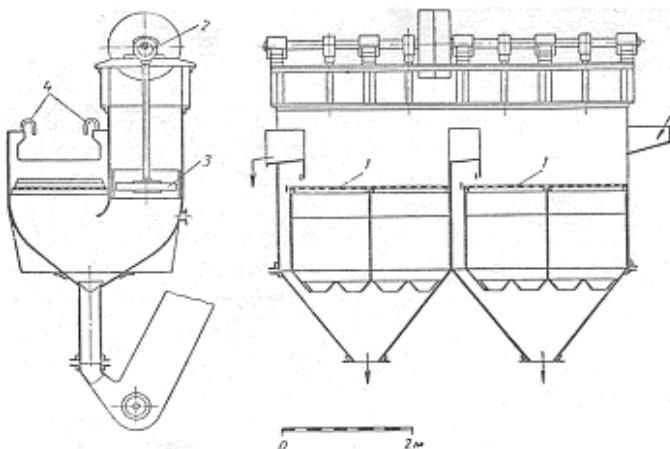
ნახ. 7.3. მოძრავ ცხავიანი სალექი მანქანა (შტაუხი)
1—დამლექი ცხავი; 2— ამძრავი მექანიზმი.

ცხრილის მოძრაობით წარმოიქმნება წყლის პულსირებული (აღმავალი - დაღმავალი) ნაკადი, რომლის საშუალებითაც წარმოებს გასამდიდრებელი მასალის სიმკვრივეების მიხედვით განშრევება. აღმავალი ჭავლის

მოქმედებით მსუბუქი ფრაქცია ატივტივდება და განიტვირთება სალექი მანქანიდან წყალთან ერთად გადანადენის სახით, ხოლო ცხავის ზედაპირზე საიდანაც დალექილი მძიმე ფრაქცია განიტვირთება კამერაში.

ასეთი ტიპის სალექი მანქანით შესაძლებელია მივიღოთ სამი პროდუქტი: კონცენტრატი, შუალედი პროდუქტი და კუდები.

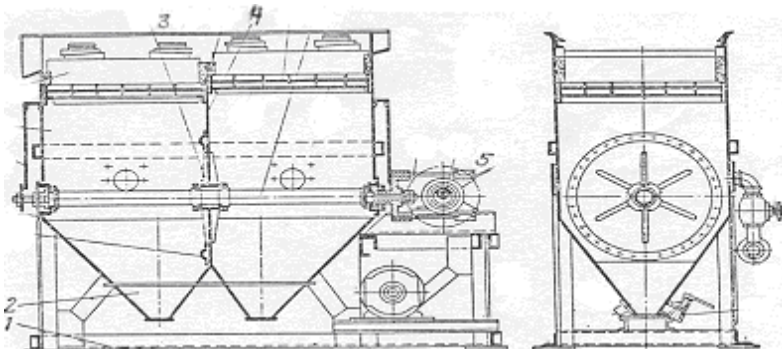
დგუშიანი სალექი მანქანა (ნახ.7.4.) შედგება ორი განყოფილებისაგან: სალექი და დგუშის განყოფილება. სალექ განყოფილებაში განსაზღვრულ სიმაღლეზე დამონტაჟებულია ცხავი (1), ხოლო დგუშის განყოფილებაში მრუდხარა ბარბაცა მექანიზმის (2) საშუალებით დგუში (3) ვერტიკალურ სიბრტყეში ასრულებს წინსვლით-უკუმოქცევით გადატანით მოძრაობას. დგუშის მოძრაობით სალექ განყოფილებაში წარმოიქმნება წყლის პულსირებული ნაკადი, რომლის საშუალებითაც წარმოებს გასამდიდრებელი მასალის ფრაქციებად დაყოფა. სალექი მანქანებიდან მსუბუქი ფრაქცია განიტვირთება წყალთან ერთად გადანადენის სახით, ხოლო ცხავის ზედაპირზე დალექილი მძიმე ფრაქცია განიტვირთება კამერაში.



ნახ.7.4. დგუშიანი სალექი მანქანა
1—ცხავი; 2—ამძრავი მექანიზმი; 3— დგუში.

დიაფრაგმული სალექი მანქანები (ნახ. 7.5–7.6-7.7) მაღალსიხშირიანი (200-500 რხ/წთ) სალექი მანქანებია, რომლებიც გამოიყენება წერილმარცვლოვანი მაღნების გასამდიდრებლად. სალექი მანქანები დიაფრაგმის განლაგების მიხედვით იყოფა ორ ჯგუფად: დიაფრაგმის პორიზონტალურ სიბრტყეში განლაგებით მოდ ტიპის და ვერტიკალურ სიბრტყეში განლაგებით იბმ-ტიპის.

იბმ-ტიპის დიაფრაგმული სალექი მანქანა (ნახ. 7.5) გამოიყენება 3 მმ-ზე მცირე ზომის მაღნების გასამდიდრებლად. სალექი მანქანის კორპუსი (1) შედგება ორი კამერისაგან: კამერები ბოლოვდება პირამიდალური (2) ნაწილით. კამერების გამყოფ ჭიხარზე(4), რომელიც წარმოადგენს ლითონის ფირფიტას, დამაგრებულია რეზინის დიაფრაგმა (3). იგი ასრულებს პორიზონტალურ სიბრტყეში რხევით მოძრაობას. მრუდხარა მექანიზმის(5) საშუალებით. სალექ განყოფილებაში დამონტაჟებულია ცხავი, ცხავზე კი საგების გამყოფი ჩარჩო.

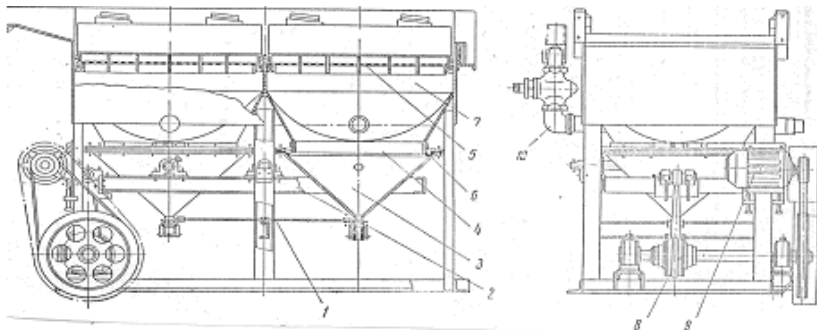


ნახ. 7.5. სალექი მანქანა 2-იბმ-1

1—სადგარი; 2—პირამიდული ნაწილი; 3—რეზინის დიაფრაგმა;
4—გამყოფი ჭიხარი; 5—ამძრავი მექანიზმი.

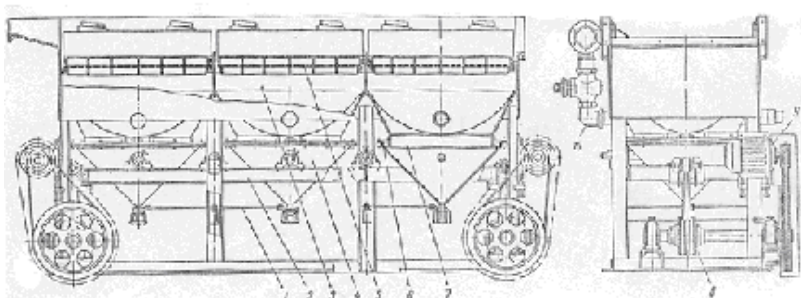
სალექ განყოფილებაში დიაფრაგმის რხევითი მოძრაობით წარმოიქმნება წყლის პულსირებული ნაკადი, რომლის

საშუალებითაც წარმოებს გასამდიდრებელი მასალის სიმკვრივეების მიხედვით ფრაქციებად განშრევება. მსუბუქი ფრაქცია სალექი მანქნიდან განიტვირთება წყალთან ერთად გადანადენის სახით, ხოლო მძიმე ფრაქცია დალექვის პროცესში გადაადგილდება ხელოვნური საგების მარცვლებს შორის და განიტვირთება კამერებში ცხავის ხვრეტებიდან.



ნახ. 7.6. დიაფრაგმული სალექი მანქანა МОД-2

1—ფირფიტისებური ზამბარა; 2—ჩარჩო; 3—კამერის კონუსური ნაწილი; 4—რეზინის დიაფრაგმა; 5—დალექი ცხავი; 6—კამერის პირამიდალური ნაწილი; 7—მრუდხარაბარბაცა მექანიზმი; 8—ელ. ძრავი.



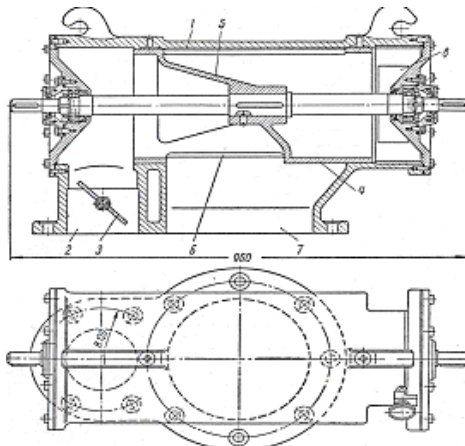
ნახ. 7.7. დიაფრაგმული სალექი მანქანა МОД-3.

1—ფირფიტისებული ზამბარა; 2—ჩარჩო; 3—კორპუსის პირამიდული ნაწილი; 4—კონუსური ნაწილი; 5—ცხავი; 6—რეზინის სამაჯერი; 7—კორპუსი; 8—მრუდხარაბარბაცა მექანიზმი; 9—ელ. ძრავი.

МОД ტიპის დიაფრაგმული სალექი მანქანები გამოიყენება 15 მმ-ზე მცირე ზომის მაღნების გასამდიდრებლად. ნახ.4.8. მოცემულია МОД-2 ტიპის სალექი მანქანა, რომელიც შედგება ორი კამერისაგან. კამერის ზედა ნაწილები პირამიდალური ფორმისაა, რომელიც ბოლოვდება კონუსური ფორმის ნაწილით(3).

კონუსური ნაწილი კამერის მუშა ნაწილთან დაკავშირებულია რეზინის დიაფრაგმის საშუალებით. კონუსური ნაწილები ერთმანეთთან შეერთებულია ფირფიტისებური ზამბარით(1) და დამაგრებულია ჩარჩოში(2), რომელიც ასრულებს რხევით მოძრაობას მრუდზარა ბარბაცა მექანიზმის(7) საშუალებით. სალექ მანქანაში განსაზღვრულ სიმაღლეზე დამონტაჟებულია ცხავი(5), რომელზედაც დამაგრებულია ჩარჩო ხელოვნური საგებისათვის. კონუსურ და პირამიდულ ნაწილს შორის მოთავსებული დიაფრაგმები ვერტიკალურ სიბრტყეში ასრულებს რხევით მოძრაობას, რაც იწვევს წყლის პულსაციას, ამ უკანასკნელის საშუალებით კი განხორციელებულია გასამდიდრებელი მასალის სიმკვრივეების მიხედვით განშრევება. სალექი მანქანიდან მსუბუქი ფრაქცია განიტკირთება გადანადენის სახით, ხოლო მძიმე ფრაქცია გადაადგილდება ცხავის ზედაპირზე და განიტკირთება ხვრეტებიდან კამერებში. სამკამერიანი დიაფრაგმული მანქანა МОД-3 მოცემულია ნახ. 7.7.

უდგუშო სალექი მანქანები გამოიყენება ნახშირებისა და მაღნების ნებისმიერი ზომის კლასის გასამდიდრებლად. უდგუშო სალექ მანქანებში წყლის პულსირებული ნაკადი წარმოიქმნება საპაერო განყოფილებაში შეკუმშული პაერის პერიოდული მიწოდებით. ეს უკანასკნელი განხორციელებულია პულსატორების საშუალებით. როტორული პულსატორის კინემატიკური სქემა მოცმულია ნახ. 7.8.

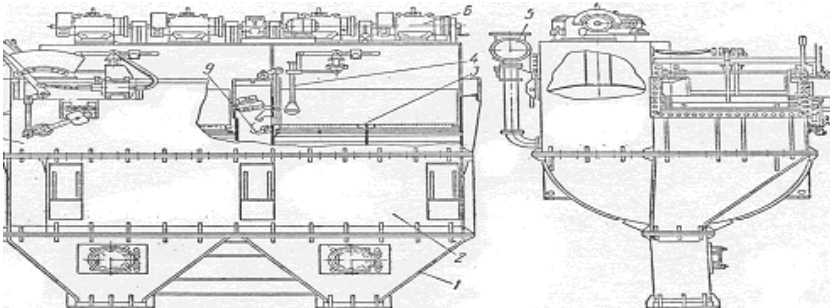


ნახ. 7.8. როტორული პულსატორი ПВ-4

1—კორპუსი; 2—ჰერის მიმწოდებული კამერა; 3—დროსელური მკვეთარა; 4—როტორი; 5—დიაგონალური ტიხარი; 6,7,8. ფანჯრები.

პულსატორის კორპუსი (1) არხის (2) საშუალებით დაკავშირებულია ჰერშემერებთან. მიწოდებული ჰერის რეგულირება განხორციელებულია დროსელური მკვეთარას (3) საშუალებით. კორპუსის შიგნით დამონტაჟებულია ღრუ როტორი (4), რომელიც გაყოფილია დიაგონალური ტიხარით (5)—ორ ნაწილად, რომელთაც გააჩნიათ ფანჯარა (6), რომელიც დაკავშირებულია საჰერო განყოფილებასთან და ფანჯარა (8) რომლის საშუალებითაც დაკავშირებულია ატმოსფეროსთან. როტორი ასრულებს ბრუნვით მოძრაობას, ე.ი. როტორის ბრუნვის ნახევარ პერიოდში შეკუმშული ჰაერი მე-6 ფანჯრიდან მე-7 არხით შედის საჰერო განყოფილებაში, ხოლო მეორე ნახევარ პერიოდში საჰერო განყოფილებაში არსებული შეკუმშული ჰაერი მე-7 ხვრელსა და მე-8 ფანჯრის საშუალებით გადის ატმოსფეროში. როტორული პულსატორის აღნიშნული მუშაობის პრინციპით წარმოებს შეკუმშული ჰაერის პერიოდული მიწოდება საჰერო განყოფილებაში, რაც იწვევს წყლის პულსირებული ნაკადის წარმოქმნას.

ნახ. 7.9. მოცემულია მბომ (მოდერნიზებული უდგუშო სალექი მანქანა) ტიპის სალექი მანქანა, რომელიც გამოიყენება ნახშირების გასამდიდრებლად.



ნახ. 7.9. უდგუშო სალექი მანქანა მბომ.

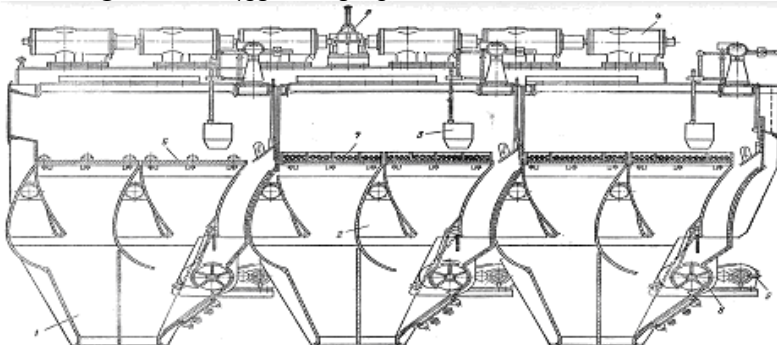
1—განტვირთი კამერა; 2—კორპუსის ქვედა ნაწილი; 3—შპალტისებური ცხავი; 4—ტივტივა გადამწოდის; 5—წყლის კოლექტორი; 6—პულსატორი; 7—კორპუსის ზედა ნაწილი; 8—ხელით სარეგულირო ბერკეტი; 9—შიბერი.

სალექი მანქანის კორპუსი შედგება ორი განყოფილებისაგან: სალექი და საპაერო.

სალექ განყოფილებაში განსაზღვრულ სიმაღლეზე დამონტაჟებულია შპალტისებური ცხავი (3), ხოლო საპაერო განყოფილებაში—როტორული პულსატორები (6), რომლის საშუალებითაც საპაერო განყოფილებას მიეწოდება ჰაერის პულსირებული ნაკადი, რაც იწვევს წყლის პულსაციას, წყლის პულსირებული ნაკადის საშუალებით წარმოებს გასამდიდრებელი მასალის ფრაქციებად განშრევება. მსუბუქი ფრაქცია განიტვირთება წყალთან ერთად გადანადენის სახით, ხოლო მძიმე ფრაქცია დაილექტბა ცხავის ზედაპირზე, სადაც სპეციალური განმტვირთი მოწყობილობით განიტვირთება სალექი მანქანის კამერაში. ცხავის ზედაპირზე დაღექილი საგები შრის სისქის რეგულირება განხორციელებულია ტივტივა გადამწოდის (4) საშუალებით. როდესაც ცხავზე დაღექილი მძიმე ფრაქციის შრის სისქე გადააჭარბებს

მოცემულ ზღვარს, ტივტივა აიწევა, გახსნის შიბერს და მძიმე ფრაქცია განიტვირთება კამერაში.

ნახშირების მსხვილი და წვრილი კლასის
გასამდიდრებლად ძირითადად გამოიყენება
OM-ტიპის სალექი მანქანები. (ნახ. 7.10)



ნახ.7.10. სალექი მანქანა OM-12

- 1—განმტვირთი კამერა; 2—საპარავო კამერა; 3—ტივტივა გადამწოდი;
4—პულსატორი; 5—პულსატორის ამძრავი; 6—ცხავი; 7—საგები;
8—როტორული განმტვირთი; 9—რედუქტორი.

„პიკის“ ფირმის სალექი მანქანა (ნახ.7.11.) გამოიყენება ნახშირების წვრილი კლასის გასამდიდრებლად, შემდეგი რამდენიმე სექციისაგან. თითოეულ სექციაზე დამონტაჟებულია პულსატორი და საგების გამფზვირებელი ავტომატური რეგულიატორი (ნახ. 7.12.), რომლის საშუალებით ავტომატურად რეგულირდება კამერაში მიწოდებული პარტის რაოდენობა ტივტივა გადამწოდით საგების შრის სიმაღლლის სიდიდის მიხედვით.

ხელოვნური საგებიდან მძიმე ფრაქციის განტვირთვის ავტომატიზაცია მიღწეულია პარტის ხარჯის ცვალებადობით.

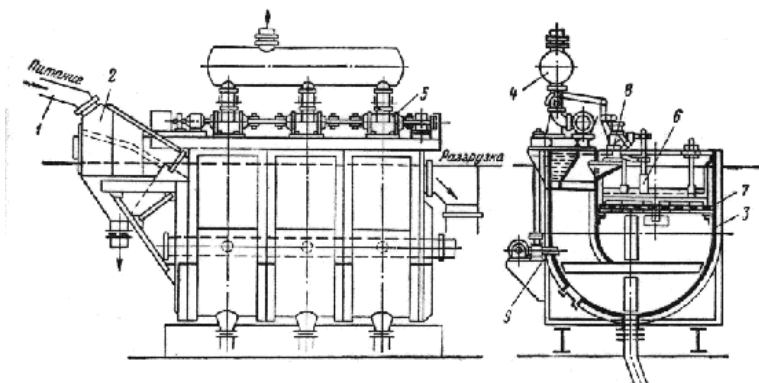
„პიკის“ ფირმის სალექი მანქანები გამოირჩევა მაღალი ტექნოლოგიური ეფექტურობით, მათი ხვედრით წარმადობა არ აღემატება $7 \text{ t/s} \cdot \text{m}^3$, ხოლო წყლის ხარჯი შეადგენს $5-7 \text{ m}^3/\text{t}$. სალექი მანქანის სექციათა რაოდენობა დამოკიდებულია

მოთხოვნილ მწარმოებლობაზე. „პიკის” ფორმის მანქანის ტექნოლოგიური მაჩვენებლები მოცემულია ცხრლ. 7.1.

ცხრილი.7.1.

წვრილი ნახშირის გამდიდრების ტექნოლოგიური მაჩვენებლები

ფრაქციის სიმკვრივე, g/dm^3	გამოსავალი, %		
	კონცენტრატი	შუალედი პროდუქტი	კუდები
<1500	97.86	30.11	0.38
1500–1800	2.07	55.52	5.15
>1800	0.008	13.87	94.47

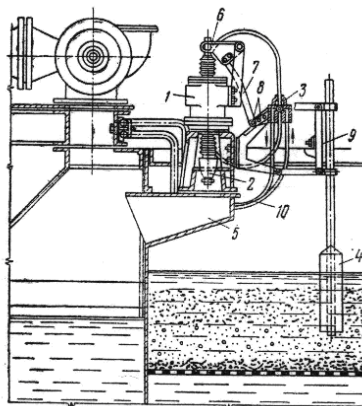


ნახ. 7.11 „პიკის” ფირმის სალექი მანქანა (საფრანგეთი)

1—ჩამტვირთი ღარი; 2— ჩამტვირთი მოწყობილობა; 3—კორპუსი;

4—ჰაერშეგრები; 5—პულსატორი; 6—ტივტივა; 7—ცხავი;

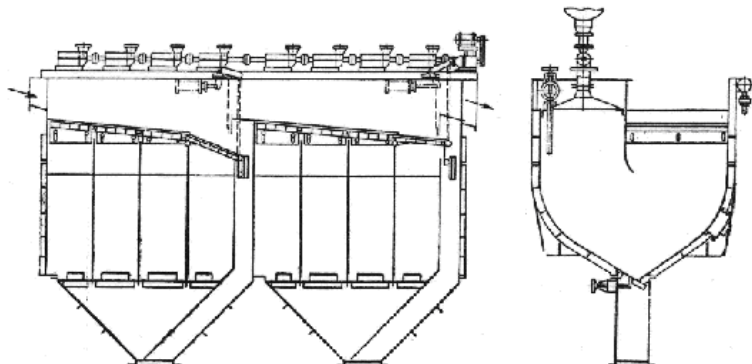
8—ავტორეგულიატორი; 9— მიღყელი ცხრილქვედა წყლისათვის.



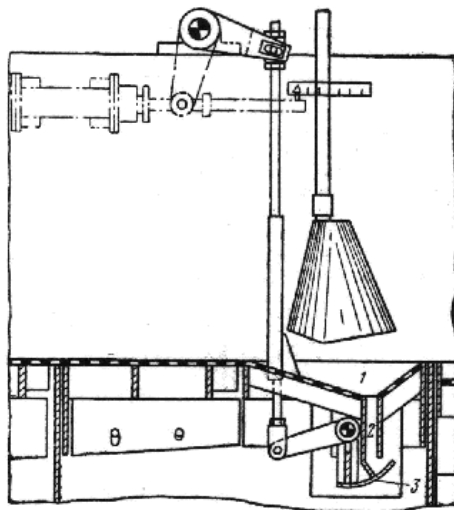
ნახ. 7.12. ავტომატური რეგულიატორი

1—ზეთის ცილინდრი; 2—დგუშის ჭოკი; 3—ზეთის ონგანი; 4—ტივტივა;
5—საპაერო კამერა; 6,7,8—ზეთის ონგანის გადამრთველი ბერკეტული
სისტემა; 9—სადგარი; 10—რეზინის მილი.

„ვედაგის“ ფირმის სალექი მანქანა (ნახ.7.13.)
გამოიყენება ნებისმიერი ზომის ნახშირების გასამდიდრებლად.

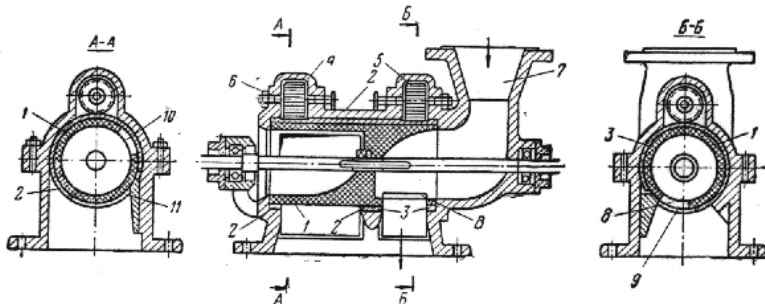


ნახ. 7.13. „ვედაგის“ ფირმის სალექი მანქანა (გერმანია)



ნახ. 7.14. „ვედაგის“ სალექი მანქანის მძიმე ფრაქტის
გამტვირთი მოწყობილობა

1—ხვრელი; 2—გამტვირთი კამერა; 3—შიბერი.



ნახ. 7.15. „ვედაგის“ ფირმის როტორული პულსატორი.

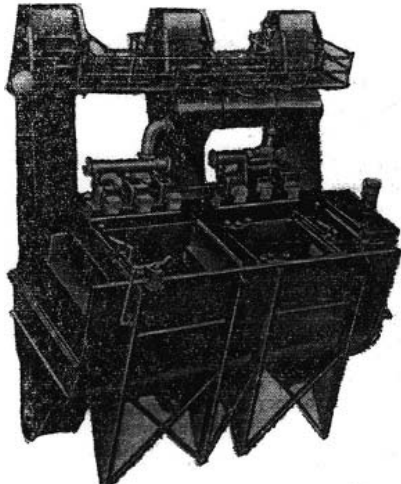
1—როტორი; 2—ჰაერის ციკლის სარეგულირო ჭიქა; 3—ჰაერის შემშვები
ჭიქა; 4,5—კბილა თვალი; 6—ჭიქების სამაგრო; 7—ჰაერის მიმწოდებელი
კამერა; 8,9,10,11—საპაერო განყოფილებაში შეკუმშული ჰაერის შემშვები და
გამომშვები ფანჯრები.

„ნორტინის“ ფირმის სალექი მანქანები (ნახ. 7.16.ა)
მზადდება სამი მოდიფიკაციით, რომლებიც გამოიყენება

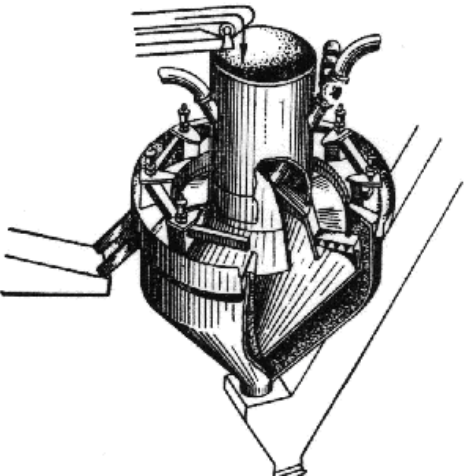
სხვადასხვა ზომისა და კატეგორიის ნახშირების

გასამდიდრებლად.

ა)



ბ)

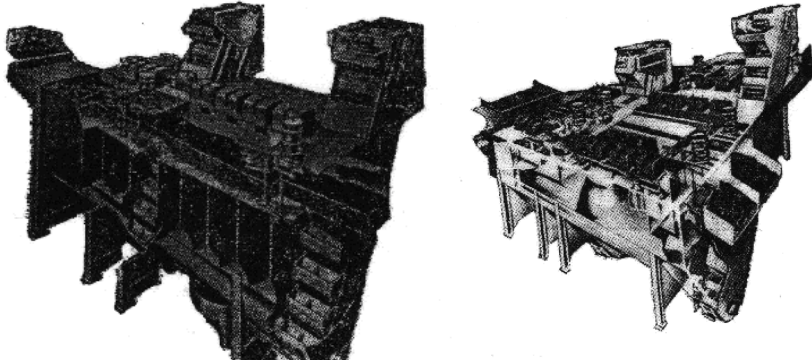


ნახ. 7.16. „ნორტონისა” და „აკოს” ფირმის სალექი მანქანები
(ინგლისი)

„აკოს” ფირმის კონუსური სალექი მანქანა (ნახ. 7.16).

ბ) ორიგინალური კონსტრუქციისაა. მას გააჩნია წრიული ფორმის ცხავი, რომელსაც საწყისი ნახშირი მიეწოდება მანქანის ცენტრიდანულ ნაწილში ჩამტვირთი ცილინდრიდან, კამერის ცენტრიდანულ ნაწილში დამონტაჟებული როტორული პულსატორით განხორციელებულია საგების რხევითი პულსაცია მთლიან ფართზე.

„მაკ—ნელი—მოგიულ” და „მაკ—ნელი—დუაინეტ” სალექი მანქანები (ნახ. 7.17.) გამოიყენება ნებისმიერი ზომის ფართოკლასიფიცირებული ნახშირების გასამდიდრებლად. აღნიშნული მანქანები გამოირჩევა მაღალი მწარმოებლობითა (500–1000 ტ/სთ) და ტექნილოგიური ეფექტურობით.



ნახ. 7.17. „მაკ-ნელი-მოგიულ” და „მაკ-ნელი-დუაინეტ”
სალექი მანქანები (ა.შ.შ.)

7.4 მძიმე ფრაქციის განმტვირთი მოწყობილობანი

სალექი მანქანების ეფექტურობა დამოკიდებულია მძიმე ფრაქციის შრის სისქის სიდიდეზე. მძიმე ფრაქციის შრის სისქის რეგულირება განხორციელებულია სხვადასხვა ტიას ავტომატური რეგულატორების საშუალებით. სალექ მანქანებში მძიმე ფრაქციის განტვირთვისათვის გამოყენებულია შიბერული, უშიბერო და როტორული განმტვირთი მოწყობილობანი.

შიბერული განმტვირთი მოწყობილობა (ნახ. 7.18.) შედგება ტივტივა გადამწოდისა (1) და პნევმოცილინდრისაგან (9). პნევნაცილინდრში წინსვლით-უკუმოქცევ გადატანით მოძრაობას ასრულებს დგუში (10), ეს უკანასკნელი ბერკეტების (5) საშუალებით დაკავშირებულია სექტორულ საკეტთან (11), როდესაც ცხავის ზედაპირზე დალექილი მძიმე ფრაქციის შრის სისქე გადაჭარბებს მოცემულ სიდიდეს, ტივტივა გადამწოდი (1) აიწევს, გახსნის მკვეთარას (3) და შეკუმშული ჰაერი ჰაერმილსადენების საშუალებით მიეწოდება პნევმოცილინდრს (9). შეკუმშული ჰაერის მოქმედებით

ცილინდრში დგუში (10) გადაადგილდება ვერტიკალურ სიბრტყეში, რომელიც შემოაბრუნებს სექტორულ საკეტს და გახსნის განმტვირთ ხვრელს, საიდანაც განიტვირთება მძიმე ფრაქციის შრის სისქე გახდება მოცემული სიდიდის ტოლი, ტივტივა გადამწოდი დაუბრუნდება განსაზღვრულ მდგომარეობას და შეწყდება პნევმოცილინდრში შეკუმშული ჰაერის მიწოდება და ჩაიკეტება განმტვირთი ხვრელი სექტორული საკეტით.

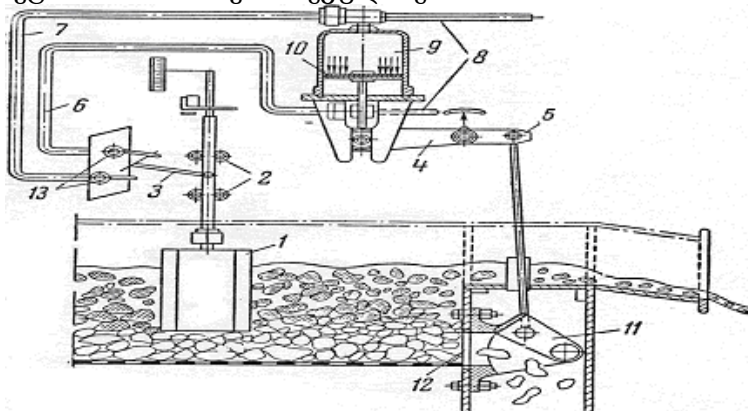
როტორული განმტვირთი მოწყობილობა (ნახ. 7.19.)
შედგება ტივტივა გადამწოდის (1), სარქველის (2), ჰაერშემკრების (3), მემბრანული რელეს(4), როტორული საკეტის (5), ჰაერ გამწმენდისა (6) და მანომეტრისაგან(7). როდესაც სალექი მანქანის ცხავის ზედაპირზე დალექილი მძიმე ფრაქციის შრის სისქე გადააჭარბებს მოცემულ სიდიდეს, აიწვევა ტივტივა გადამწოდი, რომელიც გახსნის სარქველს(2) და ჰაერშემკრებიდან (3) ჰაერგამწმენდის (6) გავლით ჰაერი მიეწოდება მემბრანულ რელეს (4), რომელიც ჩართავს მძიმე ფრაქციის განმტვირთი მოწყობილობის (5) ამძრავს. როტორული განმტვირთი მოწყობილობის ბრუნვის შედეგად განიტვირთება ცხავის ზედაპირზე დალექილი მძიმე ფრაქციის განსაზღვრული რაოდენობა. როდესაც მძიმე ფრაქციის შრის სისქე გაუტოლდება მოცემულ სიდიდეს, ტივტივა—გადამწოდის საშუალებით ჩაიკეტება სარქველი და კვება შეუწყდება როტორული განმტვირთის ამძრავს.

ნახ.7.20-ზე მოცემულია უშიბერო განმტვირთი მოწყობილობა, ხოლო ნახ.7.21.-ზე მძიმე ფრაქციის გამტვირთი ავტომატური რეგულატორის კინემატიკური სქემა. აღნიშნული ტიპის რეგულატორით განხორციელებულია OM ტიპის სალექ მანქანებში შრის სისქის ავტომატური რეგულირება.

ავტომატური რეგულიატორი შედგება ზუთი ძირითადი კვანძისაგან: I—ტივტივა გადამწოდი და გამზომი ხელსაწყო (1). II—გამშვებმარეგულირებელი მოწყობილობა (2), სიჩქარის

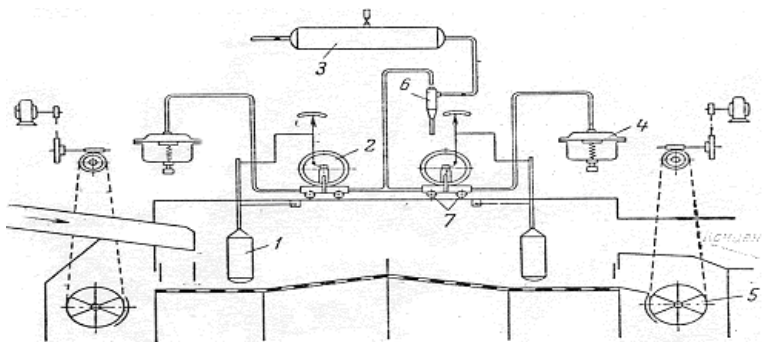
რეგულატორი – რევერსული ძრავით(3), მაგნიტური გამშვები(7) და ავტომატური ჩამრთველი (6), III–მაგნიტური გამაძლიერებელი (8), IV–მართვის პულტი (9). V–მუდმივი დენის ძრავი (10) და რედუქტორი (11), ჯაჭვური გადაცემით.

როდესაც მძიმე ფრაქციის შრის სისქე გადააჭარბებს ზღვრულ სიდიდეს, ტივტივა გადამწოდის საშუალებით იმპულსი გადაეცემა ელექტრონულ გამზომ ხელსაწყოებს. ეს უკანასკნელი კი იმპულსს გადასცემს ელექტრონულ მარეგულირებელ ხელსაწყოს(2), რომელიც ჩართავს სიჩქარის რეგულატორის რევერსულ ძრავს(10). სიჩქარული რეგულატორის საშუალებით განხორციელებულია მძიმე ფრაქციის განმტკირთი მოწყობილობის ანუ როტორის ცვლადი სიჩქარით ბრუნვა, რომლის საშუალებითაც წარმოებს მძიმე ფრაქციის შრის სისქის რეგულირება.

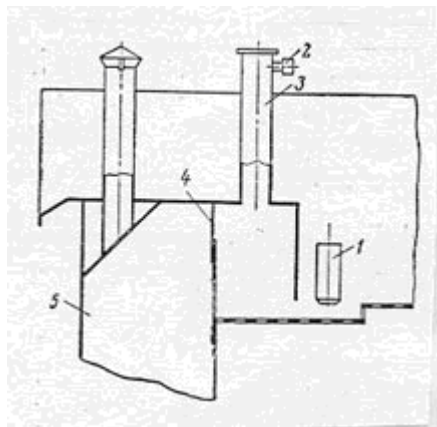


ნახ. 7.18. მძიმე ფრაქციის შიბერული განმტკირთი მოწყობილობა.

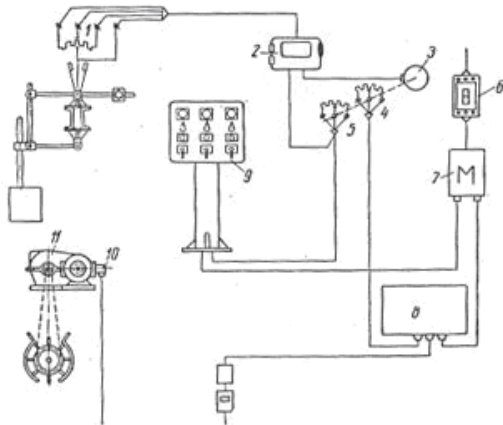
1–ტივტივა; 2–მიმართველი გორგოლაჭი; 3,4,5–ბერკეტები; 6,7,8 – ჰაერგამტარი მილები; 9–ჰელმოცილინდრი; 10–დგუში; 11–სექტორული საკეტი-შიბერი.



ნახ. 7. 19. როტორული ჭიპის განმტვირთი მოწყობილობა.
1—ტივტივა გადამწოდი; 2—სარქველი; 3—ჰაერშემკრები; 4—მებბრანული რელე; 5—როტორული საკეტი; 6—ჰაერის ფილტრი; 7—მანომეტრი.



ნახ. 7.20. უშიბერო განმტვირთი მოწყობილობა.
1—ტივტივა გადამწოდი; 2—სარქველი; 3—ჰაერის მიმწოდებელი მილი; 4—ტიხარი; 5—განმტვირთი კამერა.



ნახ. 7.21. ცვლადი სიჩქარით მბრუნავ როტორიანი განმტკირთი მოწყობილობის კინემატიკური სქემა.

1—შრის სისქის გამზომი ხელსაწყო; 2—გამშვებმარევულირებელი ხელსაწყო; 3—რევერსული ძრავი; 4,5—სიჩქარის რეოსტატი; 6—ავტომატური ჩამრთველი; 7—მაგნიტური გამშვები; 8—მაგნიტური გამაძლიერებელი; 9—მართვის პულტი; 10— მუდმივი დენის ძრავი; 11. რედუქტორი.

7.5 დალექვის ციკლები

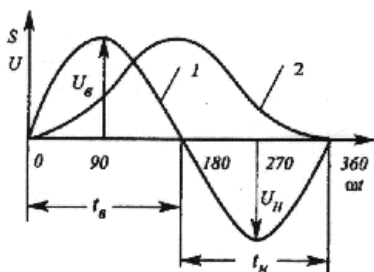
დალექვის ციკლი ეწოდება წყლის პულსირებული ნაკადის ვერტიკალური გადაადგილების კანონზომირებას რხევის ერთ პერიოდში.

$$\text{ერთი ციკლის ხანგრძლიობა } T = \frac{60}{n}$$

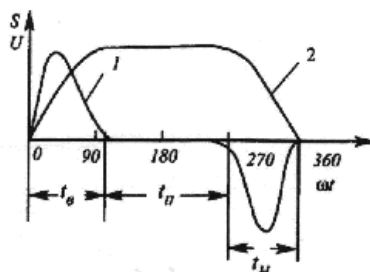
n - არის წყლის პულსაციის სიხშირე წუთში.

დალექვის პროცესის ეფექტურობა დამოკიდებულია ციკლის სახეობაზე. დალექვის პროცესში გამოყენებულია შემდეგი ძირითადი ციკლები: ჰარმონიული (სინუსოიდური), მაიერის, ტომასის და ბერდას ციკლები, (ნახ. 7.22.). ციკლები

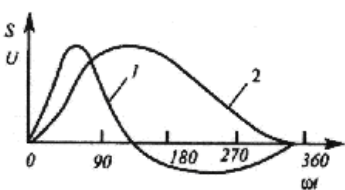
ერთმანეთისგან განსხვავდება აღმავალ-დაღმავალი სიჩქარითა და მოქმედების ხანგრძლივობით.



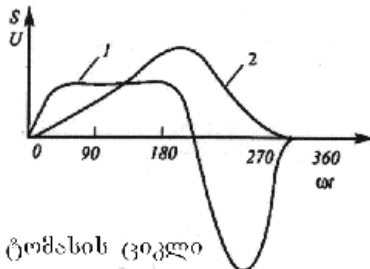
პარმონიული ციკლი



მაიერის ციკლი



ბერდას ციკლი



ტოშხის ციკლი

ნახ.7.22. დაღექის ციკლები.

დაღექის პარმონიული (სინუსოიდური) ციკლისათვის დამახასიათებელია თანაბარი სიჩქარისა და ხანგრძლივობის წყლის აღმავალი და დაღმავალი ნაკადი.

$$V_s = V_{\varnothing} \quad \text{და} \quad t_s = t_{\varnothing}$$

სინუსოიდური ციკლის დროს წყლის გადაადგილება S და სიჩქარის V ცვლილება დროში გამოისახება შემდეგი ფორმულით:

$$S = 0.5L(1 - \cos \omega t)$$

$$V = 0.5L\omega \sin \omega t$$

სადაც

L - რხევის ამპლიტუდაა;

ω - კუთხური სიხშირე, $\omega = 2\pi/60$;

V - წყლის გადაადგილების სიჩქარე;

t - ციკლის დაწყების დრო;

n - რხევის სიხშირე.

მაიერის ციკლი ხასიათდება მცირე ხანგრძლივობის აღმავალი და დაღმავალი ნაკადებით და დიდი დაყოვნებით $t_s = t_{\text{დ}}$

მაშასადამე, სწრაფმოქმედ აღმავალ და დაღმავალ ნაკადებს შორის წყალი იმყოფება უძრავ მდგომარეობაში განსაზღვრული დროის შუალედში, რომლის დროსაც წარმოებს მასალის განშრევება.

ბერდას ციკლი ხასიათდება დიდი სიჩქარისა და მცირე ხანგრძლივობის აღმავალი და მცირე სიჩქარისა და დიდი ხანგრძლივობის დაღმავალი ნაკადით.

ე.ი. $U_s = U_{\text{დ}} \text{ ხოლო } t_s < t_{\text{დ}}$

ტომასის ციკლი ხასიათდება მცირე სიჩქარისა და ხანგრძლივი მოქმედების აღმავალი ნაკადით, ვიდრე დაღმავალი ნაკადი, როგორც მახასიათებლიდან ჩანს, აღმავალი ნაკადის სიჩქარე განსაზღვრული დროის შუალედში მუდმივია.

აღნიშნული ციკლებიდან ყველაზე მეტი გავრცელება პპოვა სინუსიდურმა ციკლმა. დალექვის ციკლი არსებით გავლენას ახდენს მასალის განშრევებაზე. უდგუშო სალექი მანქანის ციკლი ჩვეულებრივ ფასდება შეკუმშული ჰაერის შეშვება, დაყოვნება და გამოშვების პერიოდთა თანაფარდობით; მაგალითად $30-10-60$ ციკლი ნიშნავს, ციკლის ერთი პერიოდის 30% განმავლობაში საპაერო განყოფილებას მიეწოდება შეკუმშული ჰაერი 10% დაყოვნება და 60% გამოშვება.

7.6 სალექი მანქანის ტექნოლოგიური პარამეტრები

სალექი მანქანის ტექნოლოგიურ პარამეტრებს მიეკუთვნება: მწარმოებლობა, საგების შრის სისქე, გადანადენის ზღუდარის სიმაღლე, წყლის ხარჯი, ცხავის ხვრეტის ზომა, წყლის რხევის ამპლიტუდა, პულსაციის რიცხვი, საგები მარცვლის ზომა და სხვა. სალექი მანქანის მწარმოებლობა იანგარიშება ემბირიული ფორმულით:

$$Q = Fq \cdot \frac{t}{\pi}$$

სადაც F სალექი განყოფილების ფართია მ^2 -ში, Q – სალექი მანქანის მწარმოებლობა, q – სალექი მანქანის ხვედრითი მწარმოებლობა $\text{ტ}/\text{მ}^2$ სთ.

ცხრილი 7.2.

სალექი მანქანების ხვედრითი მწარმოებლობა

წიაღისეულის სახეობა	გასამდიდრებელი მასალის ზომა, მმ.	ხვედრითი მწარმოებლობა, ტ/ მ^2 სთ.
რკინის მადანი	50-8	8-10
	8-3	6-8
	3-0	4-8
მანგანუმის მადანი	60-8	6-8
	8-3	4-6
	3-0	3-4
ოქროსშემცველი ქვიშრობები	3-0	11-16
ფერადი ლითონის მაღნები	8-3	6-6
	3-0	2-6
იშვიათი ლითონები	+8	7-12
	3-0	4-6
ადვილად გასამდიდრებელი ნახშირები	მსხვილი კლასი +10 წვრილი კლასი -10	15-20 14-17
საშუალო და ძნელად გასამდიდრებელი ნახშირები	მსხვილი კლასი +10 წვრილი კლასი -10	12-15 10-14

წყლის რხევის ამპლიტუდის სიდიდე დამოკიდებულია გასამდიდრებელი მასალის სიმსხოზე და სალექი მანქანის კონსტრუქციაზე. დღაფრაგმულ სალექ მანქანებში, რომლებიც გამოიყენება წვრილი მასალის გამდიდრებისათვის, ამპლიტუდის სიდიდე ცვალებადობს $5 \div 20$ – მმ-დე. დგუშიან სალექ მანქანებში ამპლიტუდის სიდიდე გასამდიდრებელი მასალის სიმსხოს მიხედვით ცვალებადობს $50 \div 140$ მმ-მდე. იმისათვის, რომ ადგილი ჰქონდეს სალექ მანქანებში მასალის სიმკვრივეების მიხედვით განშრევებას, დაცული უნდა იქნეს შემდეგი უტოლობა $U > V_{\text{აქ}}.$

U-სალექ განყოფილებაში აღმავალი ნაკადის \max -ური სიჩქარეა, $V_{\text{აქ}}$ -გასამდიდრებელ მასალაში ყველაზე დიდი სიმკვრივისა და ზომის მარცვლის შეზღუდული ვარდნის სიჩქარეა. როგორც ვიცით: $U = C \sin \varphi$. თუ მივიღებთ, რომ სალექ განყოფილებაში მასალის ატივტივებას ადგილი აქვს ექსცენტრიული ლილვის $1/8$ ნაწილით შემობრუნების დროს, მაშინ

$$\varphi = \frac{2\pi}{8} = \frac{\pi}{4}$$

და შესაბამისად $\sin \varphi = 0,7$;

მაშინ მივიღებთ $U = 0,7C$.

როგორც ვიცით, ექსცენტრიული ლილვის წრიული სიჩქარე

$$C = \frac{\pi nh}{60}, \quad \text{მაშინ } U = \frac{0,7\pi nh}{60}$$

შევიტანოთ ზედა უტოლობაში U-ს მნიშვნელობა და განვსაზღვროთ სალექ განყოფილებაში პულსაციის რიცხვი n.

$$0,7 \frac{\pi nh}{60} > V_{\text{აქ}}, \quad n > 27,3 \frac{V_{\text{აქ}}}{h}$$

h – რხევის ამპლიტუდის სიდიდეა.

დალექვის პროცესში წყლის ხარჯი დამოკიდებულია გასამდიდრებელი მასალის სახეობაზე, ზომაზე და პროცესში

გამოყენებული სალექი მანქანის კონსტრუქციაზე. 1 ტონა გასამდიდრებელ მადანზე წყლის ხარჯი ცვალებადობს 2,5-3,5 მ³/სთ., აქედან 20% ძოლშიდება გასამდიდრებელ მადანთან ერთად, 60% სალექი მანქანის I-კამერას, ხოლო 20% II კამერას.

უდგუშო სალექ მანქანებში შეკუმშული ჰაერის ხარჯი 1მ² სალექ ფართზე ცვალებადობს 3-7,5 მ³/წთ. დალექვის პროცესში, თუ გამოყენებულია ხელოვნური საგები, მაშინ მისი სიმაღლე აიღება 3-4-ჯერ მეტი, ვიდრე საგები მარცვლების მაქსიმალური ზომაა. თავის მხრივ საგები მარცვლების ზომა მინიმუმ 3-ჯერ აღემატება გასამდიდრებელი მასალის ნატეხის მაქსიმალურ ზომას და ცვალებადობს 25-35 მმ. ამ შემთხვევაში ცხავის ხვრეტის ზომა აიღება 2,5 მმ-ით მეტი გასამდიდრებელი მასალის მარცვლის სიმსხოზე. უდგუშო სალექ მანქანაში აღმავალი ჭავლის სიჩქარე ცვალებადობს 0.13-0.15 მ/წმ. ხოლო შეკუმშული ჰაერის წნევა 0.14-0.25 მ. პა.

უდგუშო სალექი მანქანებისათვის აღმავალი ჭავლის მაქსიმალური სიჩქარე იანგარიშება ფორმულით:

$$U_{\text{ააქ}} = \varphi \sqrt{2gH} \quad \text{მ/წმ}$$

სადაც

g - სიმძიმის ძალის აჩქარებაა, მ/წმ²;

H - შეკუმშული ჰაერის წნევა, მ.პა.;

φ - წნევის კარგვის კოეფიციენტი, φ=0,05-0,06.

8. დახრილ სიბრტყეზე მოძრავ წყლის ნაკადში გამდიდრება

8.1. დახრილ სიბრტყეზე წყლისა და მინერალურ მარცვალთა მოძრაობის კანონზომიერება

დახრილ სიბრტყეზე მოძრავი წყლის ნაკადში მინერალურ მარცვალთა სიმკვრივეების მიხედვით დაყოფა განხორციელებულია საკონცენტრაციო მაგიდებზე, რაბებზე, ხრახნულ სეპარატორებზე და მომრეცხ ღარებში. მცირე სიღრმის ნაკადში, რომლის ზომა არ აღემატება მაქსიმალური მარცვლის 10-ჯერად ზომას, დაყოფის სიზუსტე დამოკიდებულია წყლის მოძრაობის კინემატიკურ სტრუქტურაზე. უგავსკის მიხედვით, დახრილ სიბრტყეზე მოძრავი ნაკადის კინემატიკური სტრუქტურა დამოკიდებულია წყლის გრიგალური მოძრაობის ხასიათზე, რომელიც გამოწვეულია ფსკერის რელიეფით.

მინერალური მარცვლების შეტივტივება დახრილ სიბრტყეზე მოძრავ ნაკადში განპირობებულია გრიგალების გერტიკალური მდგენელებით. ველიკანოვის გამოკვლევების მიხედვით წარმოქმნილი გრიგალები ბრუნვით მოძრაობენ. ამ შემთხვევაში გრიგალებს შორის სივრცეში წარმოიქმნება როგორც აღმავალი, ასევე დაღმავალი ნაკადები.

დახრილ სიბრტყეზე მოძრავი ნაკადის საშუალო სიჩქარე $V_{საშ} = \frac{2}{3} V_{ზედ}$

სადაც

$V_{ზედ}$ - ნაკადის ზედა შრის მოძრაობის სიჩქარეა.

ნაკადის შრე, რომელსაც მოძრაობის საშუალო სიჩქარე აქვს, დაშორებულია ფსკერიდან h მანძილით.

$$h = 0,0423 H$$

H - ნაკადის მთლიანი სიმაღლეა.

მოძრაობის დროს წარმოქმნილი გრიგალების
ვერტიკალური სიჩქარე

$$U = K V_g$$

K – კოეფიციენტის მნიშვნელობა დამოკიდებულია
ნაკადის მოძრაობის სიჩქარეზე.

$$K = 0,055 \div 0,165$$

$$\text{როდესაც } V = 0,5 \div 3 \text{ მ/წმ.}$$

დახრილ სიბრტყეზე მოძრავ ნაკადში მოთავსებულ
მარცვლებზე მოქმედებს შემდეგი ძალები:

$$1. \text{ სიმძიმის ძალა } G = m g;$$

2. ნაკადის დინამიური ძალა $\rho_{დი} = \psi (V_{საშ} - V)^2 d^2 \Delta;$
სადაც $V_{საშ}$ - ნაკადის მოძრაობის საშუალო სიჩქარეა, მ/წმ;
 V მყარი სხეულის მოძრაობის საშუალო სიჩქარე, მ/წმ;
 $V_{საშ} - V$ - წარმოადგენს სითხეში სხეულის მოძრაობის
ფარდობით სიჩქარეს, მ/წმ;

d - სფერული ფორმის მარცვლის დიამეტრი, მ;

Δ - წყლის სიმკვრივე, კგ/მ³;

ψ - წინააღმდეგობის კოეფიციენტი.

3. ვერტიკალური სიჩქარის ამატივტივებელი ძალა

$$\rho_u = \psi U^2 d^2 \Delta$$

სადაც U- ნაკადის მოძრაობის დროს წარმოქმნილი
გრიგალების ვერტიკალური სიჩქარეა, მ/წმ;

სიმძიმის ძალა G შეგვიძლია დავშალოთ ორ მდგრელად:
ნორმალური ძლიერები $Sin\alpha$ და ვერტიკალური ძლიერები
 $GCos\alpha$. მყარი სხეულის დახრილ სიბრტყეზე მოძრაობის
მამუხრუჭებელი ძალაა F

$$F = (Gcos\alpha - \rho_u) f$$

სადაც f - ხახუნის კოეფიციენტია.

მყარი სხეულის სითხეში მოძრაობის დიფერენციალურ
განტოლებას ჩვენი შემთხვევისათვის ექნება შემდეგი სახე:

$$m \frac{dV}{dt} = \rho_u + GSin\alpha - F$$

როდესაც სხეულის მოძრაობის სიჩქარე გაუტოლდება მუდმივ სიდიდეს, მაშინ $\frac{dV}{dt} = 0$ და მივიღებთ:

$$\rho_{\varphi} + GSin\alpha - F = 0$$

შევიტანოთ სათანადო მნიშვნელობანი, მივიღებთ:

$$\psi(V_{\text{ნა}} - V)^2 d^2 \Delta + mg_0 Sin\alpha - (mg_0 Cos\alpha - \psi U^2 d^2 \Delta) f = 0$$

აქედან

$$V_{\text{ნა}} - V = \sqrt{\frac{(mg_0 Sin\alpha)}{\psi d^2 \Delta}} = \sqrt{\frac{mg_0}{\psi d^2 \Delta} (Cos\cdot f - Sin\alpha) - U^2 f}$$

სიდიდე $\frac{mg_0}{\psi d^2 \Delta}$ წარმოადგენს თავისუფალი ვარდნის სიჩქარის კვადრატს (რიტინგერის) მიხედვით. მართლაც, თუ შევიტანოთ შესაბამის მნიშვნელობებს, $m = \frac{\pi d^3}{6} \delta$, $g_0 = \frac{\delta - \Delta}{\delta} g$, მივიღებთ:

$$\frac{\frac{\pi d^3 \delta}{6} \cdot \frac{\delta - \Delta}{\delta} \cdot g}{\psi d^2 \Delta} = \frac{\pi g}{6\psi} \cdot d \frac{\delta - \Delta}{\Delta} = V_0^2$$

მაშინ მივიღებთ: $V_{\text{ნა}} - V = \sqrt{V_0^2 (Cos\alpha f - Sin\alpha) - U^2 f}$

აქედან დახრილ სიბრტყეზე მოძრავ ნაკადში მარცვლების მოძრაობის სიჩქარე:

$$V - V_{\text{ნა}} = \sqrt{V_0^2 (Cos\alpha f - Sin\alpha) - U^2 f}$$

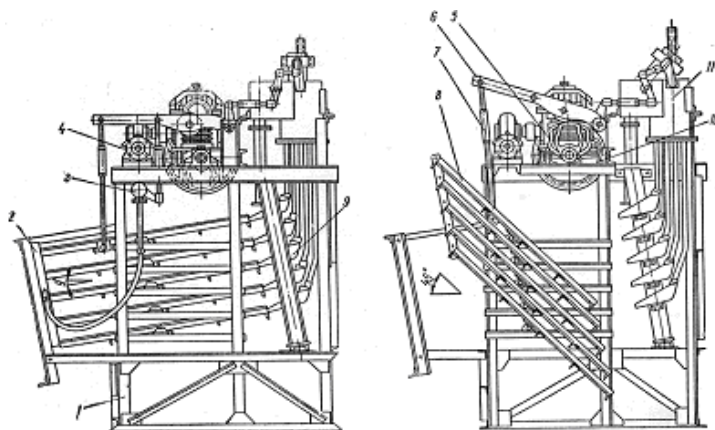
8.2 რაბებზე გამდიდრება

რაბი წარმოადგენს დახრილ ვიწრო დარს, რომელიც გამოიყენება ოქროს ქვიშრობებისა და მძიმე ლითონების შემცველი მაღნების გასამდიდრებლად. რაბები შეიძლება იყოს: ორქიმიანი და სამქიმიანი.

რაბი წარმოადგენს პერიოდული მოქმედების აპარატს, რომლის ძირშიც დაფუნილია სპეციალური დაღარული ზედაპირის მქონე რეზინი ან ქსოვილი. გასამდიდრებელი მასალა რაბებს მიეწოდება წყალთან ერთად. მძიმე ფრაქცია, რომელთა სიმკვრივე მეტია თანმხლები ფუჭი ქანის მარცვლების სიმკვრივეზე, დაილექტა რაბის ფსკერზე ტრაფარეტის ძირში, ხოლო მსუბუქი ფრაქცია ჩაირიცხება წყალთან ერთად. დაგროვილი მძიმე ფრაქციის განტვირთვა რაბებიდან წარმოებს პერიოდულად.

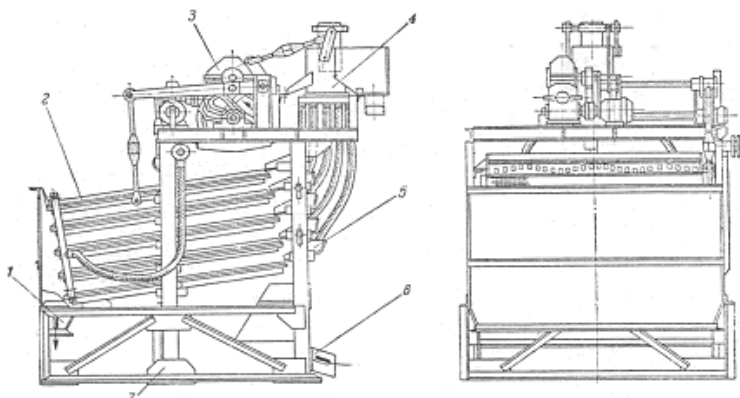
13 მმ-ზე უფრო მსხვილი მასალის გამდიდრება წარმოებს ღრმა გავსების რაბებზე, ხოლო უფრო მცირე ზომის მასალის გამდიდრება-მცირე გავსების რაბებზე.

დიდი სიმკვრივის წვრილმარცვლოვანი მასალის (0,3 მმ-მდე) გამდიდრებისათვის გამოიყენება ავტომატური რაბი, ША-1М (ნახ. 8.1.) იგი შედგება ჩარჩოზე (1) დამაგრებული ხუთი ცალი დეკასაგან (8), დეკები გამანაწილებელი სახელურების (9) საშ-ით დაკავშირებულია პულპის გამანაწილებელთან (11), მუშაობის პრინციპი მდგომარეობს შემდეგში: 9⁰-ით დახრილ დეკის ზედაპირს, რომლის ძირშიდაც დაფუნილია დაღარულ ზედაპირიანი რეზინა, პულპის გამანაწილებლიდან მიეწოდება გასამდიდრებელი მასალა. მძიმე ფრაქცია ილექტა რეზინის ტიხრებს შორის, ხოლო მსუბუქი ფრაქცია ჩაირეცხება წყლის ჭავლის საშუალებით. ყოველი 4 წთ-ის შემდეგ დეკები ამძრავი მექანიზმის საშუალებით შემობრუნდება 45⁰-ით და დეკის ზედაპირს ონკანის (3) საშუალებით მიეწოდება წყალი, რომელიც იწვევს დალექტილი მძიმე ფრაქციის ჩარცეცხას. ავტომატური რაბი ША-1М გამოიყენება ოქროს, პლატინის, კალისა და ვოლფრამის ქვიშრობების გამდიდრებისათვის, (ნახ. 8.2.) მოცემულია 34-KC მარკის ავტომატური რაბი.



ნახ. 8.1. ავტომატური რაბი 3A-1M

1—სადგარი; 2—საშეფე; 3—ონკანი; 4—ამძრავი მექანიზმი; 5—ამძრავი მექანიზმის მუშტა; 6—ამძრავი მექანიზმის ბერკეტი; 7—საწევი; 8—დეგი; 9—გამანაწილებელი ღარი; 10—კბილათვალი; 11—ბულბის გამანაწილებელი.



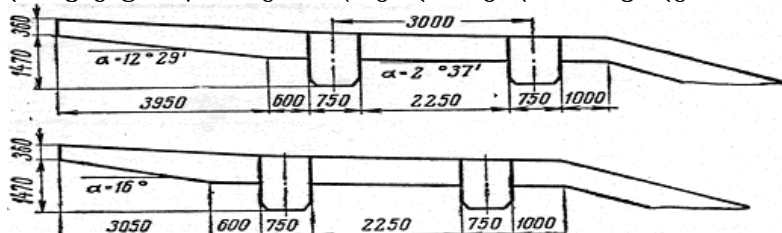
ნახ. 8.2. ავტომატური რაბი 34-KC

1—გუდეგბის განმტვირთი კამერა; 2—დეგი; 3—ამძრავი; 4—ბულბის გამანაწილებელი; 5—გამანაწილებელი ღარი; 6—კონცენტრატის განმტვირთი კამერა; 7—სადგარი.

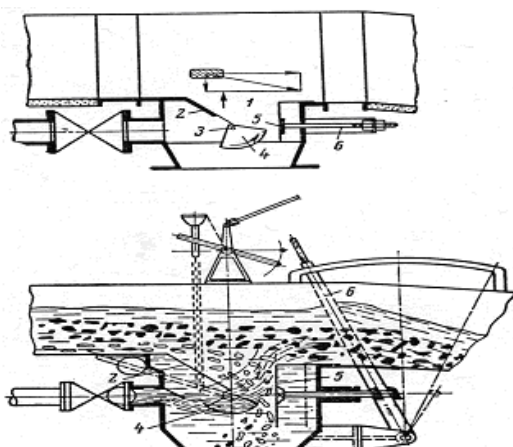
მომრეცხი ღარი (ნახ. 8.3.) გამოიყენება ქვანახშირის გამდიდრებისათვის. რაბებისაგან განსხვავებით მომრეცხ ღარებში განუწყვეტლივ წარმოებს მძიმე ფრაქციის

განტვირთვა. მომრეცხი ღარების მუშაობის მაჩვენებელი დიდადაა დამოკიდებული ღარებში წყლის ნაკადის მოძრაობის სიჩქარეზე, რომლებიც განაპირობებს ნახშირების შეტივტივების სიმაღლეს. მომრეცხი ღარის ფსკერზე დამონტაჟებულია განმტვირთი კამერები. (ნახ. 8.4.)

მომრეცხი ღარებში ნახშირების გამდიდრების დროს დიდი მნიშვნელობა ენიჭება ზღუბლის სიმაღლეს, რომელიც იდგმება განმტვირთი კამერის შემდეგ ღარის მთელ სიგრძეზე. მსუბუქი ფრაქცია ღარში მოძრაობის დროს ატივტივდება ვერტიკალური გრიგალების მიერ, ხოლო მძიმე ფრაქცია მოძრაობს წყალთან ერთად ღარის ძირში და განიტვირთება კამერის საშუალებით. კამერაში ნახშირის დამატებითი კლასიფიკაცია წარმოებს აღმავალი ნაკადის საშუალებით.



ნახ. 8.3. მომრეცხი ღარის სქემა



ნახ.8.4 კამერიდან
მძიმე ფრაქციის
განმტვირთი
მოწყობილობა.

1-ხვრელი; 2-ფირფიტა;
3-ლერდი; 4-რხევადი
სუქტორული საკეტი;
5-გადასაღვილებელი
საფარი; 6-სახელური.

8.3 საკონცენტრაციო მაგიდებზე გამდიდრება

საკონცენტრაციო მაგიდები გამოიყენება წვრილ-მარცვლოვანი მაღიდებისა და ნახშირების გამდიდრებისათვის

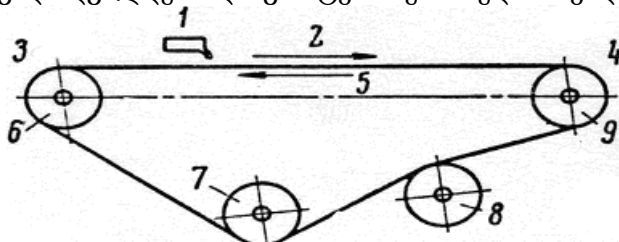
საკონცენტრაციო მაგიდები ორი სახისაა:

1. უძრავი საკონცენტრაციო მაგიდები,

2. მოძრავი საკონცენტრაციო მაგიდები – ლენტური და რხევადი.

უძრავი საკონცენტრაციო მაგიდები – მიეკუთვნება პერიოდულად მომუშავე აპარატურას. გამოიყენება ოქროს ქვიშრობებისა და სხვა დიდი სიმკვრივის მქონე მეტალების გამდიდრებისათვის.

მოძრავი ლენტური მაგიდის (ნახ. 8.5.) ლენტი დადგმულია მცირე დახრით და მოძრაობს დახრის საწინააღმდეგო მიმართულებით. ლენტის ზედა თავთან წარმოებს გასამდიდრებელი მასალის წყალთან ერთად მიწოდება (1). მსუბუქი ფრაქცია (4) ჩაირცხება წყლის ჭავლის (2) მიერ დახრის მიმართულებით, ხოლო მძიმე ფრაქცია (3) ლენტან ერთად გადაადგილდება და განიტვირთება ზედა თავიდან.

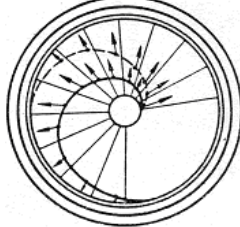


ნახ. 8.5. ლენტური საკონცენტრაციო მაგიდის სქემა.

1,2–მასალის და წყლის მიწოდება; 3–კონცენტრატი; 4–კუდები; 5–ლენტის მოძრაობის მიმართულება; 6–წარმყვნი გორგოლაჭი; 7,8–დაჭიმი გორგოლაჭები; 9–მიმყოლი გორგოლაჭი.

წრიული მაგიდა (ნახ. 8.6.) წარმოადგენს კონუსურ ზედაპირს დამეტრით $5 \div 10$ მ-დე, რომელსაც პულპა მიეწოდება კონუსის წვერში. კონუსის ბრუნვის შედეგად წარმოებს პულპის განაწილება ზედაპირზე. მსუბუქი ფრაქციის

მოძრაობის ტრაექტორია აღნიშნულია წყვეტილი ხაზით, ხოლო მძიმე ფრაქციის უწყვეტი ხაზით. მაგიდან საბოლოო პროდუქტების განტვირთვა წარმოებს დარების საშუალებით.

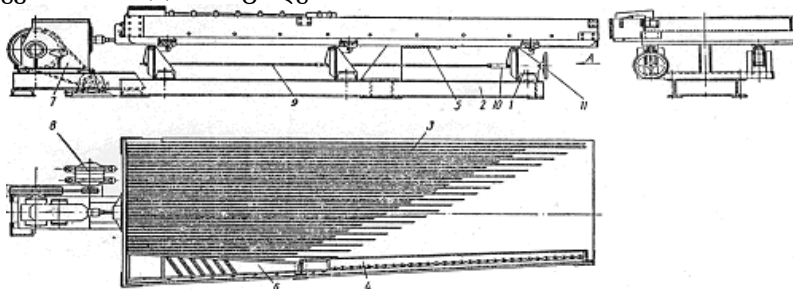


ნახ. 8.6. წრიულ მაგიდაზე მასალის განაწილების სქემა.

რხევადი საკონცენტრაციო მაგიდები CK-ტიპის ფართოდ გამოიყენება წვრილმარცვლოვანი მასალის გამდიდრებისათვის. მაგიდის რხევის მიმართულება თანამედროვე საკონცენტრაციო მაგიდებში პერპენდიკულარულია მაგიდის ზედაპირზე ჭავლის მოძრაობის მიმართულებისა.

რხევადი საკონცენტრაციო მაგიდები მზადდება გლუვ-ზედაპირიანი (შლამების გამდიდრებისათვის) და დაღარულ ზედაპირიანი (მარცვლოვანი მასალის გამდიდრებისათვის).

საკონცენტრაციო მაგიდის (ნახ.8.7) დეკა (5)-საყრდენი, გორგოლაჭების (3) საშუალებით დამონტაჟებულია სადგარზე. დეკას რხევითი მოძრაობა განხორციელებულია ამძრავი მექანიზმის (1) საშუალებით.

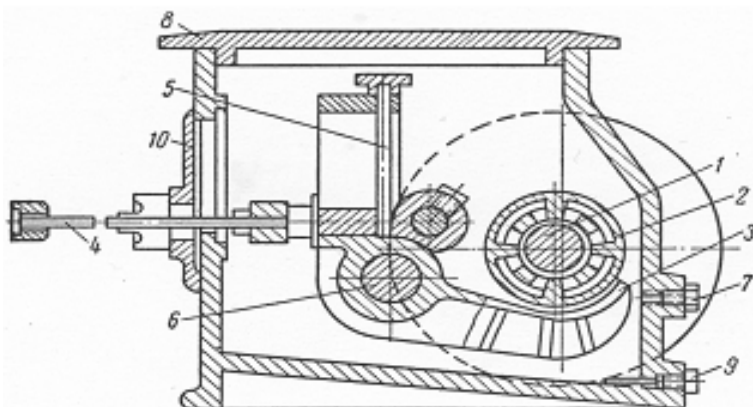


ნახ. 8.7. რხევადი საკონცენტრაციო მაგიდა CK-1.

1,2—მაგიდის სადგარი; 3—რეზინის ღარები; 4,6— მასალისა და წყლის მიმწოდებელი ღარი; 5—დეკა; 7,8—ამძრავი მექანიზმი; 9,10,11—დეკას დახრის სარეგულირო მექანიზმი.

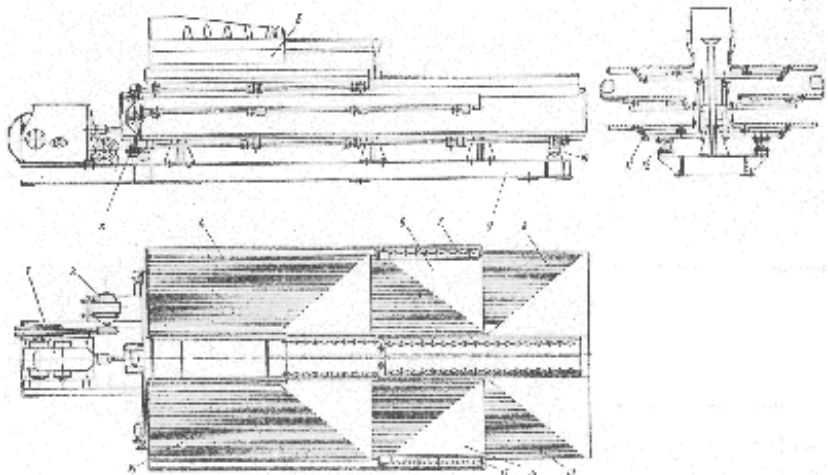
დეკას ზედაპირზე დაწებებულია რეზინის ღარები. დეკას დახრის რეგულირება წარმოებს სარეგულირო მექანიზმის (4) საშუალებით. წვრილი მასალის გამდიდრებისას საკონცენტრაციო მაგიდების დეკას დახრის კუთხე შეადგენს $4\text{--}6^0$ -ს, ხოლო მსხვილი მასალის გამდიდრებისას $6\text{--}10^0$ -ს. დეკას რჩევითი მოძრაობა განხორციელებულია ამძრავი მექანიზმიდან (ნახ.8.8.). ექსცენტრული ლილვის (1) ბრუნვის შედეგად ჭოკის (4) საშუალებით რჩევითი მოძრაობა გადაეცემა საკონცენტრაციო მაგიდის დეკას.

საკონცენტრაციო მაგიდის დეკას სვლის სიგრძის რეგულირება წარმოებს სარეგულირო მექანიზმის (5) საშუალებით.



ნახ. 8.8. რჩევითი საკონცენტრაციო მაგიდის ამძრავი მექანიზმი.

1—ექსცენტრული ლილვი; 2—გორგოლაჭი; 3—მუხლა ბერკეტი; 4—ჭოკი; 5—სარეგულირო ხრახნი; 6—მუხლა ბერკეტის ექსცენტრული ლილვი.



8.9. სამ იარუსიანი საკონცენტრაციო მაგიდა **YAK-1B**

1,2—ამძრავი მექანიზმი; 3—სამაგრი მექანიზმი; 4,16—ზედა მარჯვენა და მარცხენა დეკა; 5—პულბისა და წყლის მიმწოდებელი ცენტრალური ღარი; 6,14—შუა მარცხენა და მარჯვენა დეკა; 7,15 წყლის მიმწოდებელი ღარი; 8,13 ქვედა დეკები; 9—სადგარი; 10,11,12—სარეგულირო მექანიზმი.

სამ იარუსიანი საკონცენტრაციო მაგიდა (ნახ.8.9.) შედგება თორმეტი ცალი დეკასაგან (4, 6, 8, 13, 14, 16). გასამდიდრებელი მასალა მიეწოდება ზედა დეკას გამანაწილებელი ღარის საშუალებით.

ცვალებადი მიმართულებით რჩევადი საკონცენტრაციო მაგიდის დეკას ზედაპირზე მოთავსებული მარცვალი მოძრაობას იწყებს იმ შემთხვევაში, როდესაც ინერციის ძალის სიდიდე გადააჭარბებს ხახუნის ძალას.

$$m\alpha > G_0 f$$

G_0 სხეულის წონაა სითხეში.

როგორც ვიცით:

$$G_0 = \frac{\pi d^3}{6} (\delta - \Delta) g$$

$$\text{აქედან } \text{სხეულის } \text{აჩქარებაა } \alpha \geq \frac{G_0}{m} f$$

სხეულის მოძრაობის სიჩქარე საკონცენტრაციო მაგიდის ზედაპირზე განპირობებულია ორი ძირითადი ფაქტორით: წონითა და ხახუნის კოეფიციენტით.

რაც უფრო მეტია სხეულის წონა, მით უფრო მეტია მოძრაობის სიჩქარე.

საკონცენტრაციო მაგიდებზე გამდიდრებისათვის მასალა მზადდება ჰიდრავლიკური კლასიფიკაციით. ჰიდრავლიკური კლასიფიკაციის შედეგად მიღებულ ფრაქციებში გვაქვს ერთი და იგივე თავისუფალი ვარდნის სიჩქარის მქონე მსუბუქი და მძიმე მინერალის მარცვლები. მსუბუქი მინერალი წარმოდგენილია დიდი ზომის, ხოლო მძიმე მინერალი შედარებით მცირე ზომის მარცვლებით.

დეკას რხევის შედეგად მსუბუქი და მძიმე მინერალის მარცვლები იწყებენ მოძრაობას სხვადასხვა აჩქარებით: რადგანაც მძიმე მინერალების წონა და ხახუნის კოეფიციენტი მეტია, ამ შემთხვევაში მეტია მათი საწყისი აჩქარებაც. ჩამრეცხი წყლის ჭავლის საშუალებით მსუბუქი მინერალები (დიდი მოცულობის გამო) იმოძრავებს უფრო დიდი სიჩქარით, ვიდრე მძიმე მინერალის მარცვლები. ორივე ამ სიჩქარის ერთობლივი მოქმედების შედეგად მსუბუქი და მძიმე მინერალების მარცვლების მოძრაობის სიჩქარის ვექტორები დახრილია ჰორიზონტისადმი სხვადასხვა კუთხით. მძიმე მინერალის მარცვლები განიტვირთება საკონცენტრაციო მაგიდის დეკას ჩამტვირთი თავიდან მოშორებით, ხოლო მსუბუქი მინერალის მარცვლები ჩამტვირთი თავთან ახლოს.

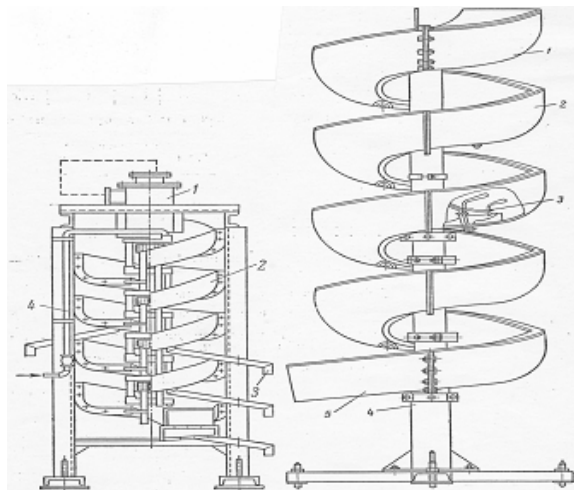
8.4 ხრახნულ სეპარატორებზე გამდიდრება

ხრახნულ სეპარატორებში წიაღისეულის სიმკვრივის მიხედვით დაყოფა წარმოებს ცენტრიდანული ძალის საშუალებით.

ხრახნული სეპარატორი (ნახ. 8.10.) შედგება შემდეგი ნაწილებისაგან.: პულპის მიმღები (1), ხრახნული ღარი (2), გამდიდრების შედეგად მიღებული პროდუქტების მოქვეთი (3).

გასამდიდრებელი მასალა მიეწოდება ხრახნული ღარის ზედა ნაწილს. მასალის სიმკვრივის მიხედვით დაყოფა წარმოებს ცენტრიდანული ძალის, სიმძმის ძალის, ჰიდრაულიკური ძალისა და ხახუნის ძალების ერთობლივი ზემოქმედების შედეგად.

ერთობლივი ზემოქმედების შედეგად მძიმე მინერალის მარცვლები თავს იყრის ღარის ცენტრალურ ნაწილში და განიტვირთება მოქვეთის (3) საშუალებით. მსუბუქი მინერალის მარცვლები მოძრაობს პერიფერიაზე. ხრახნული სეპარატორები გამოიყენება 4 მმ-ზე უფრო წვრილი მასალის გამდიდრებისათვის.



ნახ. 8.10. ხრახნული სეპარატორი.

1—პულპის მიმღები; 2—ხრახნული ღარი; 3—მძიმე ფრაქციის განმტკირობის ღარი; 4—წყლის მიწოდებელი მიღლი; 5—გადანადენის ღარი.

9. ცენტრიდანულ კონცენტრატორებში გამდიდრება

ტრადიციული ტექნოლოგიური პროცესების (საკონცენტრაციო მაგიდები, ხრანტული სეპარატორები, სალექტი მანქანები და რაბები) გამოიყენებით შეუძლებელია წვრილმარცვლოვანი კეთილშობილი და იშვიათი ლითონების ამოკრეფის პროცესების გადაწყვეტა.

უკანასკვნელ წლებში ოქროსშემცველი მაღნების გრავიტაციული გამდიდრების ტექნოლოგიური პროგრესის განვითარებასთან დაკავშირებულია ცენტრიდანული კონცენტრატორების შექმნა, რომლებშიდაც სიმკვრივეების მიხედვით დაყოფა განხორციელებულია ჰიდროდინამიკური, ცენტრიდანული, გრავიტაციული და არქიმედეს ძალების ურთიერთობოქმედებით.

ცენტრიდანული კონცენტრატორები გამოიყენება მინერალური ნედლეულის წვრილმარცვლოვანი დისპერსიული მასალის გასამდიდრებლად, რომელთა შემცველობა, მაგალითად ოქროს ქვიშრობულ მაღნებში საშუალოდ 40-60 %-ია, ზოგჯერ 80-90%-ს აღწევს. აღნიშნული ზომის მასალის სიმკვრივეების მიხედვით გრავიტაციული ველით დაყოფა არაეფექტურია, რაც გამოწვეულია მარცვალთა მცირედ განსხვავებული ვარდის სიჩქარეების გამო. ცენტრიდანულ კონცენტრატორებში წვრილმარცვლოვანი მასალის გამდიდრება ეფექტურია, რადგან მათში გაყოფის ფაქტორი გრავიტაციულ ველთან შედარებით 100-ჯერ და მეტად იზრდება.

ცენტრიდანული კონცენტრატორები პულპის მიწოდების მიხედვით იყოფა ორ ჯგუფად:

1. დაწევითი — ციკლონები (მოკლეკონუსური და ჩვეულებრივი)
2. არადაწევითი — ცენტრიფუგები („ოროკინი”, „კნელსონი”, „ფალკონი”, „იტომაკი” და სხვა)

მსოფლიოში ოქროსშემცველი მადნების გამდიდრების პრაქტიკაში ფართოდ გამოიყენება „კნელსონის”, „ფალკონის”, „გულდელდის”, „ოროკონის”, „იტომაკის” კონცენტრატორები, ККГЦ მოკლეკონუსური ჰიდროციკლონები და ცენტრიდანული სალექი მანქანები.

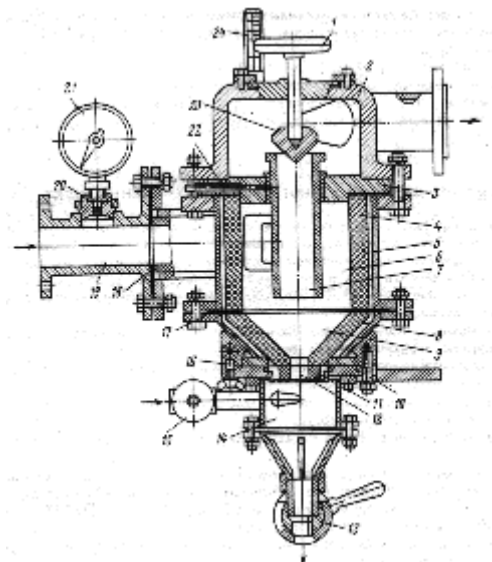
ცენტრიდანული კონცენტრატორების ძირითადი ტექნოლოგიური პარამეტრებია ჩამრეცხი წყლის წნევა და როტორის ბრუნვის სიჩქარე. ჩამრეცხი წყლის წნევა დამოკიდებულია გასამდიდრებელი მასალის ზომაზე და ცვალებადობს 0.01–0.05 მ.პ.

ცენტრიდანული კონცენტრატორები გამოირჩევა დიდი ხვედრითი მწარმოებლობით და ეფექტურობით, მცირე ელექტრო ენერგიის ხარჯით, წონით და გაბარიტული ზომებით.

9.1. ციკლონებში გამდიდრება.

სამთამადნო მრეწველობაში ციკლონები (კონუსურობის კუთხით $10\text{--}20^0$) ჩვეულებრივ გამოიყენება კლასიფიკაციისა და გაუშლამების პროცესში. ცნობილია, რომ კლასიფიკაციის პროცესში მარცვლის სიმკვრივე მცირე გავლენას ახდენს სიმსხოს მიხედვით მათ დაყოფაზე.

მეცნიერული კვლევების საფუძველზე დადგინდა, რომ კონუსურობის კუთხის $90\text{--}140^0$ -მდე გაზრდით ჰიდროციკლონებში დაყოფა წარმოებს არა სიმსხოს მიხედვით არამედ სიმკვრივეების მიხედვით.



ნახ. 9.1. მოკლეეკონუსური ჰიდროციკლონი

1—ქწევარა; 2—გადანადენის კამერა; 3—დიაფრაგმა; 4—5—8—ამონაგი; 6—კორპუსის ცილინდრული ნაწილი; 7—გადანადენის ნაცმი; 9—კონუსური ნაწილი; 10—რგოლი; 11—18—საგბი; 12—სილების ნაცმი; 13—სილების საკეტი; 14—ვორტექსი; 15—ვენტილი 16—დამჭირი მოწყობილობა; 17—შუასაღები; 19—ძკვბავი მილევლი; 20—მეტბრანა; 21—მანომეტრი; 22—ხრახნი; 23—სარქველი; 24—დგარი.

ჰიდროციკლონები კონუსურობის კუთხით $90-140^{\circ}$ —ი (ნახ.9.1) გამოიყენება წვრილმარცვლოვანი მასალის გასამდიდრებლად.

გამამდიდრებელი ჰიდროციკლონის მუშაობაზე დიდ გავლენას ახდენს კონსტრუქციული (დიამეტრი, კუთხე, კონუსის პროფილი, ცილინდრული ნაწილის სიმაღლე, მკვეთრები, გადანადენი და სილების ნაცმის დიამეტრის ზომები) და ტექნოლოგიური (საწყისი მასალის ზომა, პულპის წნევა და განზავება) პარამეტრები.

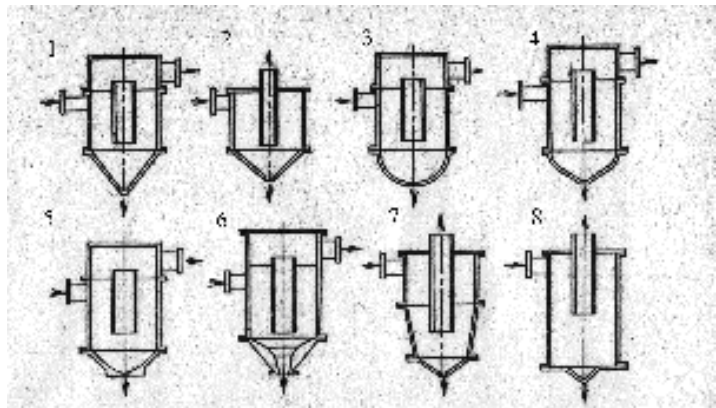
ციკლონის დიამეტრი უნდა შეესაბამებოდეს გასამდიდრებელი მასალის ზომასა და მწარმოებლობას. ცენტრიდანული კლასიფიკაციის თეორიის მიხედვით გასაყოფი

მასალის სიმსხო პროპორციულია სიდიდის \sqrt{D} , ე.ი. გადანადენში წმინდა მასალის გამოყოფა შესაძლებელია პატარა დიამეტრის პიდროციკლონებში, მოკლეკონუსიან პიდროციკლონებში დიამეტრის ზრდასთან ერთად იზრდება, როგორც წმინდა, ასევე მსხვილმარცვლოვანი მასალის გამდიდრების ტექნოლოგიური მაჩვენებლები. ეს ეფექტი არ აიხსნება მასალის ცენტრიდანული დაყოფის პოზიციიდან, რადგან პიდროციკლონის დიამეტრის გაზრდით მცირდება ცენტრიდანული აჩქარება და იზრდება ნაკადის ტურბოლენტობა, რაც დაკავშირებულია კონუსურ ნაწილში სეპარაციის პროცესის თავისებურებაზე, რაც, ჯერჯერობით, სრულყოფილად არ არის შესწავლილი.

კონუსურობის კუთხის გაზრდით მცირდება სილების გამოსავალი და მასალის კლასიფიკაციის უფექტურობა, მაგრამ გამდიდრების ეფექტურობა იზრდება.

უხეშდისპერსიული მასალის გასამდიდრებლად მიზანშეწონილია $120-140^0$ კუთხის კონუსი, ხოლო წვრილმარცვლოვანი ($74-44$ მიკრონზე მცირე) მასალისათვის ეფექტურია $90-120^0$ კონუსურობის კუთხის პიდროციკლონები.

კონუსის პროფილი სხვადასხვა ტიპის პიდროციკლონებში სხვადასხვაა, ცნობილია მოკლეკონუსური პიდროციკლონები კონუსური ნაწილის სხვადასხვა პროფილით – ერთსაფეხურიანი და სამსაფეხურიანი კონუსით, ნახევრადსფერული და კომბინირებული (ნახ.9.2).



**ნახ. 9.2. სხვადასხვა კონსტრუქციის მოკლეკონუსური
პიღროციკლონები**

1-3-5-6-7-ა.შ.შ. 2-რუსეთი; 4-პოლონეთი; 8-გერმანია;

კანადის პრაქტიკული მონაცემებით ოქროს ქვიშრობული მაღნების გასამდიღრებლად სამსაფეხურიანი პროცესილის კონუსის გამოყენება საშუალებას იძლევა გავზარდოთ თავისუფალი ოქროს ამოკრეფა.

ცილინდრული ნაწილის სიმაღლის გაზრდა მუდმივი მწარმოებლობის დროს იწვევს წნევისა და საგების მარცვალთა გადაადგილების სიჩქარის შემცირებას. მაშასადამე, მცირდება საგების ფორმიანობა და სეპარაციის ეფექტურობა. გ. ლოპატინის ექსპერიმენტალური მონაცემებით ცილინდრული ნაწილის ოპტიმალური სიმაღლე მისი დიამეტრის 1-1.5-ია ე.ი. $H = (1-1.5)D$, ხოლო გადანადენის მილყელის სიმაღლე არ უნდა აღემატებოდეს ცილინდრის სიმაღლეს.

მკვებავი, გადანადენის მილყელისა და სილების ნაცმის დიამეტრი გავლენას ახდენს გამდიდრების ტექნოლოგიურ მაჩვენებლებზე, ოპტიმალური მნიშვნელობის გაზრდით ან შემცირებით უარესდება გაყოფის ეფექტურობა, ოპტიმალური მნიშვნელობა დამოკიდებულია პიღროციკლონის დიამეტრზე, ხოლო მათი თანაფარდობა—მიწოდებული პულპის წნევაზე.

$$\begin{aligned}
 & \text{მკვებავი მიღწუჩის დიამეტრი } d_{\text{გა}} = 0.2D \\
 & \text{გადანადენის} \quad \quad \quad \text{მიღყელის} \quad \quad \quad \text{დიამეტრი} \\
 & d_{\text{გა}} = (0.232 - 0.256)D \\
 & \quad \quad \quad \left(d_{\text{გა}} / d_{\text{გა}} \right)^2 = 3 - 1.67H
 \end{aligned}$$

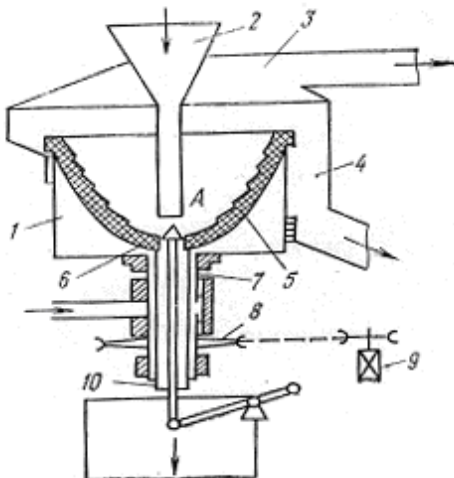
სადაც H - მიწოდებული პულპის წნევა $H = 0.08 \div 0.12$ მ.პა. გამამდიდრებული ჰიდროციკლონებისათვის, რომლებსაც პულპა მიეწოდებათ $0.08 \div 0.1$ მ.პა. წნევით, რეკომენდირებულია გადანადენისა და მკვებავი მიღწუჩის დიამეტრთა შემდეგი ოპტიმალური თანაფარდობა

$$\begin{aligned}
 & d_{\text{გა}} / d_{\text{გა}} = 1.16 \div 1.28 \\
 & \text{ზოლო} \quad \text{სილებისა} \quad \text{და} \quad \text{გადანადენის} \quad \text{დიამეტრთა} \\
 & \text{თანაფარდობა} \quad \text{ცვალებადობს} \\
 & d_{\text{გა}} / d_{\text{გა}} = 0.15 - 0.4
 \end{aligned}$$

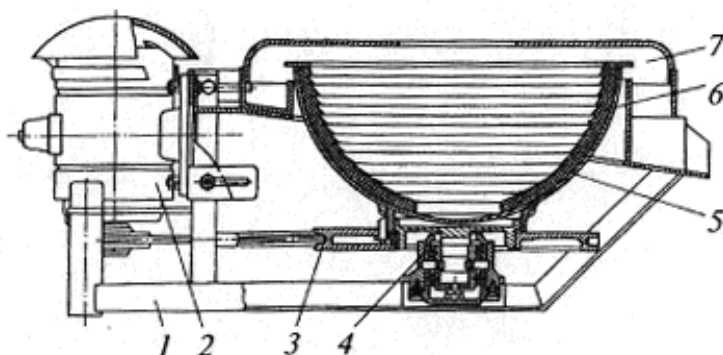
მაშასადამე, გამამდიდრებულ ჰიდროციკლონებში მინერალის მარცვალთა დაყოფის ეფექტურობა დამოკიდებულია გადანადენისა და სილების ნაცმის ზომებზე, რომელთა ოპტიმალური მნიშვნელობების დადგენა წარმოებს ექსპერიმენტების საშუალებით.

9.2. ცენტრიფუგებში გამდიდრება.

არადაწნევითი ცენტრიდანულ კონცენტრატორებში (ნახ. 9.3.) ცენტრიდანული ძალა წარმოიქმნება კონუსური პერფორირებული როტორის ბრუნვის შედეგად, რომელიც წარმოადგენს მის მუშა ნაწილს. კონცენტრატორები ერთმანეთისგან მასალის გაფხვიერების ხერხის მიხედვით განსხვავდებიან.



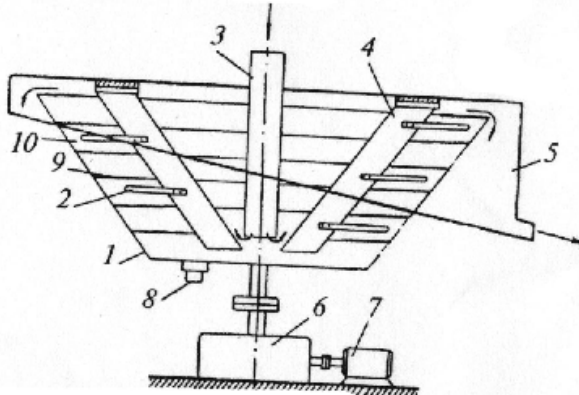
ნახ.9.3. ცენტრილანული კონცენტრატორის სქემა
 1—ცილინდრული კორპუსი; 2—მკვებავი მილი; 3—ხუფი; 4—გადანადენის ღარი; 5,6—პერფორირებული ჯამი; 7—ლილვი; 8,9—ამძრავი; 10—კონცენტრატორის განმტვირთი მილი.



ნახ.9.4. კონცენტრატორ-ცენტრიფუგა
 1—სადგარი; 2—ელმრავი; 3—შკივი; 4—საკისარი;
 5,6—პერფორირებული ჯამი; 7—ხუფი.

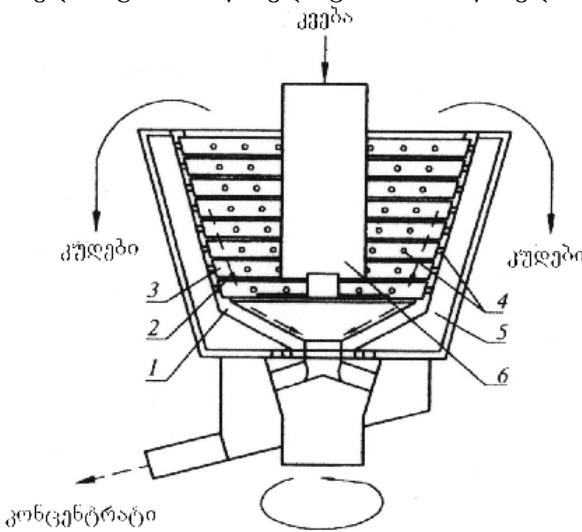
ცენტრიფუგები — საგების გაფხვიერების გარეშე (ნახ. 9.4.), საგების მექანიკური გაფხვიერებით — („ოროკონი”)

(ნახ. 9.5) საგების ჰიდრომექანიკური გაფხვიერებით „კნელსონი”, „ფალკონი”, „იტომაკი” და სხვა.



ნახ.9.5. ცენტრიდანული კონცენტრატორი „ოროკონი”

1—კონუსური როტორი; 2—გამფენიური ბლები; 3—მკედავი მილი; 4—კონსოლი; 5—გადანადენის ღარი; 6—რედუქტორი; 7—ელძრავი; 8—ხრახნული საკობი; 9—წროული ტიხარი; 10—წრიული დარტბი.

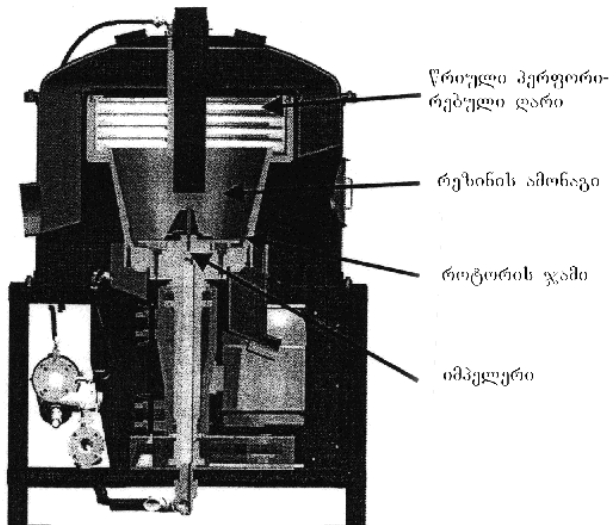


ნახ. 9.6. ცენტრიდანული კონცენტრატორი „კნელსონი“ (კანალი)

1-როტორი; 2-წროული ტიხარი; 3-წროული ღარი; 4-ხვრელი;
5-ჩამრეკხი წყლის კლემტორი; 6-ძაფბავი მილი.

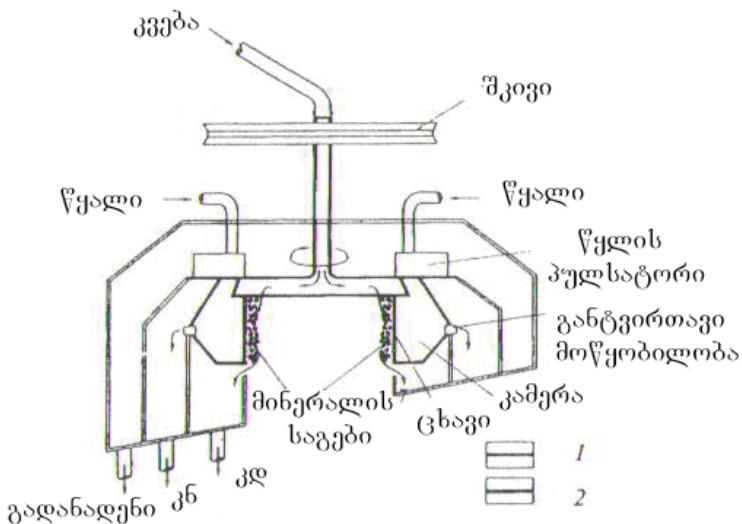
ცენტრიდანული კონცენტრატორი „კნელსონი” (ნახ. 9.6) შედგება პერფორირებული კონუსური როტორისაგან (1), რომლის შიგა ზედაპირი წრიულად არის დაღარული (3), ღარები ერთმანეთისაგან განხოლოებულია წრიული ტიხრებით (2), საგების გაფხვიერება განხორციელებულია კოლექტორში წნევით მიწოდებული წყლის ნაკადით. კონცენტრატორს გასამდიდრებელი მასალა (2÷6 მმ) წყალთან ერთად მიეწოდება მკვებავი მილის (6)საშუალებით. როტორის ბრუნვის (60 გ) შედეგად წარმოქმნილი ცენტრიდანული ძალით მსუბუქი მინერალები წარიტაცება და განიტვირთება გადანადენის სახით, ხოლო მძიმე ფრაქცია (კონცენტრატი)დაილექტა წრიულ ღარებში, განსაზღვრული დროის შემდეგ ღარებში დალექტილი მძიმე ფრაქცია განიტვირთება წყლის ნაკადით. კნელსონის კონცენტრატორები მზადდება 6 ტიპის როტორის დიამეტრით 76-დან 1250 მმ-მდე.

კონცენტრატორ „ფალკონი” (ნახ.9.7) გააჩნია განსაკუთერებული თავისებურებანი: როტორი დამზადებულია წრიული ტიხრების გარეშე, ცვეთაგამძლე რეზინის ამონაგით; მაღალი ცენტრიდანული აჩქარება (300 გ). გასამდიდრებელი მასალა მაქსიმალური ზომით- 2მმ-მდე წყალთან ერთად მყარის 45% შემცველობით მიეწოდება კონცენტრატორს. აღნიშნული ტექნოლოგიური პარამეტრებით შესაძლებელია მძიმე მინერალების უფრო ღრმა გამდიდრება და შედარებით დაბალი ხარისხის კონცენტრატორის მიღება.



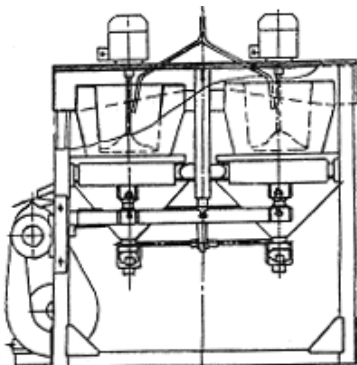
ნახ.9.7. ცენტრიდანული კონცენტრატორი „ფალკონი“
(კანადა)

ცენტრიდანული სალექი მანქანა „Campbell“ (ნახ.9.8.) შედგება სალექ კამერაში 100 გ აჩქარებით მბრუნავ ცილინდრული ცხრილისაგან, რომელსაც გასამდიღრებელი მასალა მიეწოდება ღრუ ლილვიდან. საგების გაფხვიერება განხორციელებულია ცხრილქვედა წყლის ნაკადით. მსუბუქი ფრაქცია განიტვირთება ცხრილზედა კლასის სახით, ხოლო მძიმე ცხრილქვედა. დალექვის პროცესი რეგულირდება : ამპლიტუდის, პულსაციის სიხშირისა და ცილინდრული ცხრილის ბრუნვის სიჩქარის ოპტიმალური მნიშვნელობის შერჩევით. „Campbell“ დამამზადებელი კომპანიის („Tranz Maz“) ინფორმაციით ოქროსშემცველი წმინდა ფრაქციის გადამუშავებისას სალექი მანქანა უზრუნველყოფს 80-90% ლითონის ამოკრეფას.



ნახ. 9.8. ცენტრიდანული სალექი მანქანის სქემა (ა.შ.შ.)
1—მბრუნავი ნაწილი; 2—უძრავი ნაწილი.

ცენტრიდანული სალექი მანქანა ЦОМ (ნახ.9.9) შედგება ვერტიკალურად მბრუნავი ორი ცილინდრული სალექი კამერისაგან. კამერის მუშაობა შესაძლებელია პარალელურად ან მიმდევრობით რეჟიმში. საგების გაფხვიერება განხორციელებულია დიაფრაგმის რხევით ანალოგიურად МОД ტიპის სალექი მანქანებისა.



ნახ. 9.9.
ცენტრიდანული სალექი მანქანის სქემა (რუსეთი)

ცენტრიდანული კონცენტრატორებში მინერალური ნედლეულის გამდიდრების ეფექტურობა დამოკიდებულია საწყის მასალაში სასარგებლო კომპონენტის მარცვლის ზომაზე და გაყოფის ფაქტორზე. (ცხრ.9.1; 9.2)

ცხრილი № 9.1.

კონცენტრატორის ტიპი	გაყოფის ფაქტორის მნიშვნელობა, F _g		εK
	ოპტიმალური	მაქსიმალური	
ოროკონი (ა.შ.შ)	8	10-15	0.25
ქნელსინი (კანალა)	60	100	0.65
ფალკონი (კანალა)	200	300	0.40
MGS(დიდი ბრიტანეთი)	5-15	15	1.0
გელსუუ(ავსტრალია)	6	100	0.85

ცხრილი № 9.2.

მდიმე მარცვლი ს ზომა, მ.მკ.	ფეროსილიციუმის ამოკრეფა, %.		ვოლფრამის ამოკრეფა, %	
	ЦВК-10 0	„ქნელსინი”– 3	ЦВК-10 0	„ქნელსინი”– 3
160	75.5	99.8	99.5	99.9
130	90.1	99.2	99.8	99.9
100	98.1	99.1	99.9	99.9
70	99.5	94.2	99.9	99.9
40	94.5	84.2	99.7	99.6
20	81.7	60.7	96.2	95.1
15	66.7	28.3	84.3	85.0
10	39.0	15.1	65.5	62.3

10. მაღნეულის მორეცხვა

10.1 მორეცხვის პროცესის არსი და დანიშნულება

დანალექი და ქვიშრობული საბადოების მაღნებში მინერალები შეცემნტებულია ერთმანეთთან თიხის საშუალებით. თიხა, პლასტიკური დანალექი ქანია, რომლის ძირითადი შემადგენელი კომპონენტია: S_iO_2 (30 – 70%); Al_2O_3 (10 – 40%) და H_2O (5 – 10%). ასეთი მაღნების გამდიდრებისათვის აუცილებელია მათი წინასწარი მორეცხვა. მორეცხვის შედეგად წარმოებს სასარგებლო კომპონენტისა და ფუჭი ქანის მარცვლების ერთმეორესთან დაშორება (დეზინტეგრაცია). ზოგიერთ შემთხვევაში მორეცხვის საშუალებით წარმოებს მაღნების ნაწილობრივი გამდიდრება, ფუჭი ქანისა და თიხების მოშორების ხარჯზე. მოსარეცხ მაღნებს მიეკუთვნება: რკინის, მანგანუმის, ქრომის, ფერადი და ზოგიერთი იშვიათი ლითონების შემცველი მაღნები, სამშენებლო მასალები და სხვა.

მორეცხვის ინტენსივობა დიდად არის დამოკიდებული შემკვრელი თიხოვანი მასალის პლასტიურობაზე. პლასტიურობა აღინიშნება კოეფიციენტით K და ტოლია:

$$K = \beta_1 - \beta_2$$

სადაც β_1 – თიხის ის ზღვრული სინესტეა, რომლის დროსაც გარეგანი ძალების ზემოქმედების გარეშე თიხა იწყებს დაშლას (დენადობას). β_2 – თიხის ის ზღვრული სინესტეა, რომლის დროსაც მექანიკური ძალების მოქმედების შედეგად წარმოებს თიხის დაშლა.

თიხაშემცველი მაღნები მორეცხვის სიძნელის მიხედვით იყოფა სამ ძირითად ჯგუფად: ძნელი, საშუალო და ადვილად მოსარეცხი.

აღნიშნული კატეგორია დამოკიდებულია მორეცხვის ხანგრძლივობაზე, ელექტრო ენერგის ხვედრით ხარჯზე,

წყლის ხვედრით ხარჯზე და პლასტიკურობის კოეფიციენტზე.
(ცხრილი 10.1)

ცხრილი № 10.1.

მაღნების კლასიფიკაცია მორეცხვის მიხედვით

მაღნის კატეგორია	ჰლას-ტიკურობის რიცხვი	მორგებების სანგრძლივობა, წთ	ჟლ. წერვის ზე- ხარჯი, მმტ/სთ/ტ	წყლის ხარჯი, მ³/ტ	რეკამენდებული მომრეცხი აპარატი
ადვილად მოსარეცხი	1-7	0-3	0.25	1-2	ბუტარა სპირალური კლასიფიკატორი
საშუალოდ მოსარეცხი	7-15	3-6	0.25- 0.5	2-4	ჰორიზონტალური და დახრილვარცლიანი
ძნელად მოსარეცხი	>15	>6	0.5-1	3-4	სკრუბერი, ვიბრო მომრეცხი

10.2. მომრეცხი მანქანები

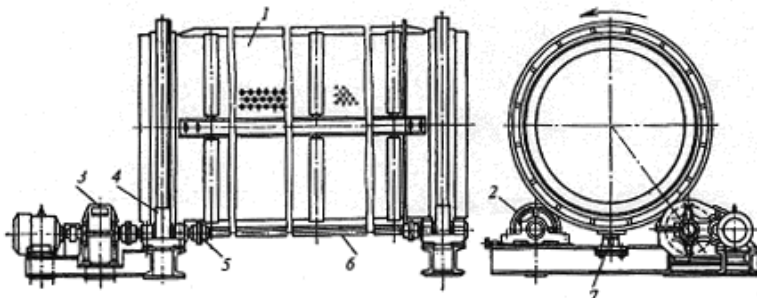
თიხაშემცველი მაღნების მოსარეცხად გამოიყენება სხვადასხვა კონტრუქციის მანქანა-დანადგარები, დოლური (ცხრილი, ბუტარა, სკრუბერი), ვარცლისებრი (დახრილი და ჰორიზონტალური) კომბინირებული, ფიალისებრი, ჰიდრავლიკური და კოშკური.

დოლური და ჰიდრავლიკური მომრეცხი აპარატურა გამოიყენება ადვილად მოსარეცხი მაღნებისათვის. კომბინირებული და კოშკური – ძნელად მოსარეცხი მაღნებისათვის, ხოლო ვარცლისებრი და ფიალისებრი – საშუალო მორეცხვის მაღნებისათვის.

ჰიდრავლიკური დარები გამოიყენება მცირე წარმადობის ოქროს ან კალის შემცველ ქვიშრობების მამდიდრებულ ფაბრიკებში. მორეცხის პროცესში დეზინტეგრაცია მიღწეულია

ღარში მოძრავი ნატეხის ურთიერთ შეჯახებით. წყლის ხარჯი დამოკიდებულია ქვიშრობის სახეობაზე და აღწევს $10 \text{ m}^3/\text{გ.}$

ბუტარა (ნახ.10.1.) გამოიყენება ადვილად მოსარეცხი მაღნებისათვის, იგი წარმოადგენს დოლურ ცხრილს, რომლის შიგა ზედაპირზე დამაგრებულია რკინის კუთხოვნები, რომელთა საშუალებით წარმოებს მასალის დეზინტეგრაცია.



ნახ. 10.1. დოლური ცხრილი (ბუტარა).

1—დოლი; 2—გორგოლაჭი; 3—ამძრავი; 4—ამძრავი გორგოლაჭი; 5—ქურო; 6—ლილვი; 7—საყრდენი გორგოლაჭი.

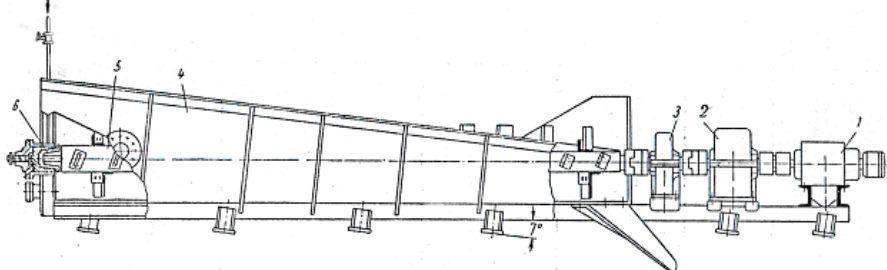
მოსარეცხი მასალის მაქსიმალური სიმსხოა $300-350 \text{ მმ.}$ წყლის ხარჯი შეადგენს $4-10 \text{ m}^3/\text{გ.}$ მორეცხილი მასალა გამოიყოფა გარკვეული ზომის კლასების სახით.

ვარცლისბრი მორეცხი (ნახ.10.2.) შედგება ვარცლისაგან (4), რომელშიდაც მოთავსებულია ლილვი (5). ლილვზე დაცმულია ფირფიტები. ლილვის ბრუნვის შედეგად წარმოებს მოსარეცხი მასალის დეზინტეგრაცია. მორეცხილი მასალა განიტვირთება ღარის საშუალებით, რომელიც მოთავსებულია ამძრავი მექანიზმის მხარეს.

„სკრუბერ-ბუტარა“, (ნახ.10.3.) გამოიყენება იშვიათი ლითონების შემცველი ქვიშრობების მორეცხვა—დეზინტეგრაციისათვის. შედგება ცილინდრული ფორმის მქონე დოლისაგან (1), რომლის გამტვირთავ თავზე მიღუდებულია წაკვეთილი კონუსის მქონე ბუტარა (5). ცილინდრული დოლი

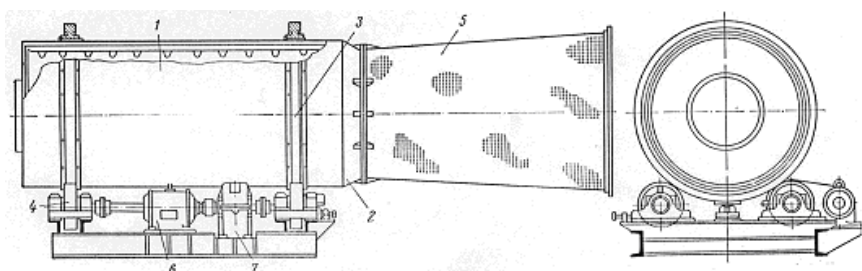
დაყრდნობილია (4) საკისარზე. ამძრავი მექანიზმების (6, 7) საშუალებით ასრულებს ბრუნვით მოძრაობას. მასალის მოძრაობის გადაადგილების მიზნით დოლი დახრილია $3,5^{\circ}$ $\div 6^{\circ}$ -ით.

მორეცხილი მასალა გამოიყოფა ბუტარებიდან გაუწყლოებული გარკვეული ზომის კლასის სახით. შლამი და თიხები მასალას შორდება წყალთან ერთად.



ნახ. 10.2. ვარცლისებრი მომრეცხი 0-93.

1—ელძრავი; 2,3—რედუქტორი; 4—ვარცლი; 5—ლილვი; 6—საკისარი.



ნახ. 10.3. სკრუბერ-ბუტარა СБ-1.3.

1—დოლი (სკრუბერი); 2—დოლის კონუსური ნაწილი; 3—არტაზი;
4—გორგოლაჭი; 5—ბუტარა; 6—ელძრავი; 7—რედუქტორი.

განსაკუთრებით დიდი რაოდენობის თიხების შემცველი მაღნების მორეცხვა წარმოებს კოშკურ მომრეცხ აპარატურაში, რომელიც წარმოადგენს ცილინდრს კონუსური ძირით. კოშკს ქვემოდან მიეწოდება შეკუმშული ჰაერი. მოსარეცხი მაღანი

მიეწოდება ზემოდან და არევა წარმოებს წყლისა და შეკუმშული პაერის ერთობლივი ქმედების შედეგად.

მომრეცხი აპარატურის მწარმოებლობა იანგარიშება ელ. ენერგიის ხვედრითი ხარჯის მიხედვით

$$Q = \frac{NE}{\ell}$$

სადაც

Q - მომრეცხი აპარატის მწარმოებლობა, ტ/სთ;

N - არის შერჩეული მომრეცხი აპარატის სიმძლავრე, კვტ;

E - ელექტროენერგიან მომრეცხ აპარატზე სიმძლავრის გადაცემის მ.ქ.კ. $E = 0.95-0.97$;

ℓ - ელ. ენერგიის ხვედრითი ხარჯი, კვტ.სთ/ტ.

11. პნევმატიკური გამდიდრება

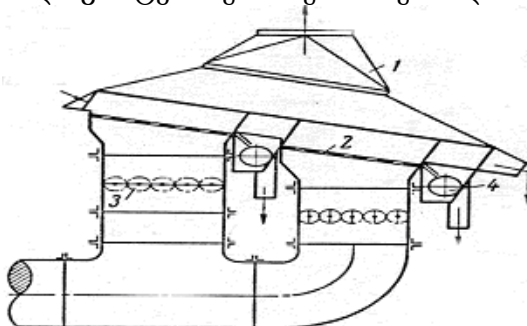
პაერის გარემოში მარგი წიაღისეულის სიმკვრივეების მიხედვით დაყოფის პროცესს პნევმატიკური გამდიდრება ეწოდება. შეკუმშული პაერის პულსირებულ ნაკადში მარგი წიაღისეულის სიმკვრივეების მიხედვით დაყოფა ხასიათდება მცირე ეფექტურობით, ამიტომ პნევმატური გამდიდრება პრაქტიკაში იშვიათად გამოიყენება. ძირითადად პნევმატური გამდიდრება გამოიყენება მცირე ტენტევადი ნახშირების, აზბესტის და მცირე კუთრი წონის მქონე წიაღისეულთა გასამდიდრებლად. პაერის გარემოში სიმკვრივეების მიხედვით დაყოფის თეორიული საფუძვლები მარგი წიაღისეულისა იგივეა, რაც წყლის გარემოში გამდიდრების დროს. პაერის გარემოში მინერალების თავისუფალი ვარდნის სიჩქარეები განისაზღვრება წყლის გარემოში ვარდნის სიჩქარეების საანგარიშო ფორმულებით.

პაერის სიმკვრივე $\Delta = 1,233 \text{ მ}^3$, ხოლო სიბლანტე $\mu = 0,00018$.

11.1 პნევმატიკური გამდიდრების აპარატურა

პნევმატიკური გამდიდრებისათვის გამოიყენება
პნევმატიკური სალექი მანქანები, აეროსუსპენზიური
სეპარატორები და პნევმატიკური მაგიდები.

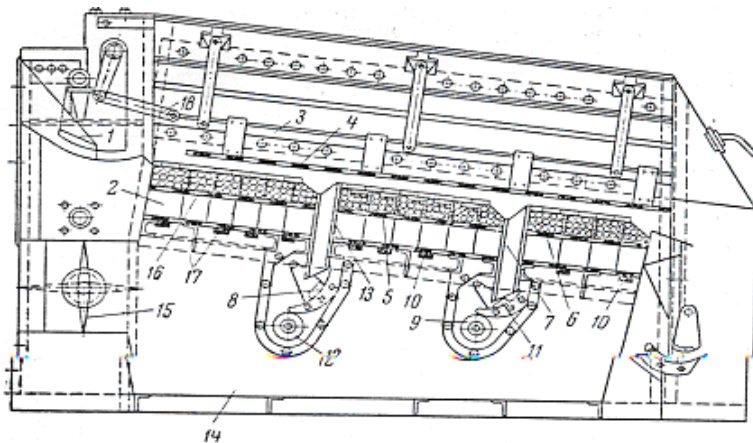
პნევმატიკური სალექი მანქანის (ნახ. 11.1.) კორპუსი, რომლის ზედა ნაწილი ბოლოვდება ქოლგისებური ფორმით (1) შედგება სალექი ცხავისაგან (2), მძიმე ფრაქციის განმტვირთი შნეკისაგან (4) და მბრუნავი სარქველისაგან (3). სალექი მანქანის მოქმედების პრინციპი შემდეგში მდგომარეობს: სალექ მანქანას მიეწოდება შეკუმშული ჰაერი განსაზღვრული წნევით დამლექი ცხავის ქვემოდან. მინერალები, რომელთა ვარდნის სიჩქარე აღემატება შეკუმშული ჰაერის მიწოდების სიჩქარეს, დაილექება ცხავის ზედაპირზე, ხოლო მინერალები, რომელთა ვარდნის სიჩქარე მცირეა შეკუმშული ჰაერის სიჩქარეზე ატივტივდება და განიტვირთება ჰაერთან ერთად.



ნახ. 11.1. პნევმატიკური სალექი მანქანა.

1—ქოლგა; 2—ცხავი; 3—მბრუნავი სარქველი; 4—განტვირთი შნეკი.

პნევმატიკური სალექი მანქანა ПОМ-1, რომელიც გამოიყენება 13 მმ-იანი კლასის აღვილი და სამუალო გამდიდრებადობის ნახშირების გასამდიდრებლად, მოცემულია ნახ. 11.2.

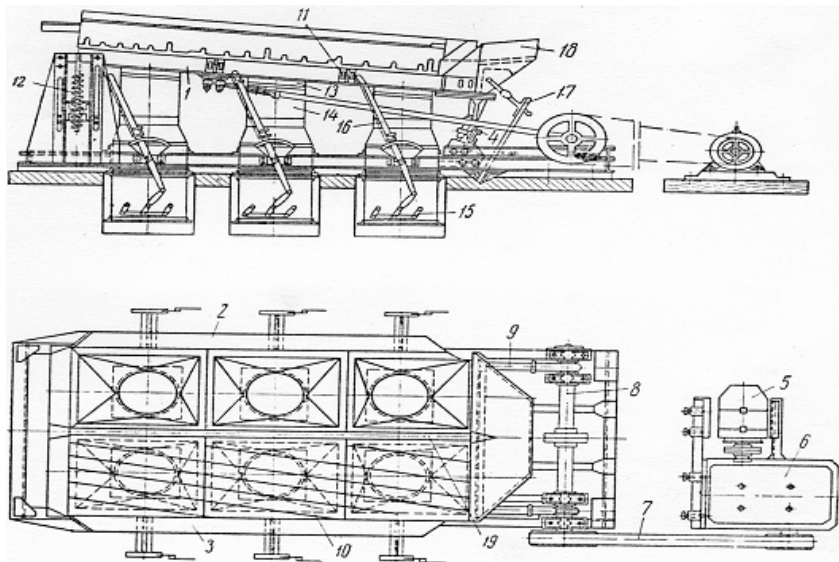


ნახ. 11.2 პნევმატიკური სალექტი მანქანა ПОМ-1.

1—ქანქარა მკვებავი; 2,5,6—უძრავი დეკები; 3—მიმართველი; 4—ცხავი; 7,13—განმტკირთი კამერები; 8,11—სექტორული საკეტები; 9,12—ხრანთული კონვეირები; 10—საკეტი; 14—გამანაწილებელი კამერა; 15—პულსატორი; 16—ცხავი; 17—ტიხარი; 18—ამძრავი.

პნევმატიკური სეპარატორი УШ-3 (ნახ. 11.3.) შედგება კორპუსისაგან (1), რომელშიც დეკები (2,3) და მაგრებულია დახრილ დანისებურ საყრდენებზე (4), დეკების რხევითი მოძრაობა განხორცილებულია ელექტროძრავი (5), სიჩქარის ვარიატორის (6), ღვედური გადაცემის (7), ექსცენტრიული ლილვისა (8) და წყვილი მრუდხარას (9) საშუალებით.

პნევმატიკური სეპარატორის რეგულირება განხორციელებულია დეკას დახრის კუთხის, დანისებური საყრდენების, დეკას რხევათა რიცხვის და შეკუმშული ჰაერის ხარჯის ცვალებადობით. აღნიშნული სეპარატორი გამოიყენება ნახშირების გასამდიდრებლად.

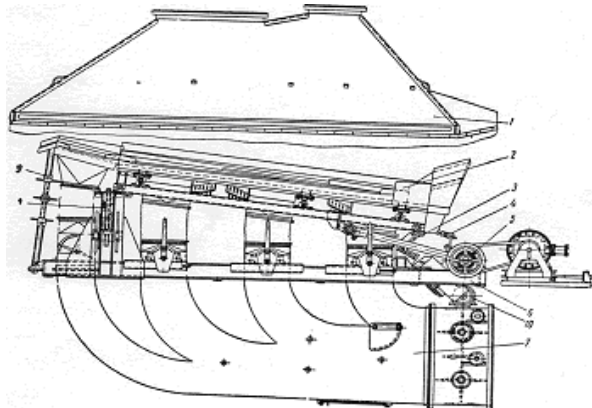


ნახ. 11.3. პნევმატიკური სეპარატორი VIII-3.

1—მუშა კაბერა; 2, 3—დეკა; 4—დახრილი საყრდენი; 5—ელექტროვი; 6—სიჩქარის ვარიატორი; 7—ღვედური გადაცემა; 8—ექსცენტრიული ლილვი; 9—წვრილი მრუდხარა; 10, 11— ლარი; 12— ხრახნული მექანიზმი; 13— შემრევი; 14, 16— სახელური; 15—დროსელური ფარი; 17—ამორტიზატორი; 18—ჩამტვირთი ლარი.

პნევმატიკური სეპარატორი СПК-40 (ნახ. 11.4.) შედგება ქოლგისებური შემწოვისაგან (1), მუშა ყუთი (2), წინა დანისებური საყრდენი (3), ამორტიზატორი (4), წამყვანი ლილვი (5), ჩარჩო (6), ჰაერის პულსატორები (7), ყუთთა ამწევი მექანიზმი (8), მძიმე ფრაქციის განმტვირთი მექანიზმებისაგან (9) და ჯაჭვური ბადეებისაგან (10).

აღნიშნული სეპარატორი გამოიყენება 50 მმ-დე ზომის ქვანახშირისა და მურა ნახშირების გასამდიდრებლად.



ნახ. 11.4. პნევმატიკური სეპარატორი SPK-40.

1—შემწოვი ქოლგა; 2—მუშა კამერა; 3—საყრდენი; 4—ამორტიზატორი;
5—წამყვანი ლილვი; 6—სადგარი; 7—ჰულსატორი; 8,9—ამწე მექანიზმი;
10—ჯაჭვური გადაცევა.

12. გრავიტაციული გამდიდრების ტექნოლოგიური სქემები

ტექნოლოგიური სქემისა და ცაკლეული ოპერაციების შერჩევა წარმოებს კვლევითი სამუშაოების და ანალოგიური პროცესით მომუშავე მოწინავე გამამდიდრებელი ფაბრიკების პრაქტიკული მონაცემების საფუძველზე. შესაძლოებელი ვარიანტების წინასწარი შერჩევა წარმოებს პრაქტიკისა და გამდიდრების თეორიის ზოგადი პრინციპების საფუძველზე. შემდეგ აწარმოებენ შესაბამის ტექნიკურ-ეკონომიკურ გაანგარიშებებს, რომელთა საფუძველზედაც წარმოებს გასამდიდრებელი წიაღისეულის ტექნოლოგიური პროცესის ყველაზე ეკონომიური ვარიანტის შერჩევა.

12.1.გრავიტაციული გამდიდრების პრაქტიკა

გამდიდრების გრავიტაციული პროცესები ფართოდ გამოიყენება მსხვილმარცვლოვანი ჩაწინწკლულობის ლითონური, არალითონური და საწვავი წიაღისეულის გამდიდრების პრაქტიკაში.

მძიმე სუსპენზიებში გამდიდრება ეფექტურად გამოიყენება ნებისმიერი გამდიდრებადობის მსხვილი კლასის (300-13(10) მმ) ნახშირებისა და (150-6 მმ) მაღნების გასამდიდრებლად.

შედარებით წვრილმარცვლოვანი (6-0,2მმ) წიაღისეულის გამდიდრება შესაძლებელია ცენტრიდანული ველით დაყოფებული სუსპენზიურ სეპარატორებში.

მძიმე სუსპენზიებში წიაღისეულის წინასწარი გამდიდრებით შესაძლებელია 25-დან 80 % -მდე სუფთა კუდების გამოყოფა, რაც 1,5-2-ჯერ ზრდის არსებული გამამდიდრებელი ფაბრიკის წარმადობას და 25-30%-ით ამცირებს წიაღისეულის გადამუშავების თვითლირებულებას.

პროცესის დაყოფის სიზუსტე და ტექნოლოგიური ეფექტურობა საშუალებას გვაძლევს გავამდიდროთ დარიბი მაღნები და ზოგიერთი გრავიტაციული ფაბრიკის დასაწყობებული კუდები.

დალექვის პროცესით შესაძლებელია 50-0,25 მმ სიმსხოს მაღნებისა და 120-0,5 მმ ზომის ნახშირების გამდიდრება. მაღნების დალექვა განხორციელებულია ვიწრო კლასიფიკაციის სკალით.

საკოქსე ნახშირებს ორ სამანქანო კლასად + 13(10) მმ და -13(10) მმ ყოვენ, ხოლო ენერგეტიკული ნახშირების გამდიდრებისას განხორციელებულია არაკლასიფირებული დალექვა.

დახრილ სიბრტყეზე მოძრავ წყლის ნაკადში გამდიდრება (საკონცენტრაციო მაგიდები, რაბები, ხრახნული სეპარატორები, ჭავლური, ვიბრაციული და ცენტრიდანული კონცენტრატორები) ფართოდ გამოიყენება ქვიშრობული მაღნების გამდიდრების პრაქტიკაში. გრავიტაციული გამდიდრების პრაქტიკული მონაცემები მოცემულია ცხრილებში 12.1-12.7.

ცხრილი 12.1.

ჭიათურის მანგანუმის მამდიდრებელ ფაბრიკებში გამოყენებული სალექი მანქანების მუშაობის რეჟიმი.

ფაბრიკა	მანქანის მარკა	მასალის ზომაში	მანქანის მუშაობის რეჟიმი						შემცველობა, %	ამოკრება, %	
			აპლიდურა მმ	პულაციის სიმძირა, რატონი	საგზის სიმძლელა მმ	ხვერითი წარმარივა ტემპურა	წყლის ხარჯი, მ³/ტ				
1	2	3	4	5	6	7	8	9	10	11	12
ც.გ.ვ. (ჭიათურა)	მოძრავ (ცხრილიანი)	-16+12	35-45	90-140	130-170	6-8	3.5-5	0.4- 0.55	49.7	7.4	85
№25-ბის (ჭიათურა)	მოძრავ (ცხრილიანი)	“—” -25+12	40-50	100- 105	120-180	5-7.5	3.5-5.8	0.5- 0.75	46-47	14.2	85
№29 ფ. (ჭიათურა)	მოძრავ (ცხრილიანი)	“—” -20+10	55-60	90	160	“—”	3-3.5	“—”	51.9	10.8	86
ა.გ.ვ. „დარპეტი“ (ჭიათურა)	მოძრავ (ცხრილიანი)	“—” 35+20	80	75	150-160	9-12.5	5-6	0.35- 0.45	48.3	10.5	80
„გრუმებსკის“ (ნიკოპოლი უკრაინა)	მოძრავ (ცხრილიანი)	“—” -35+3	38	150	150-160	5.5	4	0.6	43.5	6.8	70
ც.გ.ვ. (ჭიათურა)	ОВМ-5	“—” -3+0	3-4	400	ხელ.საგ. 6-10მმ 70-100	4-5	2.5-3.0	0.45	49.6- 50.8	16.6	83.4
ც.გ.ვ. (ჭიათურა)	МОД-3	-2+0	4-5	350	35-40	4-5	3.0	0.5-0.6	51.5	8.6	70
25-ბის (ჭიათურა)	МОБК-6 Р-0.2 ატ.	-25+12	180	30	ხელ.საგ. 6-8მმ	7.5-9	5.5-6.6	—	46.8	—	92.8

ცხრილი 12.2

**უდგუშო სალექ მანქანებში ნახშირების გამდიდრების
პროდუქტების ფრაქციული შედეგნილობა**

ნახშირის ზომა,მმ	ფრაცციის სიმკვრივე, კგ/მ ³	გამოსავალი %		
		კონცენტრატი	შუალედი პროდუქტი	ძუდები
13-0	<1500	97.5	30.4	0.5
	1500-1800	2.0	46.2	4.6
	>1800	0.5	23.4	94.9

ცხრილი 12.3

**სუსპენზიურ ჰიდროციკლონებში ნახშირის (13-0 მმ)
გამდიდრების შედეგები**

ჰიდროციკლონების ტექნიკურობითური პარამეტრები		ნაცმის დიამეტრი, მმ		სუსპენზიურ ნივთების სიმკვრივე, კგ/მ ³	ფრაქციის სიმკვრივე, კგ/მ ³	საწყისი ნახშირი	კონცენტრატი	შუალედი პროდუქტი				
გიდრო- ციკლონ ის დატვირ თვა მ ³ /სთ	გადანალენი სილეგბის	გადანალენი ნივთების	სილეგბის									
1	2	3	4	5	6	7	8	9	10	11	12	13
300- 350	150	70	1.35	<1500	63.5	6.5	90.5	54.7	6.2	22.3	8.8	8.4
				1500- 1800	8.7	24.3	5.1	3.1	16.8	14.2	5.6	28.4
				>1800	27.8	80.4	4.6	2.8	60.1	63.5	25.0	82.7
საწყისი					100	28.6	100	60.6	9.2	100	39.4	58.4

ცხრილი 12.4

სხვადასხვა კონუსურობის კუთხის ჰიგროციკლონებში
ნახშირის (<3მმ) გამდიდრების შედეგები

კონუსურობის ქუთხე, გრადუსი საწყისი ნახშირის ნაკრიანობა, %	კონცენტრატი გამოსავალი, %	კუდები		გაყოფის ცლომილება, გრ/სტ ³	ეფუძლებურობის გეგმიცემები		
		ნაკრიანობა, %	გამოსავალი, %				
20	20.3	32.6	6.8	67.4	26.5	0.28	6.3
30	20.8	34.2	6.2	65.8	28.7	0.22	8.2
60	21.4	55.9	6.1	44.1	40.8	0.12	21.1
80	21.4	61.8	5.2	38.2	47.5	0.09	30.9
120	20.1	72.2	5.5	27.8	56.8	0.06	49.2

ცხრილი 12.5

მოკლეკონუსურ ჰიდროციკლონში ნახშირის გამდიდრების
შედეგები (ა.შ.შ.)

მასალის ზომა, მმ	კვება		გადანადენი			სილები			
	გამოსავალი, %	ნაკრიანობა, %	გრგარდის შეტკლელი, %	გამოსავალი, %	ნაკრიანობა, %	გრგარდის შეტკლელი, %	გამოსავალი, %	ნაკრიანობა, %	გრგარდის შეტკლელი, %
-0.883+0.589	8.11	7.8	2.14	6.52	3.2	0.82	17.71	24.5	7.44
-0.589+0.417	11.46	9.6	3.44	10.35	3.6	0.91	17.47	41.4	15.28
-0.417+0.295	11.75	10.7	4.09	13.37	3.8	0.93	18.79	49.2	19.44
-0.295+0.208	13.99	9.9	4.19	12.79	4.2	0.98	15.32	54.6	22.28
-0.208+0.147	11.33	9.8	4.39	9.99	4.5	1.03	12.10	57.3	29.22
-0.147+0.104	7.07	9.2	3.96	8.06	5.5	1.34	7.18	56.9	31.7
-0.104+0.074	7.32	9.5	3.80	6.97	6.4	1.72	5.44	55.4	34.12
-0.074+0.043	6.36	9.2	3.60	8.02	9.9	2.40	3.34	53.3	33.5
-0.043+0	22.61	12.7	1.86	23.93	12.9	1.64	2.65	30.5	13.0
სულ	100.0	10.29	3.34	100.0	6.84	1.31	100.0	45.8	20.20

ცხრილი 12.6

საკონცენტრაციო მაგიდის ტექნოლოგიური პარამეტრების
მნიშვნელობები

ამპლიტუდა, მმ	მასალის მაქსიმალური ზომა, მმ	ამპლიტუდა, მმ	რჩევის სიხშირე, წთ	მასალის მაქსიმალური ზომა, მმ	ამპლიტუდა, მ მმ	რჩევის სიხშირე, წთ
3.0	24	200	0.8	17	262	
2.5	23	208	0.6	16	277	
2.36	22	210	0.5	15	287	
2.15	22	215	0.4	14	300	
2.0	21.5	217	0.3	13	319	
1.5	20	230	0.2	12	315	
1.4	20	234	0.1	10	396	
1.2	19	239	0.07	9	426	
1.0	18	250	0.04	8	470	

ცხრილი 12.7

СК-ტიპის საკონცენტრაციო მაგიდაზე იშვიათ ლითონთა
მაღნების გამდიდრების ტექნოლოგიური მაჩვენებლები

ამპლიტუდა, მმ	რჩევის სიხშირე, წთ	წარმადობა ტ/სთ	მასალის ზომა, მმ	პროდუქტი	გამოსავალი, %	შემცველობა, %	ამოკეფა, %
18- 20	300	8- 10	- 2+0 .8	კონცენტრატი შუალედი პროდუქტი კაფები საწყისი მადანი	25 50 25 100	15 2 1 5	75 20 5 100

12.2. ნახშირის გამდიდრების ტექნოლოგიური სქემები

ნახშირის გამდიდრების სქემის შერჩევისათვის ძირითადი ფაქტორებია გამდიდრების მეთოდები, გამდიდრების სიღრმე, ნახშირის გამდიდრებადობის უნარი, გამდიდრების საბოლოო პროცესებისადმი მომზარებლის მიერ წაყენებული მოთხოვნები.

მოგვყავს საკოქსე და ენერგეტიკული ნახშირების გამდიდრების ზოგიერთი ტიპიური სქემები*:

*ტექნოლოგიური სქემების ნახაზებზე მიღებულია შემდეგი აღნიშვნები:

კ—კონცენტრატი, მკ—მსხვილი კონცენტრატი, წკ—წვრილი კონცენტრატი, ფკ—ფლოტაციური კონცენტრატი, შპ—შუალედი პროცესები, შ—შლამი, კდ—კუდები, ფქ—ფუჭი ქანი; შწ—შლამიანი წყალი, დწ—დაწმენდილი წყალი, შშ—შესქელებული შლამი, წშ—წვრილი შლამი; ნ—ნალექი, ფ—ფუგატი, ფლ—ფილტრატი.

სარეცხ ღარებში გამდიდრების ტექნოლოგია ითვალისწინებს ადვილგამდიდრებადი რიგითი ნახშირის წინასწარ გაცხრილვას, მსხვილი კლასის 50მმ ღამსხვრევას, ორ სამანქანო კლასად კლასიფიკაციას, თითოეულის სარეცხ ღარებში გამდიდრებას და შლამების ფლოტაციას.

პნევმატიკური გამდიდრება გამოიყენება არატენტევადი მშრალი ნახშირების გასამდიდრებლად. ღამსხვრევის შემდეგ ნახშირს ყოფენ ორ-სამ სამანქანო კლასად, რომლებსაც ცალ-ცალკე ამდიდრებენ, მხვილ კლასს—პნევმატიკურ სეპარატორებში, ხოლო წვრილს—პნევმატიკურ სალექ მანქნებში.

სალექ მანქანებში გამდიდრების წინ რიგითი ნახშირიდან წინასწარი გაცხრილვით გამოყოფენ >80 (100,125) მმ—ზე უფრო მსხვილ ნატეხებს, რომლებსაც ამსხვრევენ და დანარჩენ ნახშირთან შერჩევის შემდეგ ცხრილზე ყოფენ მსხვილ და წვრილ სამანქანო კლასად. თითოეულ კლასს ცალ-ცალკე

ამდიდრებენ პიდრავლიკურ სალექ მანქანებში. მსხვილ შუალედ პროდუქტს ამსხვრევენ და წვრილ შუალედ პროდუქტებთან ერთად ამდიდრებენ საკონტროლო სალექ მანქანებში, ხოლო შლამებს—ფლოტაციური მეთოდით.

იყენებენ, აგრეთვე, არაკლასიფიცირებული ნახშირების დალექვის მეთოდით გამდიდრებას, რაც მნიშვნელოვნად ამარტივებს გამდიდრების ტექნოლოგიურ პროცესს და ამცირებს გამდიდრების თვითღირებულებას.

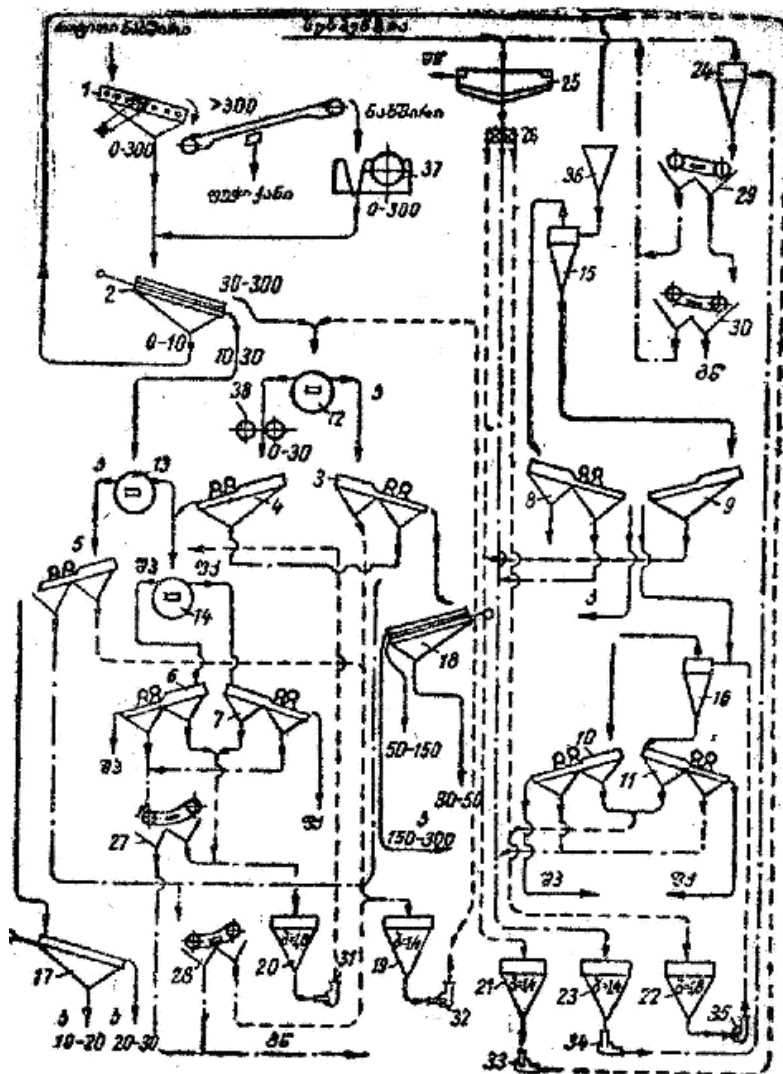
გრავიტაციულ კონცენტრატებს აუწყლოებენ ცხრილებსა და ცენტრიფუგებში, ხოლო ფლოტაციურ კონცენტრატებს ფილტრებში.

მძიმესუსპენზიან სეპარატორებში ნახშირის გამდიდრება არის გამდიდრების ყველაზე ეფექტური თანამედროვე მეთოდი. ამ მეთოდით ნახშირის გამდიდრების პრაქტიკული მაჩვენებლები უახლოვდება თეორიულად შესაძლებელ მაჩვენებლებს. ეს მეთოდი განსაკუთრებით ეფექტურია ძლინელადგამდიდრებადი ნახშირების გამდიდრებისათვის.

მძიმესუსპენზიან სეპარატორებში ნახშირის გამდიდრების უპირატესობა გრავიტაციული გამდიდრების სხვა მეთოდებთან შედარებით ის არის, რომ ეს მეთოდი საშუალებას იძლევა გამდიდრებულ იქნეს ნებისმიერი კატეგორიის ნახშირი.

მძიმესუსპენზიაში გასამდიდრებელი ნახშირის სიმსხოს ზედა ზღვარი მაღალია (200-600მ), რაც საშუალებას იძლევა ეს მეთოდი გამოვიყენოთ აგრეთვე მხვილი რიგითი ნახშირიდან (სამთო მასიდან) ქანების ამორჩევის პროცესის მექანიზაციისათვის.

ნახშირის გამდიდრების პრაქტიკაში მძიმე სუსპენზიანი სეპარატორები ძირითადად გამოიყენება 300–13 მმ სიმსხოს კლასის გამდიდრებისათვის. რაც შეეხება ნახშირის უფრო წვრილი კლასების მძიმე სუსპენზიაში გამდიდრებას, პრაქტიკაში ჯერ იშვიათად იყენებენ და ისიც ცენტრიდანულ ველში (პიდროციკლონებში, ცენტრიფუგებში და სხვა.).



**ნახ. 12.1. მძიმესუსპენზიან სეპარატორებში ნახშირის
გამდიდრების აპარატთა ჯაჭვის სქემა**

1—ცხრილი რიგითი ნახშირისათვის; 2—ცხრილი სამანქანო კლასებად კლასიფიციისათვის; 3, 4, 5, 6, 7, 8, 9, 10, 11 —ცხრილები გაუწყლოებისა და გამდიდრების პროცესებიდან სუსპენზიის მოცილებისათვის; 12, 13, 14—სეპარატორები ელევატორული ბორბლით

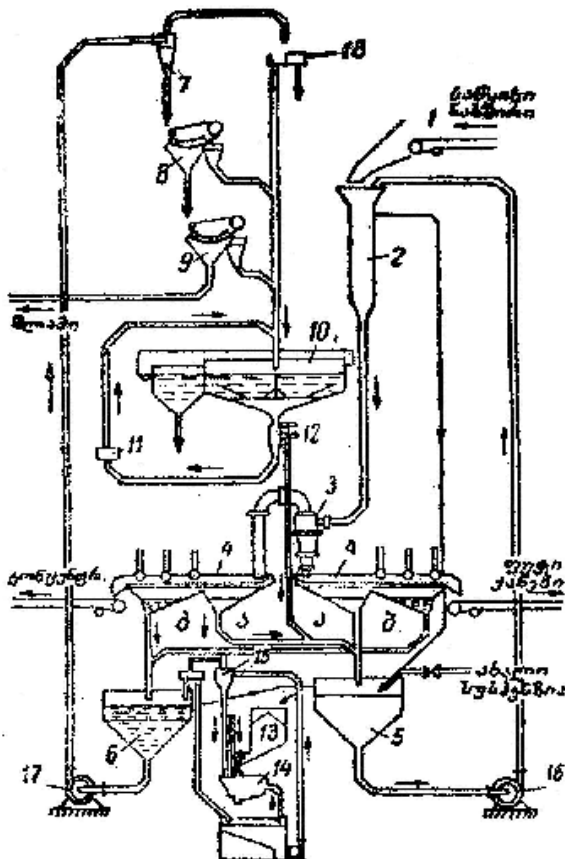
მსხვილი ნახშირის გამდიდრებისათვის; 15, 16 – სეპარატორები ჰიდროციკლონები წვრილი ნახშირის გამდიდრებისათვის; 17, 18 – ცხრილები კონცენტრატის კლასიფიკაციისათვის; 19, 20, 21, 22 – მუშა სუსპენზიის ავზები; 23 – განხავებული სუსპენზიის ავზები; 24 – ჰიდროციკლონი სუსპენზიის შესქელებისათვის; 25 – შემასქელებელი სუსპენზიისათვის; 26 – სუსპენზიის სიმკვირვის რეგულატორი; 27, 28, 29, 30 – მაგნიტური სეპარატორები; 31, 32, 33, 34, 35 – ტუბონები სუსპენზიის გადასატუმბად; 36 – კონუსური ავზი; 37, 38 – სამსჭვრეველები.

მძიმესუსპენზიაში გამდიდრება წარმოებს სუსპენზიის გადატანითი და ბრუნვითი მოძრაობის სეპარატორებში. სუსპენზიის გადატანითი მოძრაობის სეპარატორებში ნახშირისა და ფუჭი ქანების ნატეხების დაყოფა წარმოებს სიმძიმის ძალის გავლენით, ხოლო სუსპენზიის ბრუნვითი მოძრაობის სეპარატორებში – ცენტრიდანული ძალების ზემოქმედებით. პროცესის პირველ სახესხვაობას იყენებენ მსხვილი ($>6(10)$ მმ) ნახშირის გამდიდრებისათვის, ხოლო მეორე სახესხვაობას – წვრილი [10 (6)–0.5 (2) მმ] ნახშირის გამდიდრებისათვის.

მძიმეგარემოიან სეპარატორების სამრეწველო დანადგარების მუშაობის გამოცდილება გვიჩვენებს, რომ ნახშირის სიმსხოს ქვედა ზღვარი, რომელსაც სუსპენზიებში სტატიკურ პირობებში ამდიდრებენ, 10 მმ–ზე ნაკლები არ უნდა იყოს. 10 მმ–ზე ნაკლები სიმსხოს ნახშირი მიზანშეწონილია გამდიდრდეს სალექ მანქანებში, რადგან წვრილი ნახშირის მძიმე სუსპენზიაში გამდიდრებისას საკმაოდ ზუსტი დაყოფის მიღწევა პრაქტიკულად გაროუკლებულია.

წვრილი ნახშირის გამდიდრება სუსპენზიან ციკლონ – სეპარატორებში შესაძლებელია განხორციელდეს ნებისმიერ მძიმე სუსპენზიაში (მაგნეტიტის, ბარიტის ან სხვა დამამძიმებლის გამოყენებით).

წვრილი ნახშირის (0–10 მმ სიმსხოს) ციკლონ – სეპარატორებში მაგნეტიტურ სუსპენზიან გარემოში გამდიდრების სქემა მოცემულია 12.2. ნახაზზე.



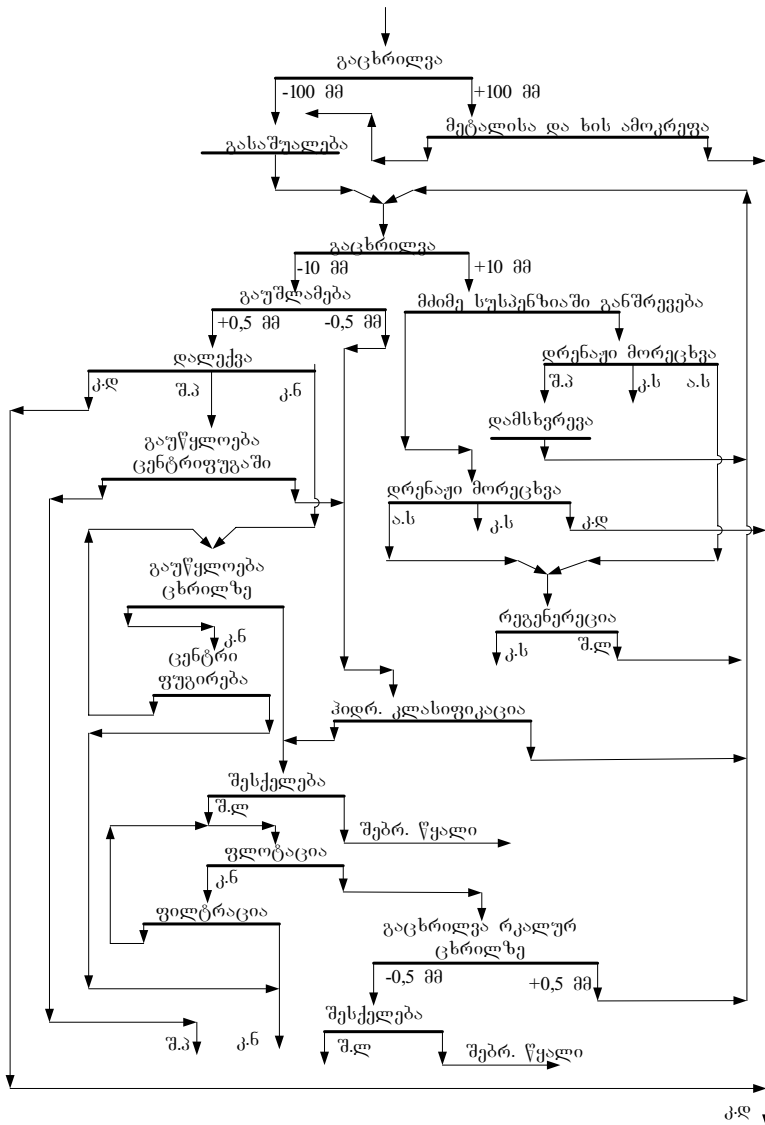
**ნახ. 12.2. ჰიდროციკლონში წვრილი ნახშირის გამდიდრების
აპარატთა ჯაჭვის სქემა:**

1—კონვეიერი; 2—შემრევი; 3—ჰიდროციკლონ—სეპარატორი;
4—ცხრილები გამდიდრების პროცესების გაუწყლოებისა და
მორცებისათვის; 5—სალექარი ძაბრი მუშა სუსპენზიისათვის; 6—სალექარი
ძაბრი განზავებული სუსპენზიისათვის; 7—ჰიდროციკლონი—შემასქელებელი;
8 და 9—ლენტური მაგნიტური სეპარატორები; 10—რადიალური
შემასქელებელი; 11—დიაფრაგმანი ტუბო; 12—ავტომატური რეგულირების
სარქველი; 13—ბუნერიმანეტისათვის; 14—ბურთულებიანიწისქვილი;
15—ჰიდროციკლონი—კლასიფიკატორი; 16 და 17—ტუბოები; 18—სუფთა
წყლის ავზი.

გამდიდრების წინ კონვეირის (1) საშუალებით ნახშირი მიეწოდება შემრევს (2), სადაც წარმოებს მისი შეზავება სუსპენზიასთან, ხოლო შემდეგ საჭირნი მიღებაყვანილობით მიეწოდება ჰიდროციკლონ— სეპარატორს (3), ციკლონში ცენტრიდანული ძალის და მძიმე გარემოს მოქმედების შედეგად წარმოებს ნახშირის დაყოფა მძიმე და მსუბუქ ფრაქციებად, რომლებიც შემდეგ მიეწოდება გამაუწყლოებელ ცხრილებზე (4). ცხრილების პირველ ნახევარზე გამდიდრების პროცესშებიდან სიმბიმის ძალის გავლენით გამოიყოფა კონდიციური სუსპენზია, ხოლო მეორე ნახევრიდან დამამიმებელს ჩამორეცხავენ წყლით, რომლის რეგენერაცია განხორციელებულია მაგნიტური მეთოდით.

გამდიდრების კომბინირებული სქემები. (ნახ. 12.3)
ითვალისწინებს ნახშირის მძიმეგარემოიან (მინერალურ-სუსპენზიან) სეპარატორებში, სალექ მანქანებსა და შლამების ფლოტაციურ მანქანებში გამდიდრებას, იყენებენ მნელად-გამდიდრებადი ნახშირებისათვის. ფაბრიკებში სადაც ასეთი სქემებია გამოყენებული, მნიშვნელოვნად გაუმჯობესდა გამდიდრების პროცესის ტექნოლოგიური მაჩვენებლები, ნახშირის გაუწყლოების პროცესი და განხორციელდა წყალ-შლამის მეურნეობის შეკრული ციკლი.

თანამედროვე მაღალმწარმოებლურ მამდიდრებელ ფაბრიკებში ნახშირის გასაშუალება წარმოადგენს ერთ-ერთ მნიშვნელოვან ტექნოლოგიურ ოპერაციას. იმის გამო, რომ ცენტრალურ მამდიდრებელ ფაბრიკებს ნახშირი მიეწოდება რამდენიმე შახტიდან (კარიერიდან) სხვადასხვა ხარისხობრივი მახასიათებლით, ამიტომ სტაბილური ხარისხის კონცენტრატის მიღებისათვის საჭიროა სხვადასხვა შახტის ნახშირის ეფექტური შერევა გარკვეული პროპორციით.



ნახ12.3 ნახშირის გამდიღრების კომბინირებული სქემა

მამდიდრებელ ფაბრიკებში გამასაშუალოებელი
მოწყობილობა ჩვეულებრივ შედგება მთელი რიგი
სააკუმულაციო ბუნკერებისაგან, რომელთა ჩატვირთვა და
განტვირთვა წარმოებს გარკვეული წესით. ნახშირების
მოცულობითი წილი, რომელიც მიეწოდება თითოეული
ბუნკერიდან რეგულირება სადოზავი მოწყობილობით.
თანამედროვე ფაბრიკებში ეს ოპერაცია ავტომატიზებულია.
სააკუმულაციო ბუნკერების საერთო ტევადობა სხვადასხვა
ფაბრიკებში ცვალებადობს ერთი დღე-დამის მარაგიდან ორი
საათის მარაგამდე.

განხილული ტექნოლოგიური სქემების ანალიზის
საფუძველზე შეგვიძლია გამოვყოთ გამდიდრების ძირითადი
ტექნოლოგიური ოპერაციები, რომლებიც თანამედროვე
მამდიდრებელ ფაბრიკებშია გამოყენებული.

1. ნახშირების მომზადება—გასაშუალოება, სველი
კლასიფიკაცია, გაუშლამება;

2.გამდიდრება—მსხვილი კლასებისათვის მძიმეგარემოიანი
სეპარაცია, წვრილი კლასებისათვის—დალექვა, ნახშირის
შლამებისათვის—ფლოტაცია;

3.გაუწყლოება—კონცენტრატებიდან წყლის მოცილება
ცხრილებზე, ელევატორიან ბაგერ-ზუმფებში; წვრილი
კლასებისათვის ცენტრიფუგვა, ფილტრაცია;
ფლოტოკონცენტრატის გაშრობა, ფლოტაციური კუდების
ფლოკულაცია და შესქელება.

ამრიგად, უნდა ვითიქროთ, რომ ნახშირების გამდიდრების
ტექნოლოგიურ სქემებში

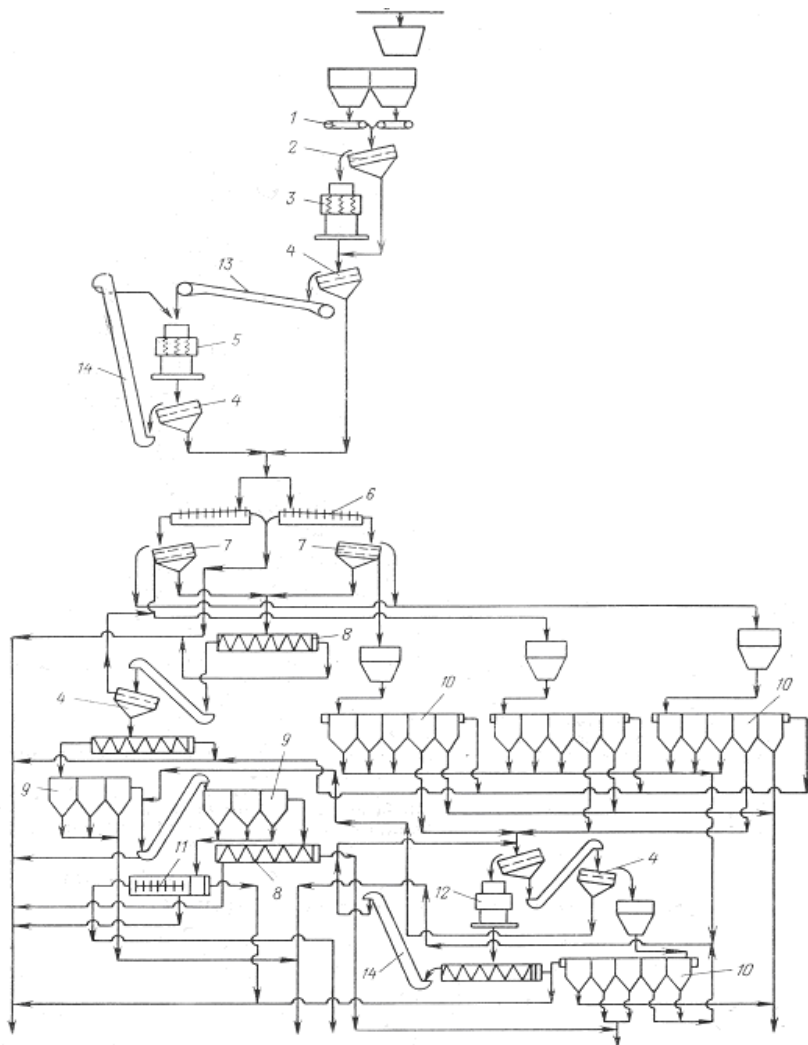
დალექვა და მძიმეგარემოიანი სეპარაცია წამყვან როლს
შეინარჩუნებენ.

12.3. მაღნების გამდიდრების ტექნოლოგიური სქემები.

მაღნების გამდიდრების პრაქტიკაში ძირითადად გამოიყენება კომბინირებული სქემები, რომლებიც ჩვეულებრივ მოიცავენ სხვადასხვა პროცესებს—კომბინირებულია სხვადასხვა მაღნების გამდიდრებისას, ზოგჯერ მსხვილი კლასისათვის გამოიყენება მძიმე გარემო და დალექვა, წვრილი მასალისათვის საკონცენტრაციო მაგიდები, ცენტრიდანული კონცენტრატორები და ფლოტაცია. ტექნოლოგიურ სქემაში რამოდენიმე პროცესის შერწყმა სასარგებლო კომპონენტის მაქსიმალური ამოკრეფისა და მაღნის კომპლექსური გამოყენების საშუალებას იძლევა.

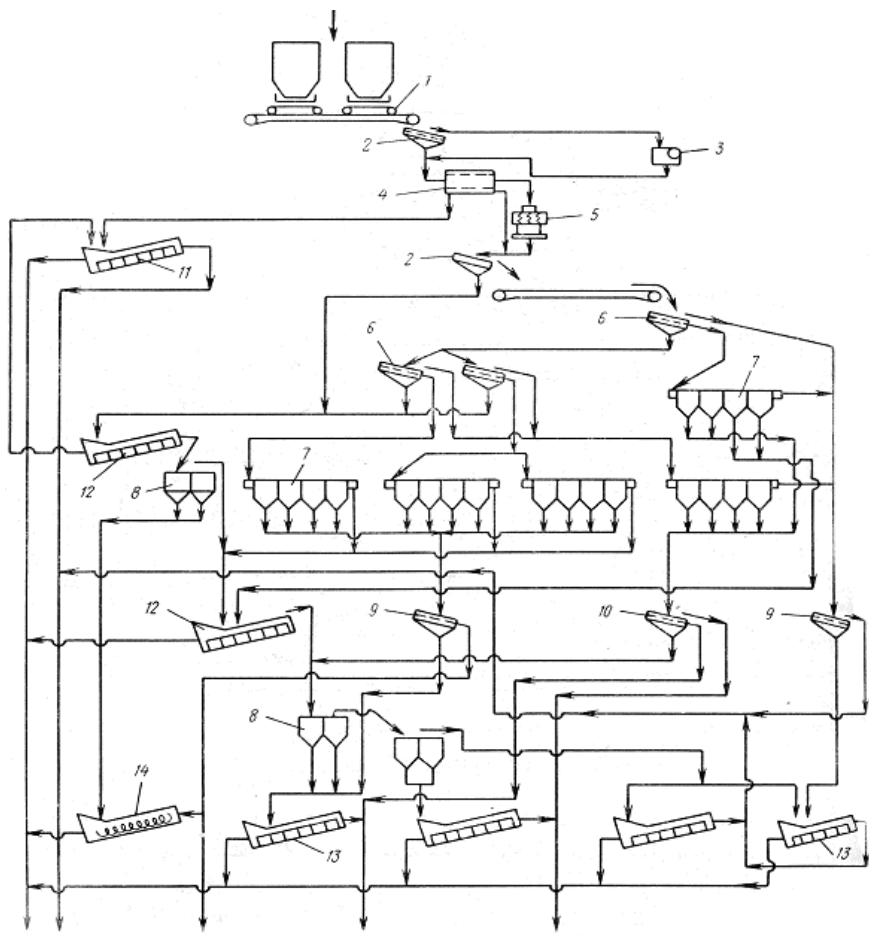
მე-12.4 და 12.5 ნახაზებზე მოცემულია ჭიათურის მანგანუმის მაღნების (ჟანგეული, პეროქსიდული) გამდიდრების ტექნოლოგიური სქემები. საწყისი მაღნები დამსხვრევა, მორეცხვა, კლასიფიკაციის შემდეგ მდიდრდება დალექვით—შესვილი კლასები მოძრავცხავიან (შტაუხი), ხოლო წვრილი დიაფრაგმულ სალექ მანქანებზე.

მე-12.6 ნახაზზე მოცემულია ოქროსშემცველი ქვიშრობული მაღნების გამდიდრების ტექნოლოგიური სქემა, რომელიც ითვალისწინებს საწყისი მაღნების დეზინტეგრაციას, პიდროციკლონებში კლასიფიკაციას, სილების დალექვას და გადანადენის მოკლეკონუსურ პიდროციკლონებში გამდიდრებას. დალექვისა და პიდროციკლონების უხეში კონცენტრატების გადაწმენდას ქნელსონის ცენტრიდანულ კონცენტრატორებში.



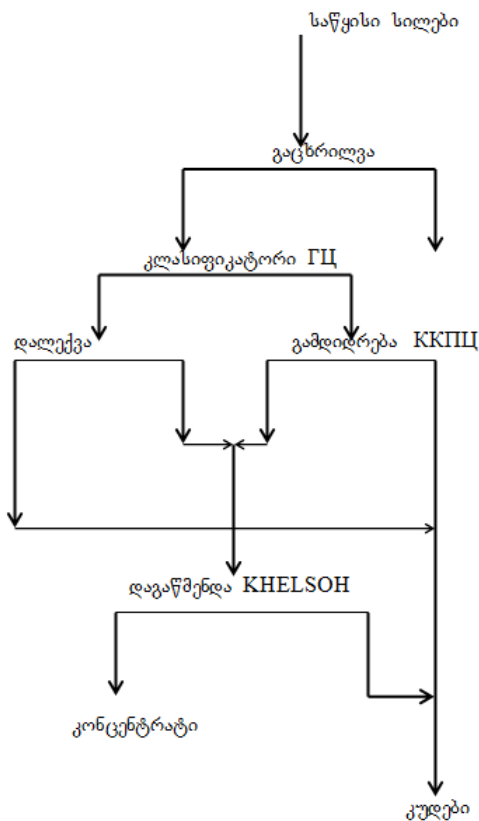
ნახ. 12.4 მანგანუმის მაღნის გამდიდრების აპარატთა ჯაჭვის სქემა

1—ფირფიტისებური მკვებავი; 2,4,7—ვიბრაციული ცხრილი;
 3,5,12—კონუსური სამსხრეველა; 6—მომრეცხი აპარატი; 8,11—სპირალური
 კლასიფიკატორი; 9,10—სალექი მანქანა;
 13—ლენტური კონვეიერი; 14—ელევატორი.



**ნახ. 12.5 პეროქსიდული მაღნის გამდიდრების აპარატთა
ჯაჭვის სქემა**

1—ფირფიტის ბური მკვებავი; 2—ვიბრაციული ცხრილი; 3—ყბებიანი სამსხვრეველა; 4—მომტეცხი ბუტარა; 5—კონუსური სამსხვრეველა; 6—ვიბრაციული ცხრილი; 7,8—სალექი მანქანა; 9,10—ვიბრაციული ცხრილი; 11,12,13,14—სპირალური კლასიფიკატორი.



ნახ. 12.6. ოქროს შემცველი სილების გამდიდრების ტექნოლოგიური სქემა.

დ ა ნ ა რ თ ი

ცხრილი 1.

მინერალების ფიზიკო-ქიმიური მახასიათებლები

No	მინერალი	ქიმიური ფორმულა	სიმკვრივე, გ/მ³	სასარგებლო კომპონენტი	სასარგებლო კომპონენტის შემცველობა, %
1	ოქრო	Au	19 300	ოქრო	100
2	გალენიტი	PbS	7400-7600	ტყვაა	86,6
3	მოლიბდენიტი	MoS ₂	4300-5000	მოლიბდენი	59,94
4	ჰირიტი	FeS ₂	4900-5200	რკინა; გოგირდი	46,55; 53,5
5	სფალერიტი	ZnS	3900-4100	თუთაა	67,1
6	ქალკოტანკიტი	CuFeS ₂	4100-4300	სპოლენბი	34,36
7	კასიტერიტი	SnO ₂	6100-7300	კალა	78,8
8	კვარცი	ScO ₂	2650	სილიციუმი	46,7
9	ლომენიტი	(Mg,Fe)TiO ₃	4400-5000	ტიტანი	31,6
10	მაგნეტიტი	Fe ₃ O ₄	4500-5300	რკინა	72,4
11	კალციოტი	CaCO ₃	2700-2730	კალციუმის ჟანგი	56,0
12	მაგნეზიტი	MgCO ₃	3000	მაგნიუმის ჟანგი	47,6
13	სილიკოტი	FeCO ₃	3500-3900	რკინა	48,3
14	ბარიტი	BaSO ₄	4300-4500	ბარიუმის ჟანგი	65,7
15	შეელიტი	CaWO ₄	6000	ვოლფრამი	80,6
16	ჭემატიტი	Fe ₂ O ₃	5000-5200	რკინა	70,0
17	ჰიროლუზიტი	MnO ₂	4820	მანგანუმი	63,2
18	ბრაუნიტი	Mn ₂ O ₃	4700-5000		60-69
19	ჭაუსმანიტი	Mn ₃ O ₄	4700-4900	„ ----- “	65-72
20	მანგანიტი	MnO ₂ . Mn(OH) ₂	4200-4300	„ ----- “	60-62
21	ფსილომელანი	MnO.MnO ₂ .n H ₂ O	3700-4700	„ ----- “	45-60
22	როდოქროზიტი	Mn CO ₃	3400-3600	„ ----- “	40-45
23	ვერადიტი	MnO ₂ .nH ₂ O	2300-3000	„ ----- “	40-45
24	მანგანოკალკიტი	(Ca,Mn)CO ₃	3000-3400	„ ----- “	20-25
25	ნახშირი	C	1300-1800	ნახშირი	-

**მინერალურ მარცვალთა თავისუფალი და შეზღუდული
ვარდნის სიჩქარეები (ტ. ფომენკოს მიხედვით)**

კვარცი 2650 კგ/მ³			კასიტერიტი 6920 კგ/მ³			გალენიტი 7650 კგ/მ³		
მარცვლის ზომა, სმ	V₀ სმ/წ	V₃ სმ/წ	მარცვლის ზომა, სმ	V₀ სმ/წ	V₃ სმ/წ	მარცვლი ს ზომა, სმ	V₀ სმ/წ	V₃ სმ/წ
1	2	3	4	5	6	7	8	9
0.266	-	7.28	0.164	26.60	10.86	0.266	-	17.72
0.228	16.7	7.28	0.137	24.53	9.09	0.228	44.20	18.10
0.185	14.7	6.15	0.117	22.54	7.06	0.185	37.00	11.65
0.155	12.7	6.03	0.095	19.37	6.52	0.155	33.05	10.04
0.137	11.8	5.33	0.074	16.65	6.08	0.137	29.51	9.71
0.119	10.6	4.26	0.061	-	4.53	0.119	27.01	7.20
0.104	9.4	3.64	0.041	11.57	4.06	0.104	25.25	6.61
0.091	8.4	3.30	0.034	9.53	3.05	0.091	22.75	6.50
0.076	7.7	2.81	0.027	6.89	1.67	0.076	20.78	5.98
0.060	-	2.46	0.023	5.97	1.43	0.060	-	4.78
0.051	5.27	1.99	0.019	5.07	1.29	0.051	16.04	4.49
0.041	4.10	1.44	0.016	4.01	1.02	0.041	12.61	4.67
0.032	3.20	1.02	0.014	3.26	0.83	0.032	10.31	4.26
0.026	-	0.73	0.012	2.76	0.70	0.023	-	3.03
0.022	-	0.61	0.010	-	0.53	0.022	-	3.05
0.0175	-	0.52				0.0175	-	1.95
						0.0135		1.505

ცხრილი 2 გაგრძელება

ოქრო 17000 კბ/მ ³			ნახშირი 1 350 კბ/მ ³			ანტრაციტი 1 550 კბ/მ ³		
მარცვლის ზომა, სმ	V ₀ სმ/წ	V _წ სმ/წ	მარცვლის ზომა, სმ	V ₀ სმ/წ	V _წ სმ/წ	მარცვლის ზომა, სმ	V ₀ სმ/წ	V _წ სმ/წ
0.20	114.0	78.60	1.24	17.93	10.02	1.11	17.16	8.67
0.10	62.0	24.15	1.18	16.30	8.30	0.868	14.90	7.10
0.07	45.20	16.85	0.914	14.86	6.72	0.747	14.02	6.35
0.05	33.00	10.43	0.761	13.40	5.54	0.564	11.50	5.95
0.03	20.00	6.81	0.529	10.97	5.00	0.443	10.63	4.19
0.02	15.0	3.98	0.441	8.86	4.50	0.344	8.61	3.88
0.015	10.52	2.65	0.360	8.74	3.36	0.227	7.40	2.93
0.010	6.60	1.50	0.229	5.84	2.92	0.164	5.17	2.60
-	-	-	0.146	4.48	1.47	0.088	3.70	1.28
-	-	-	0.095	3.17	1.20	0.085	3.56	1.23
-	-	-	0.079	2.64	0.90	0.042	2.29	0.70
-	-	-	0.042	1.53	0.47	0.032	1.75	0.51
-	-	-	0.032	1.15	0.38	0.027	1.43	0.47
-	-	-	0.027	0.95	0.30	0.023	1.14	0.30
-	-	-	0.023	0.83	0.23	0.018	0.88	0.24
			0.018	0.74	0.20	0.013	0.52	0.13
-	-	-	0.013	0.35	0.11	0.009	0.31	0.08
			0.009	0.21	0.04	0.007	0.18	0.04
			0.007	0.14	0.03	0.005	0.13	0.03
			0.005	0.11	0.022			

გრავიტაციული აპარატურის ტექნიკური მახასიათებლები

ცხრილი 3

სპირალური კლასიფიკატორების ტექნიკური მახასიათებლები

პარამეტრები	1KCH-20M	1KCH-24M	1KCH-24M	1KCH-30M	2KCH-30M	1KCII-12M	2KCII-12M	1KCII-15M	2KCII-15M	1KCII-20M	2KCII-20M	1KCII-24M	2KCII-24M
1	2	3	4	5	6	7	8	9	10	11	12	13	14
სპირალის დამტკიცი მმ.	2000	2400	2400	3000	3000	1200	1200	1500	1500	2000	2000	2400	2400
ვარცლის სიგრძე, მმ	8400	9200	9200	12500	12500	8400	8400	10100	10100	13000	13000	14000	14000
ვარცლის დახრის კუთ. გრ	18	18	18	18	18	15	15	15	15	15	15	15	15
სპირალების რაოდენობა	1	1	2	1	2	1	2	1	2	1	1	1	2
სპირალის ბრუნვის სიხშ- ირე ბრ/წთ	5	4	1,5-3,6	3	1,5-3,6	8	4,15-8,3	6,5	3,5-7	5	2,5-6,7	4	1,5-3,6
მწარმოებლივა ტ/სთ: სილის მიხედვ- გადანადენს	220 37	300 51	600 102	360 31,8	440 75	85 13	170 26	130 24	260 48	240 38	480 76	330 53	630 106
ძრავის სიმძლავრე კტ- ტ.	11	18,5	2x18,5	30	2 x 30	5,5	2 x 5,5	7,5	2 x 7,5	16	2 x 16	18,5	2 x 18,5
გაბარიტული ზომები, მმ სიგრძე სიგანე სიმღლე	11500 2700 4500	12000 3100 5000	12900 5700 4500	15020 3740 7100	15900 6800 5500	10500 1800 4000	11500 3350 4500	13200 2300 4500	13700 4500 6000	15500 3500 6000	16500 6700 6700	16500 4000 6500	17500 6700 7500
წონა, კგ	16000	23500	39000	40350	70000	7500	13800	12500	25200	22000	46000	34000	49600
დამამზადებელი							რ უ ს ე თ ი						

ჰიდროციკლონის ტექნიკური მახასიათებლები

პარამეტრები	ГЦ-25	ГЦ-50	ГЦ-75	ГЦ-150	ГЦ-250	ГЦ-360	ГЦ-500	ГЦ-710	ГЦ-1000	ГЦ-1400	ГЦ-2000
ჰიდროციკლონის დიამეტრი, მმ	25	50	75	150	250	360	500	710	1000	1400	2000
კონუსურობის კუთხე გრად.	10	10	10	10/20	20	20	20	20	20	20	20
მკვეთრი მილტურას მკვეთრი დიამეტრი, მმ	6	12	17	38	65	90	130	150	210	300	400
გადანადენის დიამეტრი, მმ	7	13	22	50	80	115	150	200	250	380	500
სიღების ნაცმის დიამეტრი, მმ	4; 6; 8;	6; 8; 12;	8; 12; 17;	12; 27; (20) 24; 34;	34; 34; 48; 75;	34; 48; 75; 96;	48; 75; 96; 150;	48; 75; 150; 200	75; 150; 200; 250	150; 200; 250; 300 360	250; 300 360; 500
წნევა, მჳ			0,01-0,02			0,03-0,25			0,06-0,45		
მწარმოებლობა მ³/სთ	0,7	2,5	5,0	15/20	50	95	180	260	470	900	1600
გაბარიტული ზომები, მმ											
სიგრძე	120	230	300	500	600	700	900	1200	1500	2100	-
სიგანე	70	100	350	450	650	750	1000	1400	1600	200	-
სიმაღლე	250	400	600	1200	1400	1900	2500	3500	4500	6200	-
წონა, კგ	2	5	20	100	200	300	450	1450	2400	4500	-
დამატებულებელი								უ ბ რ ა ი ნ ა			

ცხრილი 5

მრავალკამერიანი ჰიდრაულიკური კლასიფიკატორის ტექნიკური
მახასიათებლები

პარამეტრები	КГ-4Р	КГ-6Р
მწარმოებლობა ტ/სთ	30	40
კვებაში მაქსიმალური ზომ, მმ	2,5-0	2,5-0
კამერების რიცხვი	4	6
აღმავალი ნაკადის წნევა, მპა	0,05-0,07	0,05-0,07
წყლის ხარჯი, მ ³ /გ	2,5-4,0	2,5-4,0
გაბარიტული ზომები, მმ		
სიგრძე	3450	5450
სიგანე	2250	2500
სიმაღლე	2850	2850
წონა, კგ	2520	4200
დამამზადებელი	რ უ ს ე თ ი	

ცხრილი 6

სკრუბერებისა და სკრუბერ-ბუტარების ტექნიკური
მახასიათებლები

პარამეტრები	C-12	СБ-12	KMK-2,6	KMK-3,3	სკრუბერები
1	2	3	4	5	6
მწარმოებლობა მ ³ /სთ	60	40	100	250	400 250
დოლის ზომები მმ დიამეტრი სიგრძე	1300 3000	1300 3000	2605 4110	3350 10770	2720 6000 3600 7800
წყლის ხარჯი მ ³ /გ	1-2	1-3	2-4	2-4	1-2 1-3
მაღნის მაქსიმალური ზომა, მმ	150	150	-	-	- 300

ცხრილი 6 - გაგრძელება

1	2	3	4	5	6	
ელ.ძრავის სიმძლავრე,კვტ	13	17	215	500	200	100
გაბარიტული ზომები, მმ						
სიგრძე	3810	5520	6900	1200	10000	13600
სიგანე	2155	2155	3400	6300	4500	5120
სიმაღლე	2250	2230	4800	5600	4500	4610
წონა, ტ.	5,5	5,95	40,4	15,4	40,0	85,2
დამამზადებელი	რ უ ს ე თ ი					

სუსპენზიური სეპარატორების ტექნიკური მახასიათებლები

პარამეტრები	კონსური		თ ვ ლ ი ა ნ ი							
	Д-3,5	Д-6,0	СКВ-20	СКВ-32	СКВД-32	СТТ-20	СТТ-32	«ტესტა-5»	«ვედაგი»	«დესა-3»
მწარმოებლობა ტ/სთ	100-180	400-700	190-240	300-380	300-400	190-240	300-380	1000	200	230-400
კონუსის დამეტრი მმ.	3500	6000								
ელექტორის თვალის დიამეტრი, მმ			4000	5450	5450	2È4000	2È5450	6500	4300	4700
საწყისი მაღნის ზომა, მმ	-100+6	-100+6	300È 300È 600	300È 300È 900	300È 300È 900	-300	-300	1200	10-150	10-250
სეპარატორის მუშა მოცულობა, გ³	17,2	84,0	8	18	18	2È8	2È18	-	-	1-10,5 2-9,5
ელექტრო ძრავის სიმძლავრე კვტ	4,5	7	7,7	13,2	13,2	17,6	32,2	14,0	4,4	5,1
გაბარიტული ზომები, მმ	4175	6640	4400	5500	5495	7800	9800		2800	
სიგრძე	3720	6500	4500	6000	5850	4800	6000		4620	
სიგანე	7740	12070	4200	5700	5700	4500	5900		5380	
წონა, ტ.	7,1	27,1	16,5	27,5	30,0	37,0	60,0		17,6	30,0
დამამზადებელი	რ უ ს ე თ ი					უ კ რ ა ი ნ ა		გერმა.	პოლონ.	

ცხრილი 8

დიაფურაგმული სალექი მანქანების ტექნიკური მახასიათებლები

პარამეტრები	МОД-02	МОД-1М1	МОД-2М1	МОД-ЗМ1	МОД -3	МОД -6ПР	МОД -6	МОД -12
მწარმოებლობა, ტ/სთ	0,9	10	25	30	0,05-45	100-150		200
მუშა ფართი	0,18	1	2	3	3	6	6	12
მაღნის მაქსიმალური ზომა მმ	8	15	15	15	25	25	25	20
კამარის რიცხვი	2	2	2	3	2	2	2	2
დიაფურაგმის გადაადგილების სიდიდე, მმ	21	40	40	40	43		43	
პულსაციის სიხშირე, წთ	210-380	130-350	130-350	130-350	125-331		124-331	
ელექტრო ძრავის სიმძლავრე	4	1,1	2,2	4,4	3,0	7,5	7,5	
გაბარიტული ზომები, მმ								
სიგრძე	1090	2160	3000	4350	3200	4613	4000	7470
სიგანე	800	960	1260	1260	1520	2480	1900	3370
სიმაღლე	920	2400	2300	2300	2300	2523	2700	3550
წონა, კგ	190	1005	1300	2900	2000	5130	4000	13300
დამამზადებელი						რ უ ს ე თ ი		

უდგუშო სალექი მანქანების ტექნიკური მახასიათებლები

პარამეტრები	ОПМ-12	ОПМ-13	ОПМ-14	ОПМ-15	ОПМ-22	ОПМ-23	ОПМ-24	ОПМ-25	ОПМ-35	МОБК-ВС
კამერის ზომები სიგანე სიგრძე	1250 1000	1250 1000	1250 1000	1250 1000	2000 1000	2000 1000	2000 1000	2000 1000	3000 1000	2000 1000
ცხავის ფართი m^2	2,5	3,75	5	6,25	4,0	6,0	8,0	10,0	15,0	8,0
კატერის რიცხვი	2	3	4	5	2	3	4	5	5	2
წყლის ჰელსაც. სიხშ. წ^{-1}	110-350	110-350	110-350	110-350	142	176	227	316	50-300	57,0; 63; 71;
წყლის ამჰლიტუდია, მმ	150	150	150	5-100	3-60	3-60	3-60	3-60	60	250
წრევა კბა	20-50	20-50	20-50	20-50	30-35	30-35	30-35	30-35	30	35-40
ხარჯი, $\text{მ}^3/\text{სთ}$ პარერის წყლის	600 60	900 80	1400 90-140	1400 130	1600 150	2400 200	3200 230	4000 270	4000 350	4000 200-400
ცხავის ხვრეტის ზომა, მმ	3(5)	3(5)	3(5)	3(5)	3	3	3	3	3; 6;	6×20 10(12)
მაღინის სიმკრივე, მმ	4	4	4	4	4	4	4	4	4	60
მწარმოებლობა $\text{ტ}/\text{სთ}$	25	40	50	55	40	60	60	75	90-125	70-120
ძრავის სიმძლავრე კვტ.	1,5	1,5	1,5	1,5	2,2	2,2	2,2	2,2	1,5	2,2
გაბარიტული ზომები, მმ სიგრძე სიგანე სიმაღლე	2790 2480 3300	3810 2480 3300	4830 2480 3300	5840 2480 3300	3300 3100 4300	4327 3100 4300	5350 3100 4300	6370 3100 4300	6420 4340 3240	5610 3270 4140
წონა, კგ	4,7	6,5	8,30	9,75	6,14	8,61	11,0	13,54	17,5	19,0
დამამზადებული			უ პ რ ა ი ნ ა				რ უ ს ე თ ი			

ცხრილი 10

БОМ ტიპის სალექი მანქანების ტექნიკური მახასიათებლები

1	2	3	4	5	6
პარამეტრები	МБОМ-K6	МБОМ-K8	МБОМ-K10	МБОМ-M10	МБОМ-M16
მწარმოებლობა ტ/სთ	80	100	175	140	300
გასამდიდრებელი ნახშირის ზომა, მმ		13-125	0,5-125		0,5-13
სალექი განყოფილების ფართი, მ ²	6	8	10	10	16
1	2	3	4	5	6
შეკუმშული პაერის წრევა, მმ. წყ. სკ.	1400-1600	1800-1900	1400-1600	1800-1900	
პაერის ხარჯი მ ² /წთ.	36	30	32	60	
პულსაციის სიხშირე, წთ ¹	61	36; 42; 51; 57; 67;	84	36; 42; 51; 57; 67;	
ელექტროძრავები სიმძლავრე, კვტ.	KOM 31-6 2,8	KOM 31-6 СБ-11 2,8; 1,2	KOM 31-6 2,8	СБ-11 2,8; 1,2	
გაბარიტული ზომები, მმ					
სიგრძე	5530	5980	6400	6610	7420
სიგანე	3800	3800	4510	3700	4510
სიმაღლე	5790	5790	6335	5790	6335
წონა, კბ	18,9	20,7	33,8	21,8	39,8

საკონცენტრაციო მაგიდების ტექნიკური მახასიათებლები

პარამეტრები	СКО-0,5	СКО-1-3,5M2	СКО-2	СКО-1-7,5	СКО-7,5ТШС	СКО-15M1	СКО-22
მწარმოებლობა ტ/სთ	0,05	0,5-1,5	0,3-1	0,5-5,0	0,2-0,5	2,0-7,0	3,0-10-0
გასამდიდრებელი მასალის ზომა, მმ	- 3,0+0,04	-1,0+0,02	-3,0-0,04	-0,4	0,1-0,01	-3,0-0,04	-3,0-0,04
დეკას ფართი, მ ²	0,5	3,5	2	7,5	7,5	15	22,5
დეკას რიცხვი	1	1	1	1	1	2	3
დეკას რხევის სიხშირე, წთ ⁻¹	280-400	225-350	280-400	225-350	280-350	280-350	280-350
აბლიცუალი	4-16	12-20	10-26	12-20	8-16	10-120	10-20
ელექტრო ძრავის კვტ.	0,37	2,2	0,55	2,0	2,2	2,2	2,2
გაბარიტული ზომები, მმ	1550 სიგრძე სიგანე სიმაღლე	4500 2000 1300	3000 1250 1000	6000 1850 1200	5200 2300 1700	5400 2300 1700	5400 2300 2300
წონა, კგ	100	2900	450	1500	1550	2400	3000
დამამზადებელი							რ უ ს ე თ ი

სრახნული სეპარატორების ტექნიკური მახასიათებლები

პარამეტრები	CB 2-750	CB 2-1000	CB 3-1500	CB 2-2000
ღარის დიამეტრი, მ	0,75	1,0	1,5	2,0
ღარის ბიჯი, მ	0,50	0,6	1,0	1,0
ღარის რაოდენობა	2	2	3	2
ხრახნის რაოდენობა	4	4	3	3
გასამდიდრებელი მასალის ზომა, მმ	0,07-1,0	0,07-2,0	10,07-3,0	2-5
მყარის შემცველობა, %	15-40	15-40	15-40	15-40
წყლის ხარჯი, მ ³ /სთ	0,5	0,6	0,9	-
მწარმოებლობა ტ/სთ	1-5	3-8	18-30	40-60
გაბარიტული ზომები, მმ				
სიგრძე	3,7	4,0	5,2	5,0
სიგანე	0,9	1,1	1,6	2,2
სიმაღლე	0,9	1,1	1,6	2,2
წონა, ტ	0,3	0,6	2,4	3,0
დამამზადებელი				რ უ ს ე თ ი

ხრახნული რაბების ტექნიკური მახასიათებლები

პარამეტრები	ШВ 2-750	ШВ 2-1000	ШВ 3-1250	ШВ 5-1500	ШВ 5-2000
ღარის დიამეტრი მმ.	0,75	1,00	1,25	1,50	2,00
ღარის ბიჯი, გ	0,5	0,55	0,65	1,2	1,2
ღარის რაოდენობა	2	2	3	5	5
თითოეულ ღარზე ხრახნის რაოდენობა	3	4	4	3	4
მასალის სისქე, მმ	0,5	0,5	0,5	0,5	0,5
მყარის შემცველობა, %	15-40	15-40	15-40	15-40	15-40
წყლის ხარჯი, მ ³ /სთ	0,3-0,5	0,5-0,7	0,7-1,0	1,0-1,8	1,0-1,8
მწარმოებლობა ტ/სთ ზომის გიგანტით, მმ:					
0,2-0,5	1,1-1,5	1,5-2,0	3-4,5	7-15	10-20
0,07-0,2	0,5-0,6	0,7-0,8	1,5-2,0	4-8	5-10
0,04-0,07	0,3-0,5	0,4-0,6	1,0	3-6	5-7
0,02-0,04	0,1-0,2	0,2-0,3		0,8-1	1-1,5
გაბარიტული ზომა, მ სიგრძე		3,10	3,86		6,3
სიგანე		1,10	1,30		2,2
სიმაღლე		1,10	1,30		2,2
წონა, ტ		0,60	0,80	2,8	2,4
დამამზადებელი			რ უ ს ე თ ი		

**უწყვეტი მოქმედების „კნელსონის“ კონცენტრატორების
ტექნიკური მახასიათებლები**

პარამეტრები	KC-CVD6	KC-CVD20	KC-CVD32	KC-CVD42	KC-CVD42
მწარმოებლობა ტ/სთ	0,5 4	15-35 75	30-80 170	40-120 250	40-120 250
ჩამრეცხი წყალი მ³/სთ	1,1-2,7	4,5-9,1	16-36	14-23	16-36
კვებაში მყარის შემცველობა %	0-50	0-50	0-50	0-50	0-50
მასალის ზომა: მაქსიმალური მინიმალური	3,2 1,7	3,2 1,7	3,2 1,7	3,2 1,7	3,2 1,7
კონცენტრატის რაოდენობა % მოცულობითი წონითი	მიწ.მას.1-50 მიწ.მას.1-50	მიწ.მას.1-50 მიწ.მას.1-50	მიწ.მას.1-50 მიწ.მას.1-50	მიწ.მას.1-50 მიწ.მას.1-50	მიწ.მას.1-50 მიწ.მას.1-50
ელ. ძრავის სიმძლავრე კვტ.	1,1	11	30	30	30
წონა კგ.	230	2500	6800	7000	7100
დამაზრადებელი	პ პ ნ ა დ ა				

პერიოდული მოქმედების „კნელსინის“ კონცენტრატორების ტექნიკური მახასიათებლები

ცხრილი 16

**ცენტრიდანული კონცენტრატორის “ფალკონის” ტექნიკური
მახასიათებლები**

პარამეტრები	SB 40	SB 250	SB 750	SB 1350	SB 2500	SB 5200
მწარმოებლობა ტ/სთ ლ/წთ	0-0.25 38	1-4.5 285	4.5-32 1325	23-63 2365	36-113 4730	90-215 9085
მუშა ზედაპირის ფართი მ ²	285	1710	5320	8710	17,445	32,615
G-ს მნიშვნელობა მაქსიმალური მინიმალური	300 50	200 50	200 50	200 50	200 50	200 50
ელექტრო სიმძლავრე, კვტ	dრავის 0,2	2,2	5,6	15	30	75
ჩამრეცხი წყალი, ლ/წთ	4-20	45-70	135-210	230-340	450-680	855-1275
გაბარიტული ზომები, სმ						
სიგრძე	49	112	122	155	185	236
სიგანე	31	76	117	155	185	236
სიმაღლე	51	150	195	225	265	365
წინა, კგ	37	365	920	2955	4545	10,900
დამამზადებული			ვ ა ნ ა დ ა			

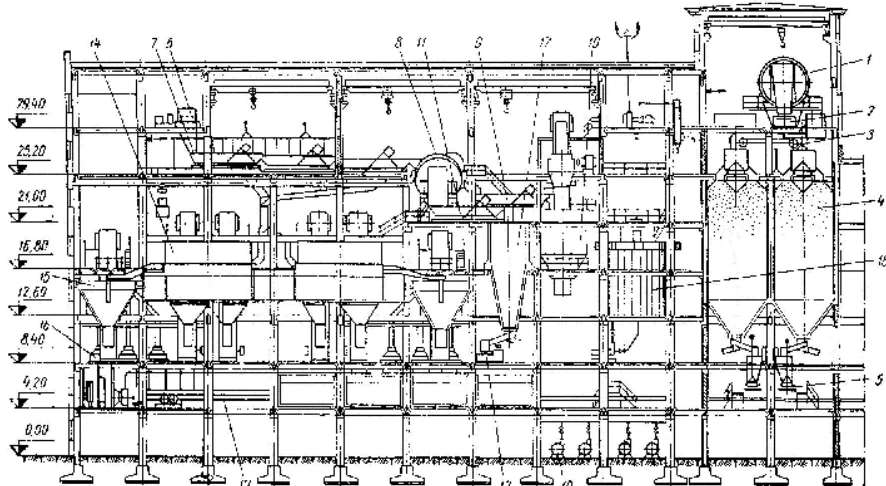
ცხრილი 17

**„იტომაკის“ ტიპის კონცენტრატორების ტექნიკური
მახასიათებლები**

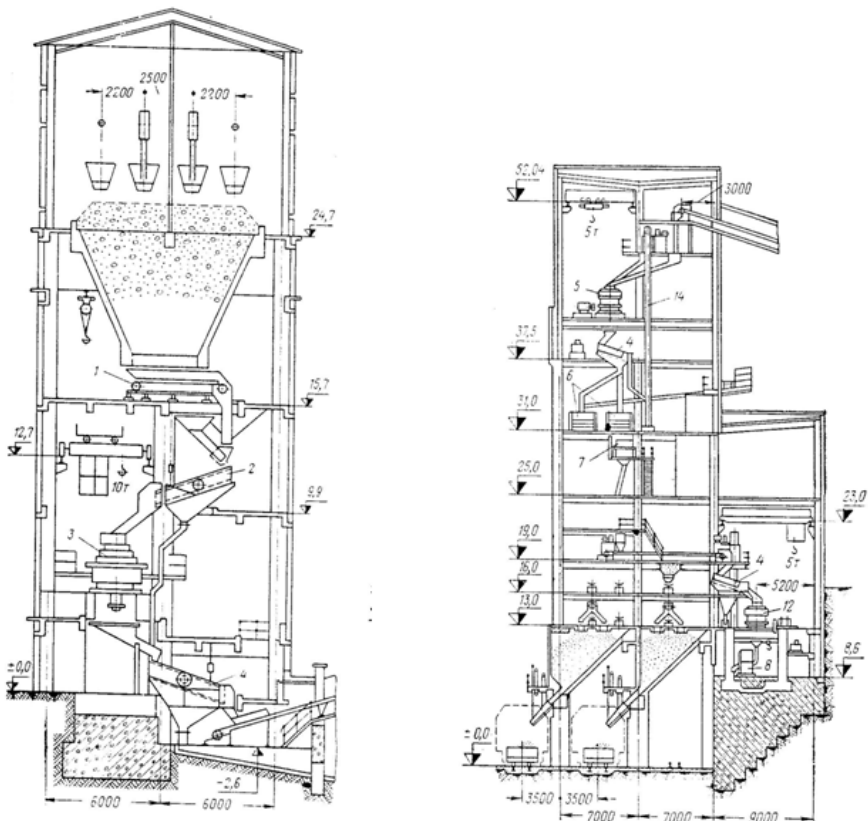
პარამეტრების	КГ-30-ГМ	КГ-40-ГМ
მწარმოებლობა ტ/სთ გ ³ /სთ	30 65	40 70
ჩამრეცხი წყლის ხარჯი გ ³ /სთ	30	60
კებაში მყარის შემცველობა %	0-75	0-75
მასალის მაქსიმალური ზომა, მმ	1	1
კონცენტრატის რაოდენობა		
ლ.	30	40
კბ.	—	100
როტორის ბრუნვის სიხშირე, ბრ/წთ	450	450
კლ. ძრავის სიმძლავრე, კვტ.	7.5	11
გაბარიტული ზომები, მმ		
სიგრძე	1600	2320
სიგანე	1500	1580
სიმაღლე	1700	1750
წინა	1500	1700
დამზადებული	რუსეთი	

ცენტრიდანული სალექი მანქანის ტექნიკური მახასიათებლები

პარამეტრები	ЦОМ-1	ЦОМ-2	ЦОМ-3
მწარმოებლობა ტ/სთ	20	50	70
გასამდიდრებელი მასალის ზომა, მმ	3	3	3
როტორის დამეტრი, მმ	370	630	860
კამერის რიცხვი	2	2	2
ელექტრო ძრავის სიმძლავრე, კვტ	12,1	32,2	49,5
გაბარიტული ზომები, მმ			
სიგრძე	2035	2770	3200
სიგანე	1630	1950	2200
სიმაღლე	2370	2900	2800
წონა, კბ	1700	3000	4500
დამაშვადებელი	რ უ ს ე თ ი		



ნახ. 1. ნახშირის მამდიდრებელი ფაბრიკის ძირითადი კორპუსი
 1—დოლური სამსხვრეველა შერჩევით დამსხვრევისათვის; 2—კონვეიერი ფუჭი ქანისათვის; 3—კონვეიერი ნახშირისათვის; 4—საკუმულაციო ბუნებრი; 5,6—კონვეიერი ნახშირისათვის; 7—ცხილი კლასიფიკაციისათვის; 8—მბიმესუსპენზიანი სეპარატორი CK-3; 9—გამაუწყლობელი ცხრილი; 10—ბაგერ-ზუმფი ელევატორით; 11—გამაუწყლობელი ცხრილი ფუჭი ქანისათვის; 12—ბუნკერი ქანისათვის; 13—კონვეიერი ქანისათვის; 14—სალექი მანქანები; 15—ბაგერ-ზუმფი ელევატორით წვრილი კონცენტრატისათვის; 16—ცენტრიფუგები კონცენტრატის გაუწყლობისათვის; 17—კონვეიერი კონცენტრატისათვის; 18—ჰიდრავლიკური კლასიფიკატორი სუსპენზიისათვის; 19—ტუბმოვბი სუსპენზიისათვის.



**ნახ.2 მანგანუმის მამდიდრებელი ფაბრიკის საშსწრევი და
ძირითადი კორპუსი
1–8, 12 და 14 იხ. ნახ. 12.4.**

ლიტერატურა

1. Акопов М.Г., Благов И.С., Бунин Г.М. Гравитационные и специальные методы обогащения мелких классов углей.-М. Недра, 1975.-245 с.
2. Барский М.Д. Гравитационная классификация зернистых материалов. - М. Недра, 1974. -С. 232.
3. Барский М.Д. Фракционирование порошков. - М. Недра, 1980. -327. С.
4. Бедрань Н.Г. Переработка и качество полезных ископаемых. - М. Недра, 1986. -272 с.
5. Берлинский А.И. Разделение минералов. - М. Недра, 1988.- 282 с.
6. Берт Р.Ою Технология гравитационного обогащения.-М. Недра,19990.- 576. С.
7. Белогай П.Д., Зaborожный В.П. Конусные сепараторы для обогащения россыпей и руд.- М. Недра, 1968.
8. Богатов А.Д., Зубынин Ю.Л. Разделение минералов во взвесенесущих потоках малой толщины. М. Недра, 1973.
9. Верхотуров М.В.Гравитационные методы обогащения. Москва: макс-прес, 2006. -348 с.
10. გომელაური ბ.გ. ნახშირგამამდიდრებელი ფაბრიკების დაწყოებება. თბილისი: განათლება, 1972. - 565 გვ.
11. Замятин, О.В. Обогащение золотосодержащих песков и конгломератов. -М. Недра, 1957. -264 с.
12. Иванов В.Д. Винтовые аппараты для обогащения руд и песков в России. –М.:изд-во <<ДАК-СИ>>, 2000.-240 с.
13. Карамзин В.И. Процессы и машина для обогащения полезных ископаемых. - М. Недра, 1974. –С. 560.

14. Кизевальтер Б.В. Теоретические основы гравитационных процессов [Текст] / Б.В. Кизевальтер.- М. Недра, 1979.-295 с.
15. Ковлеков,И.И. Техногенное золото Якутии. – М.:изд-во Моск. гос. гор. ун-та, 2002.-303 с.
16. Лопатин, А.Г. Центробежное обогащение руд и песков.- М.: Недра, 1986.-272 с.
17. Лященко П.В. Гравитационные методы обогащения.- М.-Л.:Гостопиздат, 1940. С. 356
18. митрофанов С.И. Определение скоростей падения минеральных частиц в тяжелой суспензии . Цветные металлы, 1949ю- С. 35-37.
19. Олевский В.А. Гравитационные методы обогащения.- М.: Металлургиздат, 1953.
20. Оборудование для обогащения угля.- М.: Недра, 1979.-336 с.
21. Поваров А.И. Гидроциклоны на обогатительных фабриках.- М., Недра, 1978.
22. Полькин С.И., Абамов Э.В. Обогащение руд цветных и редких металлов.- М., Недра, 1975.
23. Разумов К.А., Перов В.А. Проектирование обогатительных фабрик. -М., Недра,1982.
24. Райвич И.Д. Отсадка крупнокусковых руд. - М., Недра, 1988.
25. Самылин Н. А., Золотко А. А., Починок В.В. Отсадка.- М., Недра,1976.
26. Справочник по обогащению руд. Подготовительные процессы.- М., Недра,1982.
27. Справочник по проектированию рудных обогатительных фабрик. Книга 1.2. - М., Недра, 1988.

28. Справочник по обогащению руд. Основные процессы.- М., Недра, 1983. -381 с.
29. Справочник по обогащению руд Черных металлов. - М., Недра, 1980. -527 с.
30. Справочник по обогащению углей.- М., Недра, 1974. -488 с.
31. Тихонов О.Н. Закономерности эффективного разделения минералов в процессах обогащения полезных ископаемых. - М., Недра, 1984. – 208 с.
32. Тихонов О.Н. Теория и практика комплексной переработки полезных ископаемых в странах Азии, Африки и Латинской Америки. - М., Недра, 1989. – 302 с.
33. Троицкий В.В. Промывка полезных ископаемых. - М., Недра, 1988.
34. Тихонов О.Н. Закономерности эффективного разделения минералов в процессах обогащения полезных ископаемых. - М., Недра, 1984.
35. Технологическая оценка минерального сырья. Методы исследования. - М., Недра, 1990.
36. Фаменко Т.Г. Бутовецкий В.С., Погарцева Е.М. Технология обогащения углей. Справочное пособие. - М., Недра, 1985.
37. Фоменко Т. Г. Гравитационные процессы обогащения полезных ископаемых. - М., Недра, 1966. – С. 332.
38. Шохин В.Н. Гравитационные методы обогащения. - М.: Недра, 1980. – С. 400.
39. Шохин В.Н. Новое в теории и технологии обогащения руд в суспензиях. - М., Недра, 1977.
40. Шохин В.Н., лопатин А.Г. Гравитационные методы обогащения М.: Недра, 1993. -350с.

სარჩევი

შესავალი.....	3
1. ზოგადი ცნობები გამდიდრების გრავიტაციული მეთოდის არსისა და მისი განვითარების შესახებ.....	4
1.1 გამდიდრების გრავიტაციული მეთოდის განვითარების მოკლე ისტორია	4
1.2 გამდიდრების გრავიტაციული მეთოდის არსი და კლასიფიკაცია	5
2. მინერალებისა და გამყოფი გარემოს დახასიათება	8
2.1 მინერალების ფიზიკური თვისებები	8
2.2 გარემოს რეოლოგიური თვისებები	10
2.3 რეოლოგიური პარამეტრების განსაზღვრის მეთოდები.....	14
2.4 სუსპენზიის მომზადება	17
3. წიაღისეულთა გრავიტაციული გამდიდრების ტექნოლოგიური მაჩვენებლების განსაზღვრის მეთოდები და ეფექტურობა	19
3.1. წიაღისეულთა ფრაქციული ანალიზი	19
3.2 წიაღისეულთა გამდიდრების შეფასება.....	22
3.4. გრავიტაციული პროცესების ეფექტურობა	24
4. გამდიდრების გრავიტაციული პროცესების თეორიული საფუძვლები.....	28
4.1. მინერალურ მარცვალთა თავისუფალი ვარდნა.....	28
4.2 თანაბრად ვარდნილი მარცვლები და თანაბარვარდნის კოეფიციენტი	35
4.3 ვარდნილ მარცვალთა მუდმივ სიჩქარემდე მისაღწევად საჭირო დრო	37
4.4. მინერალურ მარცვალთა შეზღუდული ვარდნა.....	40
4.5 მინერალურ მარცვალთა დალექტის პიპოთეზები.	41
5. კლასიფიკაცია.....	47
5.1. კლასიფიკაციის პროცესის არსი და მისი გამოყენების სფერო	47
5.2 სედიმენტაცია.....	49

5.3. გრავიტაციული ველით გამყოფი ჰიდრავლიკური კლასიფიკატორები	50
5.4 ცენტრიდანული ველით გამყოფი ჰიდრავლიკური კლასიფიკატორები	55
5.5. კლასიფიკატორის გადანადენში მასალის სიმსხოს განსაზღვრა.....	60
5.6. პნევმატიკური კლასიფიკაცია	63
6. მძიმე გარემოში გამდიდრება	65
6.1. მძიმე გარემოში გამდიდრების არსი და გამოყენების სფერო	65
6.2 სუსპენზიური სეპარატორები	68
6.3. სუსპენზიის სიმკვრივის ავტომატური რეგულატორი	72
6.4. სუსპენზიის რეგენერაცია.....	74
7. დალექვა	77
7.1. დალექვის პროცესის არსი და გამოყენების სფერო...77	77
7.2. ნაკადის კინემატიკური სტრუქტურა	79
7.3. სალექი მანქანები	80
7.4 მძიმე ფრაქციის განმტვრითი მოწყობილობანი	94
7.5 დალექვის ციკლები.....	98
7.6 სალექი მანქანის ტექნოლოგიური პარამეტრები.....	101
8. დახრილ სიბრტყეზე მოძრავ წყლის ნაკადში გამდიდრება	104
8.1. დახრილ სიბრტყეზე წყლისა და მინერალურ მარცვალთა მოძრაობის კანონზომიერება	104
8.2 რაბებზე გამდიდრება	106
8.3 საკონცენტრაციო მაგიდებზე გამდიდრება	110
8.4 ხრახნულ სეპარატორებზე გამდიდრება.....	114
9. ცენტრიდანულ კონცენტრატორებში გამდიდრება	116
9.1. ციკლონებში გამდიდრება.	117
9.2. ცენტრიფუგებში გამდიდრება.....	121
10. მადნეულის მორეცხვა	128
10.1 მორეცხვის პროცესის არსი და დანიშნულება	128

10.2. მომრეცხი მანქანები.....	129
11. პნევმატიკური გამდიდრება.....	132
11.1 პნევმატიკური გამდიდრების აპარატურა.....	133
12. გრავიტაციული გამდიდრების ტექნოლოგიური სქემები.....	136
12.1.გრავიტაციული გამდიდრების პრაქტიკა.....	137
12.2. ნახშირის გამდიდრების ტექნოლოგიური სქემები...142	
12.3. მაღნების გამდიდრების ტექნოლოგიური სქემები.150	
დ ა ნ ა რ თ ი	154
ლიტერატურა.....	173

08052019 ბ აშტონის მიერ უახორდებილი სახით

გადაცემის წლის მიხედვით 01.05.2009. ხელმოწერის დასრულებით 07.05.2009. ქვეაღმნის ზომა 60X84 1/8. პრიორიტეტი ჩატარებულია 9. ტრანზიტი 100 კგ.

„აგამინიცემლის სახლი „ტექნიკური უნივერსიტეტი“, თბილისი, ქობულეთი 77

